

เรื่องเหนี่ยวนำความร้อน

INDUCTION HEATING



โดย

นาย คำนธ์ มະนาวหวาน

นาย เอกนรินทร์ พ่วงโสภณ

ปริญญานิพนธ์นี้เป็นส่วนหนึ่งของการศึกษาตามหลักสูตรปริญญาวิศวกรรมศาสตรบัณฑิต

สาขาวิชาอิเล็กทรอนิกส์

สถาบันเทคโนโลยีพระจอมเกล้าเจ้าคุณทหารลาดกระบัง

ปีการศึกษา 2542

เลขหมึก.....
เลขทะเบียน..... 36885
วัน, เดือน, ปี 29 ส.ค. 2543

เอกสารนี้เป็นเอกสารที่สงวนลิขสิทธิ์สำหรับการใช้งานเพื่อการศึกษาเท่านั้น ไม่อนุญาตให้นำไปใช้ประโยชน์ด้านการค้า
ผู้จัดทำเอกสารฯ ขอสงวนสิทธิ์ในสิ่งที่ปรากฏและขอสงวนสิทธิ์ในการเปลี่ยนแปลงเนื้อหาและต้องอ้างอิงถึงเจ้าของเอกสารทุกครั้งที่มีการนำไปใช้

เครื่องเหนี่ยวนำความร้อน

INDUCTION HEATING

โดย

นาย คำนธ์ มะนาวหวาน รหัส 40013162

นาย เอกนรินทร์ พ่วงโสภณ รหัส 40013201

อาจารย์ที่ปรึกษา

รศ. สมศักดิ์ เชียรศิริกุล

ปริญญานิพนธ์นี้เป็นส่วนหนึ่งของการศึกษาตามหลักสูตรปริญญาวิศวกรรมศาสตรบัณฑิต

สาขาวิชาอิเล็กทรอนิกส์

สถาบันเทคโนโลยีพระจอมเกล้าเจ้าคุณทหารลาดกระบัง

ปีการศึกษา 2542

เอกสารนี้เป็นเอกสารที่สงวนไว้สำหรับการใช้งานเพื่อการศึกษาเท่านั้น ไม่อนุญาตให้นำไปใช้ประโยชน์ด้านการค้า
ไม่ว่ากรณีใดๆ ทั้งสิ้น อีกทั้งห้ามมิให้ดัดแปลงเนื้อหาและต้องอ้างอิงถึงเจ้าของเอกสารทุกครั้งที่มีการนำไปใช้

ชื่อ โครงการภาษาไทย เครื่องเหนี่ยวนำความร้อน

ชื่อ โครงการภาษาอังกฤษ INDUCTION HEATING

จัดทำโดย นาย คำรณ มะนาวหวาน 40012162

นาย เอกนรินทร์ พ่วงโสภณ 40013201

อาจารย์ที่ปรึกษา รศ. สมศักดิ์ เชียรศิริกุล

โครงการฉบับนี้ได้ผ่านการตรวจสอบโดยอาจารย์ที่ปรึกษาแล้ว

ลงชื่อ อาจารย์ที่ปรึกษา

(รศ. สมศักดิ์ เชียรศิริกุล)

วันที่ ๒๖ / ๙ / ๕๖

เอกสารนี้เป็นเอกสารที่สงวนไว้สำหรับการใช้งานเพื่อการศึกษาเท่านั้น ไม่อนุญาตให้นำไปใช้ประโยชน์ด้านการค้า
ไม่ว่ากรณีใดๆ ทั้งสิ้น อีกทั้งห้ามมิให้ตัดแปลงเนื้อหาและต้องอ้างอิงถึงเจ้าของเอกสารทุกครั้งที่มีการนำไปใช้

ปริญญาโท ปีการศึกษา 2542

ภาควิชา อิเล็กทรอนิกส์

คณะวิศวกรรมศาสตร์ สถาบันเทคโนโลยีพระจอมเกล้าเจ้าคุณทหารลาดกระบัง
เรื่อง เครื่องเหนี่ยวนำความร้อน

ผู้จัดทำ

1. นาย คำธณ มະนาวหวาน
2. นาย เอกนรินทร์ พ่วงโสภ



เอกสารนี้เป็นเอกสารที่สงวนไว้สำหรับการใช้งานเพื่อการศึกษาเท่านั้น ไม่อนุญาตให้นำไปใช้ประโยชน์ด้านการค้า
ไม่ว่ากรณีใดๆ ทั้งสิ้น อีกทั้งห้ามมิให้ตัดแปลงเนื้อหาและต้องอ้างอิงถึงเจ้าของเอกสารทุกครั้งที่มีการนำไปใช้

เครื่องเหนียวนำความร้อน

นาย คำธณ มະนาวหวาน

นาย เอกนรินทร์ พ่วงโสภณ

รศ. สมศักดิ์ เขียวศิริกุล (อาจารย์ที่ปรึกษา)

ปีการศึกษา 2542

บทคัดย่อ

ปฏิญานิพนธ์ฉบับนี้ ได้อธิบายถึงหลักการทำงานของเครื่องเหนียวนำความร้อนที่สามารถให้ความร้อนกับชิ้นงานได้อย่างมีประสิทธิภาพ โดยใช้ความร้อนประมาณ 70 กิโลเฮิร์ต ลักษณะของโครงการประกอบด้วยภาคควบคุม วงจรขับเคลื่อน และใช้เพาเวอร์มอสเฟตเพื่อให้จ่ายกระแสสูง วงจรที่ใช้เป็นวงจรฮาล์ฟบริดจ์คอนเวอร์เตอร์ และที่เอาต์พุตต้องทำให้เกิดรีโซแนนซ์ซึ่งจะทำให้ได้กระแสที่เอาต์พุตสูงสุดและเกิดประสิทธิภาพมากที่สุด

เอกสารนี้เป็นเอกสารที่สงวนไว้สำหรับการใช้งานเพื่อการศึกษาเท่านั้น ไม่อนุญาตให้นำไปใช้ประโยชน์ด้านการค้าไม่ว่ากรณีใดๆ ทั้งสิ้น อีกทั้งห้ามมิให้ดัดแปลงเนื้อหาและต้องอ้างอิงถึงเจ้าของเอกสารทุกครั้งที่มีการนำไปใช้

INDUCTION HEATING

Mr.Kumron Manoewwan

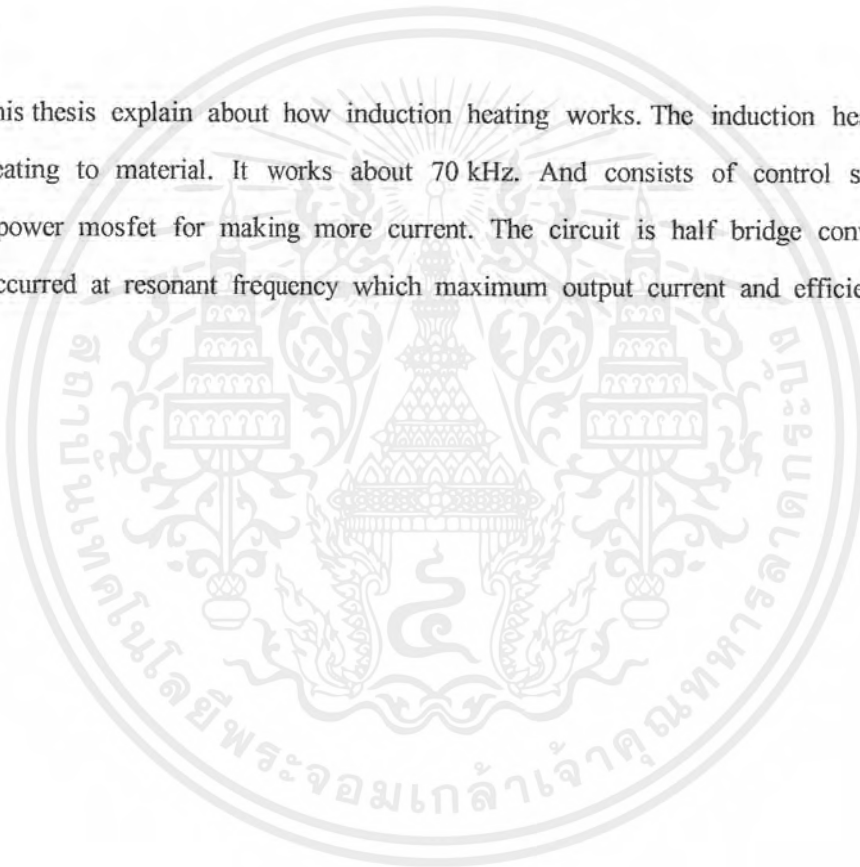
Mr.Eaknarin Puangsopa

Mr. Somsak Cheersirikun (Advisor)

1999

Abstract

This thesis explain about how induction heating works. The induction heating give effective heating to material. It works about 70 kHz. And consists of control stage , gate driver and power mosfet for making more current. The circuit is half bridge converter and output is occurred at resonant frequency which maximum output current and efficiency.



เอกสารนี้เป็นเอกสารที่สงวนไว้สำหรับการใช้งานเพื่อการศึกษาเท่านั้น ไม่อนุญาตให้นำไปใช้ประโยชน์ด้านการค้า
ไม่ว่ากรณีใดๆ ทั้งสิ้น อีกทั้งห้ามมิให้ตัดแปลงเนื้อหาและต้องอ้างอิงถึงเจ้าของเอกสารทุกครั้งที่มีการนำไปใช้

สารบัญ

เรื่อง	หน้า
บทที่ 1 บทนำ	1
บทที่ 2 ทฤษฎี	3
2.1 หลักการเบื้องต้น	3
2.2 Resonance	8
2.3 โครงสร้างพื้นฐานของเพาเวอร์มอสเฟต	13
บทที่ 3 โครงสร้างระบบและการออกแบบวงจร	23
3.1 โครงสร้างของระบบ	23
3.2 วงจรจ่ายไฟตรง (Rectifier and Filter)	23
3.3 Inverter	25
3.4 วงจรควบคุม (Control Circuit)	26
3.5 วงจรโหลด (Load Circuit)	28
บทที่ 4 การทดลองและผลการทดลองเครื่องเหนี่ยวนำความร้อน	34
บทที่ 5 สรุปและวิจารณ์ผลการทดลอง	41
5.1 สรุปผลการทดลอง	41
5.2 ปัญหาที่เกิดขึ้น	42
5.3 แนวทางแก้ไข	42

เอกสารนี้เป็นเอกสารที่สงวนไว้สำหรับการใช้งานเพื่อการศึกษาเท่านั้น ไม่อนุญาตให้นำไปใช้ประโยชน์ด้านการค้าไม่ว่ากรณีใดๆ ทั้งสิ้น อีกทั้งห้ามมิให้ตัดแปลงเนื้อหาและต้องอ้างอิงถึงเจ้าของเอกสารทุกครั้งที่มีการนำไปใช้

สารบัญตาราง

หน้า

ตารางที่ 3.1 แสดงข้อมูลของขดลวดทองแดงที่ใช้พันหม้อแปลง

30

ตารางที่ 4.1 แสดงผลการทดลอง

35



เอกสารนี้เป็นเอกสารที่สงวนไว้สำหรับการใช้งานเพื่อการศึกษาเท่านั้น ไม่อนุญาตให้นำไปใช้ประโยชน์ด้านการค้า
ไม่ว่ากรณีใดๆ ทั้งสิ้น อีกทั้งห้ามมิให้ตัดแปลงเนื้อหาและต้องอ้างอิงถึงเจ้าของเอกสารทุกครั้งที่มีการนำไปใช้

สารบัญรูป

	หน้า
รูปที่ 1.1 แสดงการไหลเวียนของกระแสแบบอ็อกซ์โพรเนเชียลในโลหะ	2
รูปที่ 2.1 ลักษณะของขดลวดเหนี่ยวนำ	3
รูปที่ 2.2 ตารางแสดงถึงความถี่ที่ใช้งานเหนี่ยวนำความร้อนและลักษณะการนำไปใช้งาน	4
รูปที่ 2.3 ทิศทางของสนามแม่เหล็กของแท่งเหล็ก	5
รูปที่ 2.4 การกระจายของกระแสตามความลึกและการประมาณ	5
รูปที่ 2.5 กราฟแสดงค่าระหว่างขนาดเส้นผ่านศูนย์กลางต่อค่าความลึกของการกระจายกระแสกับค่าคงที่ Q ของปริมาณกำลังงาน	6
รูปที่ 2.6 กราฟแสดงการกระจายความหนาแน่นกระแสที่แท่งกลมทรงกระบอก	7
รูปที่ 2.7 วงจร Series Resonance	9
รูปที่ 2.8 แสดงค่า Reactance X_L , X_C และ $X_L + X_C$	9
รูปที่ 2.9	10
รูปที่ 2.10 แสดงค่ากระแสของวงจรรีโซแนนซ์	11
รูปที่ 2.11 แสดงค่าของความต้านทานที่มีผลต่อ Resonance Curve	12
รูปที่ 2.12 ก.) คิวที่ขึ้นมอสเฟตชนิดเอ็น	13
รูปที่ 2.12 ก.) คิวที่ขึ้นมอสเฟตชนิดพี	13
รูปที่ 2.13 ก.) เอ็นฮานซ์เมนต์มอสเฟตชนิดเอ็น	14
รูปที่ 2.13 ข.) เอ็นฮานซ์เมนต์มอสเฟตชนิดพี	15
รูปที่ 2.14 ลักษณะ โอนย้ายของมอสเฟต	16
รูปที่ 2.15 ลักษณะสมบัติทางเอทพุทของเอ็นฮานซ์เมนต์มอสเฟต	16
รูปที่ 2.16 โมเดลการสวิตช์ซึ่งที่สภาวะคงตัวของมอสเฟต	17
รูปที่ 2.17 กราฟแสดงพื้นที่ทำงานปลอดภัยเมื่อใช้พิกัดสูงสุดของการไบอัสตรง	18
รูปที่ 2.18 กราฟผลตอบแทนต่ออุณหภูมิของเบอร์ MTM8N40	19
รูปที่ 2.19 กราฟฟังก์ชันการส่งผ่านในทางปฏิบัติของเพาเวอร์มอสเฟต	21
รูปที่ 2.20 รูปสัญลักษณ์ความต้านทานขณะนำกระแสในทางอุดมคติ	21
รูปที่ 2.21 แสดงการเพิ่มตัวต้านทานและไดโอดเพื่อปรับปรุงวงจร	22
รูปที่ 2.22 แสดงการเพิ่มตัวต้านทานและไดโอดเพื่อปรับปรุงวงจร	22
รูปที่ 3.1 แสดงโครงสร้างของระบบ	23

เอกสารนี้เป็นเอกสารที่สงวนไว้สำหรับการใช้งานเพื่อการศึกษาเท่านั้น ไม่อนุญาตให้นำไปใช้ประโยชน์ด้านการค้าไม่ว่ากรณีใดๆ ทั้งสิ้น อีกทั้งห้ามมิให้ดัดแปลงเนื้อหาและต้องอ้างอิงถึงเจ้าของเอกสารทุกครั้งที่มีการนำไปใช้

รูปที่ 3.2	วงจรจ่ายไฟตรง	23
รูปที่ 3.3	แสดงวงจร Inverter	25
รูปที่ 3.4	วงจรควบคุม ของ SG 3526	27
รูปที่ 3.5	วงจรขับเคลื่อน	28
รูปที่ 3.6	วงจรโหลด	29
รูปที่ 3.7	วงจร Control Circuit	32
รูปที่ 3.8	วงจร Power Output	33
รูปที่ 4.1	กราฟแสดงขนาดของชิ้นงานและเวลาที่ทำให้ชิ้นงานร้อนแดงที่ V_{in} ค่าต่างๆ	36
รูปที่ 4.2	กราฟแสดงขนาดของชิ้นงานและกระแส I_m (full load) ที่ทำให้ชิ้นงานร้อนแดง ที่ V_{in} ค่าต่างๆ	36
รูปที่ 4.3	สัญญาณพัลส์ที่ขา 10 ของ SG 3526	37
รูปที่ 4.4	สัญญาณพัลส์ที่ขา 13,16 ของ SG 3526	37
รูปที่ 4.5	สัญญาณพัลส์ที่ขา 2 , 10 ของ IC 4049	38
รูปที่ 4.6	สัญญาณพัลส์ที่จุด A , B	38
รูปที่ 4.7	สัญญาณพัลส์ที่หลังหม้อแปลงพัลส์	39
รูปที่ 4.8	รูปเปรียบเทียบที่อุณหภูมิต่างๆ	40

เอกสารนี้เป็นเอกสารที่สงวนไว้สำหรับการใช้งานเพื่อการศึกษาเท่านั้น ไม่อนุญาตให้นำไปใช้ประโยชน์ด้านการค้า
ไม่ว่ากรณีใดๆ ทั้งสิ้น อีกทั้งห้ามมิให้ตัดแปลงเนื้อหาและต้องอ้างอิงถึงเจ้าของเอกสารทุกครั้งที่มีการนำไปใช้

บทที่ 1

บทนำ

ทฤษฎีที่นำมาใช้ในเครื่องเหนี่ยวนำความร้อน คือการนำผลจากรากฏการณ์ที่ผิว (skin effect) มาใช้ประโยชน์ ปรากฏการณ์นี้จะเกิดขึ้นเมื่อมีกระแสไฟฟ้าความถี่สูงไหลในชิ้นงานที่เป็นตัวนำเท่านั้น และจะทำให้เกิดความร้อนขึ้น ณ บริเวณที่มีกระแสไหลผ่าน ลักษณะการไหลของกระแสจะมีลักษณะการไหลแบบเอ็กซ์โปเนนเชียล(exponential)

สำหรับอีกทฤษฎีที่นำมาใช้งานเครื่องเหนี่ยวนำความร้อนก็คือ ทฤษฎีการเหนี่ยวนำแม่เหล็กไฟฟ้า โดยเครื่องเหนี่ยวนำความร้อนนี้จะให้การเหนี่ยวนำที่ความถี่สูง เพื่อเหนี่ยวนำให้เกิดการส่งถ่ายพลังงานจากแหล่งกำเนิดความถี่สูงให้เกิดกระแสความถี่สูงไหลในชิ้นงานเปรียบเสมือนเป็นขดลวดด้านทุติยภูมิของแปลงกำเนิดกำลังความถี่สูงที่ออกแบบสร้างขึ้น

จากการนำเอาทฤษฎีทั้งสองที่กล่าวไว้มาประยุกต์เข้าด้วยกันและนำเอาการประยุกต์มาใช้งานที่เกี่ยวกับโลหะ เพื่อให้กระแสไหลอยู่ที่ผิวโลหะเท่านั้น เราจึงความจริงเกี่ยวกับโครงสร้างของโลหะที่ว่า โลหะที่มีความร้อนสูง เมื่อทำให้มันเย็นตัวลงอย่างรวดเร็วจะทำให้เกิดการเปลี่ยนแปลงโครงสร้างในเนื้อโลหะและมีแนวโน้มที่จะทำให้โลหะมีความแข็งแรงมากขึ้น ในทางโลหะวิทยาถือว่าการเปลี่ยนแปลงอุณหภูมิจากร้อน ไปเย็นอย่างรวดเร็วนั้นเป็นการเพิ่มความเครียด(strain) ให้กับเนื้อโลหะ ดังนั้นในงานชุบแข็งเราจึงใช้ความถี่สูง โดยความถี่เป็นตัวกำหนดความลึกของชิ้นงานที่ต้องการชุบ สมมุติว่าเราต้องการชุบเหล็กทรงกระบอกคันแท่งหนึ่ง เราจะกำหนดค่าความลึกขึ้นมาค่าหนึ่ง ซึ่งเราจะถือค่าความลึกนี้เป็นค่าอ้างอิง ที่เป็นเช่นนี้เพราะความจริงแล้วเราไม่สามารถกำหนดความลึกของการชุบแข็งด้วยความลึกของกระแสที่ไหลได้เพราะกระแสไฟฟ้าจะไหลแบบเอ็กซ์โปเนนเชียล ซึ่งเราไม่สามารถกำหนดความลึกตามนั้นได้ และความแข็งของเนื้อโลหะที่ความลึกต่างกันจะไม่เท่ากันตลอด จึงต้องกำหนดค่าอ้างอิงขึ้นมาค่าหนึ่ง แล้วเฉลี่ยเอาว่าภายใต้ความลึกค่านี้จากผิว ความแข็งของโลหะจะประมาณเท่ากัน

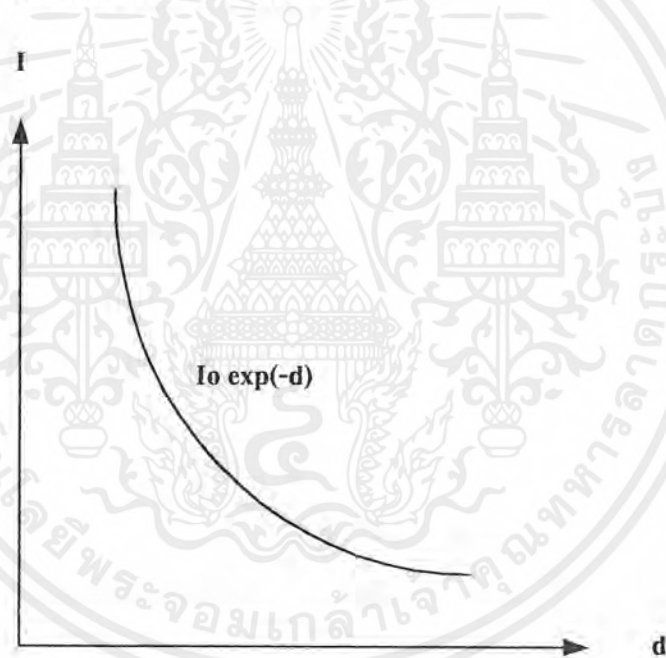
เมื่อเราได้ความลึกที่ต้องการแล้ว เราก็กำหนดความถี่ของการชุบแข็งได้จากสมการค่าความลึกนี้ในปัจจุบันลักษณะเครื่องเหนี่ยวนำความร้อนที่ใช้ในงานชุบแข็งมืออย่างกว้างขวาง เช่น ในอุตสาหกรรมรถยนต์ใช้ชุบแข็งส่วนประกอบต่างๆของรถที่มีหน้าสัมผัสติดกับส่วนอื่น เพื่อป้องกันการสึกหรอได้ง่าย เช่น การชุบแข็งพินเฟือง หรือส่วนประกอบที่ไม่ต้องการให้เกิดการงอ เช่น เพลา

ถ้าหากเราต้องการงานที่มีความละเอียดสูงมาก ต้องพิจารณาข้อปลีกย่อยเพื่อทำให้เราได้งานที่มีคุณภาพเช่นเมื่อเราทำให้มันร้อนแล้วมันขยายตัวไปเท่าไรและมีมันเย็นตัวลงอย่างรวดเร็ว การหด

ตัวของมันทำให้ชิ้นงานหดตัวหรือไม่ และยังคงคำนึงถึงช่วงเวลาในการทำให้เย็นนั้น เป็นตัวกำหนดค่าความแข็งของชิ้นงานว่าได้ตามความต้องการหรือไม่

แต่อย่างไรก็ดี หลักการที่สำคัญอีกอันหนึ่งสำหรับการชุบแข็งคือ โดยทั่วไปชิ้นงานที่เรานำมาชุบแข็งจะมีความสามารถนำความร้อนได้ดี ดังนั้นเราจำเป็นต้องอย่างยั้งที่เราจะต้องอัดพลังงานจำนวนมากเข้าไปในชิ้นงานอย่างรวดเร็วแล้วเอาออกอย่างรวดเร็ว เพื่อป้องกันไม่ให้ความร้อนเข้าไปในเนื้อเหล็กได้มากนัก ซึ่งเป็นเหตุผลให้ต้องใช้พลังงานมากเพิ่มขึ้นในการที่จะทำให้ชิ้นงานร้อนขึ้นอย่างรวดเร็ว หลังจากนั้นก็ต้องทำให้มันเย็นตัวลงอย่างรวดเร็ว เพื่อป้องกันไม่ให้โครงสร้างบริเวณที่เราไม่ต้องการชุบแข็งเปลี่ยนแปลงไปด้วย

การให้ความร้อนแบบอิมัลซิฟิเคชันชิ้นงานจะได้รับพลังงานจากสนามแม่เหล็กที่เปลี่ยนแปลง การถ่ายเทพลังงานจะเป็นแบบไม่มีการสัมผัส (contact less) และชิ้นงานจะถูกทำให้ร้อนขึ้นจากกระแสที่ไหลผ่านในชิ้นงานเนื่องจากแรงเคลื่อนเหนี่ยวนำ



d คือ ค่าความลึกจากผิวชิ้นงานเข้าไป

รูปที่ 1.1 แสดงการไหลเวียนของกระแสแบบเอ็กซ์โปเนนเชียลใน โลหะ

เอกสารนี้เป็นเอกสารที่สงวนไว้สำหรับการใช้งานเพื่อการศึกษาเท่านั้น ไม่อนุญาตให้นำไปใช้ประโยชน์ด้านการค้า ไม่ว่ากรณีใดๆ ทั้งสิ้น อีกทั้งห้ามมิให้ตัดแปลงเนื้อหาและต้องอ้างอิงถึงเจ้าของเอกสารทุกครั้งที่มีการนำไปใช้

บทที่ 2

ทฤษฎี

2.1 หลักการเบื้องต้น

หลักการเบื้องต้นของการเหนี่ยวนำความร้อนจะคล้ายกับหม้อแปลงไฟฟ้า ดังรูปที่ 2.1 จะเห็นได้ว่าขดลวดเหนี่ยวนำจะทำหน้าที่เหมือนขดปฐมภูมิของหม้อแปลงไฟฟ้า และชิ้นงานจะทำหน้าที่เหมือนขดทุติยภูมิของหม้อแปลง โดยที่ขดทุติยภูมิจะมีจำนวนรอบเท่ากับ 1



รูปที่ 2.1 ลักษณะของขดลวดเหนี่ยวนำ

เมื่อมีกระแสสลับป้อนเข้าที่ขดปฐมภูมิ กระแสทางขดทุติยภูมิจะถูกเหนี่ยวนำขึ้นเรียกว่ากระแสไหลวน (eddy current) เมื่อมีกระแสไฟฟ้าความถี่สูงไหลในชิ้นงานที่เป็นตัวนำจะทำให้เกิดความร้อนขึ้น ณ บริเวณที่มีกระแสไหลผ่าน

เครื่องเหนี่ยวนำความร้อนถูกนำมาใช้ในงานอุตสาหกรรม โลหะอย่างกว้างขวาง โดยทำให้โลหะร้อนขึ้นเพื่อใช้ในงานเชื่อม บัดกรี หลอม และชุบแข็ง เป็นต้น

เหตุผลที่มีการใช้เครื่องเหนี่ยวนำความร้อนกันแพร่หลาย เนื่องจากข้อดีหลายประการ คือ

1. ความร้อนจะถูกเหนี่ยวนำโดยตรงให้กับวัสดุ วิธีนี้จะเป็นวิธีที่ให้ความร้อนที่เร็วมากเมื่อเทียบกับวิธีอื่นๆ
2. สามารถควบคุมปริมาณความร้อนและพื้นที่ที่ต้องการจะทำให้ร้อนได้ง่ายและแม่นยำ
3. เครื่องเหนี่ยวนำความร้อน ง่ายต่อการควบคุม ทำให้ได้ชิ้นงานที่มีคุณภาพสูง
4. ใช้เวลาในการปิด-เปิดเครื่องน้อยและมีกำลังสูญเสียจําหรือแทบจะ ไม่มีเลยเมื่อเปิดเครื่องทิ้งไว้

เฉยๆ

เอกสารนี้เป็นเอกสารที่สงวนไว้สำหรับการใช้งานเพื่อการศึกษาเท่านั้น ไม่อนุญาตให้นำไปใช้ประโยชน์ด้านการค้า ไม่ว่าจะกรณีใดๆ ทั้งสิ้น อีกทั้งห้ามมิให้ตัดแปลงเนื้อหาและต้องอ้างอิงถึงเจ้าของเอกสารทุกครั้งที่มีการนำไปใช้

5. สภาพะการทำงานจะดีกว่าเนื่องจากไม่มีมลภาวะอื่นๆ เช่น ควันหรือความร้อนที่แพร่กระจายออกมา

2.1.2 แหล่งจ่ายพลังงาน

อุปกรณ์ที่ใช้เป็นแหล่งจ่ายพลังงานขึ้นอยู่กับความถี่ที่ใช้งาน เช่น ที่ความถี่ 50Hz จะต้องเลือกใช้หม้อแปลงให้เหมาะสมและต้องใช้ตัวเก็บประจุเพื่อแก้ตัวประกอบกำลัง (Power factor) ด้วย สำหรับความถี่ที่สูงกว่า 10 kHz จะต้องเลือกชนิดของขดลวดเหนี่ยวนำให้เหมาะสมและจะต้องสามารถรับพลังงานได้ถึง 300 kW

คอนเวอร์เตอร์ (converter) จะถูกนำมาใช้ที่ความถี่ 10-200 kHz ซึ่งเป็นความถี่ที่ใช้ในงานหลอมละลายโลหะ สำหรับความถี่มากกว่า 200 kHz ขึ้นไป จะใช้ชุดผลิตความถี่โดยใช้หลอดสูญญากาศเป็นแหล่งจ่ายพลังงาน ที่ความถี่สูงๆนี้จะใช้ในงานเชื่อมหรือชุบแข็งโลหะ

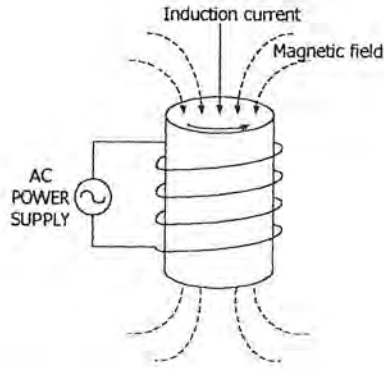
ในปัจจุบันอุปกรณ์สารกึ่งตัวนำได้เข้ามามีบทบาทมากในงานพวกนี้มากเนื่องจากเทคโนโลยีการผลิตจะทำให้สามารถผลิตอุปกรณ์สวิตช์ เพื่อใช้ในงานแรงดันและกระแสสูงได้และในปริณิษยานิพนธ์นี้จะใช้เพาเวอร์มอสเฟตเป็นอุปกรณ์สวิตช์

Frequency used in induction and dielectric heating

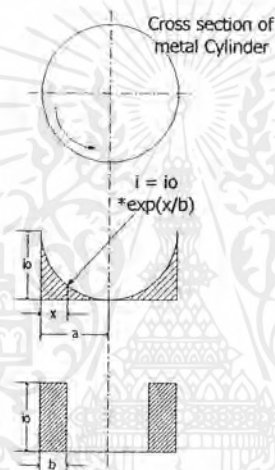
Frequency (Hz)	Source of power	Use
60 - 960	Rotating generator or converter	Mass induction heating forging forming extrusion
960 - 10,000	Motor - generator	Induction heating for melting. Heat treating
10,000 - 60,000	Converter	Induction heating for small scale melting and sintering
200,000 - 550,000	Vacuum-tube oscillators	Surface induction heating for brazing. soldering and strip and wire heating
2,000,000 - 90,000,000	Vacuum - tube oscillator	Dielectric heating

รูปที่ 2.2 ตารางแสดงถึงความถี่ที่ใช้ในงานเหนี่ยวนำความร้อนและลักษณะการนำไปใช้งาน

เอกสารนี้เป็นเอกสารที่สงวนไว้สำหรับการใช้งานเพื่อการศึกษาเท่านั้น ไม่อนุญาตให้นำไปใช้ประโยชน์ด้านการค้าไม่ว่ากรณีใดๆ ทั้งสิ้น อีกทั้งห้ามมิให้ตัดแปลงเนื้อหาและต้องอ้างอิงถึงเจ้าของเอกสารทุกครั้งที่มีการนำไปใช้



รูปที่ 2.3 ทิศทางของสนามแม่เหล็กของแท่งเหล็ก



รูปที่ 2.4 การกระจายของกระแสตามความลึกและการประมาณ

2.1.3 ความลึกจากผิว

เมื่อนำเอาขดลวดพันรอบแท่งโลหะและให้กระแสไหลผ่านขดลวดดังรูปที่ 2.3 จะทำให้เกิดการเหนี่ยวนำของกระแสในเนื้อโลหะ ทิศทางของกระแสจะตรงข้ามกับกระแสในขดลวด และจะเกิดความร้อนแบบจุด (joule) กระแสที่เหนี่ยวนำไหลในแท่งโลหะจะอยู่ใกล้ๆ ผิวของแท่งโลหะเนื่องจากผลของการไหลที่ผิว การกระจายตามรูปที่ 2.4 เนื่องจากการกระจายจะอยู่ในรูปของเอ็กซ์โปเนนเชียล เราจึงต้องประมาณค่าขึ้นมาค่าหนึ่ง ซึ่งเป็นค่าความลึกที่ผิวนั้นๆ มีคุณสมบัติโลหะเท่ากันตลอด ความลึกผิวของการไหลของกระแสหาได้จากสมการ

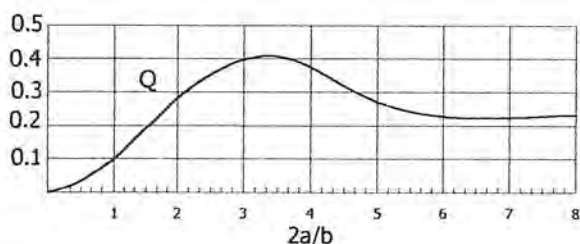
$$\delta = 5.03 (\rho / \mu_r f)^{1/2}$$

ρ = ค่าความต้านทานจำเพาะของโลหะ (resistivity of metal)

μ_r = ค่าความซึมซาบ สัมพัทธ์ (relative permeability)

f = ความถี่ (frequency)

เอกสารนี้เป็นเอกสารที่สงวนไว้สำหรับการใช้งานเพื่อการศึกษาเท่านั้น ไม่อนุญาตให้นำไปใช้ประโยชน์ด้านการค้า ไม่ว่ากรณีใดๆ ทั้งสิ้น อีกทั้งห้ามมิให้ตัดแปลงเนื้อหาและต้องอ้างอิงถึงเจ้าของเอกสารทุกครั้งที่มีการนำไปใช้



รูปที่ 2.5 กราฟแสดงค่าระหว่างขนาดเส้นผ่าศูนย์กลางต่อค่าความลึกของการกระจายกระแสกับค่าคงที่ Q ของปริมาณกำลังงาน

2.1.4 กำลังงานที่เกิดขึ้นในโลหะ

เกิดขึ้นจากการเหนี่ยวนำสามารถแสดงดังสมการ

$$P = 2.5 f H_0^2 \mu_r L A Q \cdot 10^8$$

H_0 = ความเข้มของสนามแม่เหล็กที่บริเวณผิวของแท่งโลหะ

(Strength of magnetic field at surface of metal cylinder)

L = ความยาวของแท่งโลหะ (Length of metal cylinder [cm])

A = พื้นที่หน้าตัดของแท่งโลหะ (Cross section area) [cm²]

Q = ค่าคงที่ขึ้นกับค่าของ $2a / Q$ (Function determined by $2a / Q$)

กราฟรูปที่ 2.5 แสดงถึงความสัมพันธ์ของปริมาณกำลังงานที่เกิดขึ้นที่ผิวแท่งทรงกระบอก โดยเทียบกับอัตราส่วนของเส้นผ่าศูนย์กลางของแท่งกลมทรงกระบอกกับความลึกของการกระจายกระแสจากผิวของแท่งกลมกระบอก

2.1.5 การกระจายของกระแสในแท่งกลมทรงกระบอก

การหาค่าการไหลของกระแสที่รัศมีต่างๆ กันในชิ้นงานที่เป็นแท่งกลมทรงกระบอกนั้น มีความสำคัญมากในการใช้งานจริง เพราะจะทำให้สามารถนำไปกำหนดค่ากระแสในการออกแบบใช้งานจริงได้ โดยรูปที่ 2.6 เป็นกราฟที่ใช้ช่วยในการหาค่าการไหลของกระแส ณ จุดที่มีรัศมีต่างกัน

จากรูปที่ 2.6 แนวตั้งเป็นค่าของความหนาแน่นกระแสที่รัศมีใดๆ เทียบกับความหนาแน่นกระแสที่ผิว แนวอนจะเป็นค่าคงที่ของการกระจายความหนาแน่นกระแสที่รัศมีใดๆ เทียบกับอัตราส่วนจากค่าคงที่ของการกระจายความหนาแน่นที่รัศมีเท่ากับ 70% ของรัศมีชิ้นงาน จากค่าคงที่ของการกระจายความหนาแน่นกระแสที่ผิวคูณกับรัศมีที่ต้องการทราบค่าคงที่ของการกระจาย จะได้ค่าคงที่ของการกระจายกระแสที่รัศมีนั้นๆ เมื่อ

$$I_r = \text{กระแสที่รัศมี}$$

เอกสารนี้เป็นเอกสารที่สงวนไว้สำหรับการใช้งานเพื่อการศึกษาเท่านั้น ไม่อนุญาตให้นำไปใช้ประโยชน์ด้านการค้า ไม่ว่ากรณีใดๆ ทั้งสิ้น อีกทั้งห้ามมิให้ตัดแปลงเนื้อหาและต้องอ้างอิงถึงเจ้าของเอกสารทุกครั้งที่มีการนำไปใช้

I_a = กระแสที่ผิว (รัศมี a)

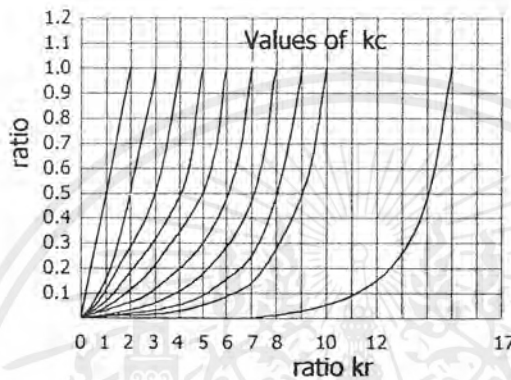
a = รัศมีขอบนอกสุดของแท่งกลมทรงกระบอก

$$K = 8\pi^2 f \mu / \rho$$

μ = ค่าความซึมซาบ (permeability)

ρ = ค่าความต้านทานจำเพาะ (resistivity)

f = ความถี่ (frequency)



รูปที่ 2.6 กราฟแสดงการกระจายความหนาแน่นกระแสที่แท่งกลมทรงกระบอก

2.1.6 โลหะวิทยาของเหล็ก

โดยทั่วไป เหล็กที่เป็นตัวนำสนามแม่เหล็กจะมีคุณสมบัติที่ค่อนข้างแน่นอนกว่าโลหะชนิดอื่นๆที่ไม่ได้เป็นตัวนำสนามแม่เหล็กและเป็นสิ่งสำคัญมากในการเหนี่ยวนำความร้อน คุณสมบัติหลักตัวหนึ่งของคุณสมบัติหลายด้านที่โลหะมีอยู่ก็คือ ค่าความนำแม่เหล็กจำเพาะ ซึ่งจะเปลี่ยนแปลงไปเมื่ออุณหภูมิเปลี่ยนไป โดยทั่วไปความนำแม่เหล็กจำเพาะจะมีค่าเป็น 1 ที่อุณหภูมิระหว่าง 1275-1600 ° F ทั้งนี้ขึ้นอยู่กับค่าความเข้มสนามแม่เหล็กและส่วนผสมโลหะอื่นในเหล็กด้วย และมีการแสดงให้เห็นว่าที่สนามแม่เหล็กที่มีค่าอ่อนมากๆ ค่าความนำแม่เหล็กจำเพาะจะมีค่ามากขึ้น ในขณะที่สนามแม่เหล็กที่มีความเข้มสูง ค่าความนำแม่เหล็กจำเพาะจะลดลงอย่างรวดเร็วที่ 1400 ถึง 1475 ° F โดยลดลงถึง 100 เท่าของค่าเดิมของมัน

2.1.7 จุดเปลี่ยนสภาพแม่เหล็ก (Magnetic Change Point)

ค่าอุณหภูมิวิกฤต (critical temperature) เหล่านี้เรียกว่า จุดคูรี (curie point) เป็นจุดที่ค่าความนำแม่เหล็กจำเพาะของโลหะลดลงอย่างรวดเร็วเป็น 1 ทำให้ตัวมันทำหน้าที่เป็นแกนอากาศของสนามแม่เหล็ก และพบว่าโมลิบดีนัมและซิลิกอนจะเป็นตัวผสมช่วยให้อุณหภูมิที่จุดคูรีมีค่าสูงขึ้น ในขณะที่แมงกานีสและนิกเกิลจะลดค่าอุณหภูมิที่จุดคูรี

เอกสารนี้เป็นเอกสารที่สงวนไว้สำหรับการใช้งานเพื่อการศึกษาเท่านั้น ไม่อนุญาตให้นำไปใช้ประโยชน์ด้านการค้า ไม่ว่ากรณีใดๆ ทั้งสิ้น อีกทั้งห้ามมิให้ตัดแปลงเนื้อหาและต้องอ้างอิงถึงเจ้าของเอกสารทุกครั้งที่มีการนำไปใช้

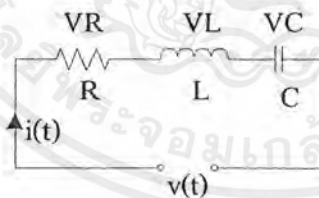
ชนิดโลหะ	อุณหภูมิ (°F)
เหล็ก (Iron)	1420
โคบอลต์(Cobalt)	2105
นิกเกิล (Nickel)	680
เหล็กผสมนิกเกิล (Nickel-Iron(30Ni-70Fe))	160
โลหะผสม (Permalloy (78Ni-22Fe))	1020
โลหะผสม (Nickel-copper (Thermalloy, Thermopem)	50-160
โลหะผสม (Carbon-steel (medium)	1330

2.2 Resonance

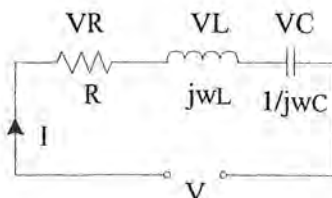
ในทางไฟฟ้า Resonance คือ จุดที่กระแสและแรงดัน In-phase กัน หรือ ถ้ามองจากวงจร Series Resonance เมื่อเราปรับความถี่ไปเรื่อยๆจะมีค่าหนึ่งที่ทำให้ $X_L = X_C$ ทำให้ในวงจรมีค่า Impedance เหลือแต่ความต้านทานเท่านั้นทำให้กระแสมีค่าสูงสุดและเป็นสาเหตุให้เราให้วงจร Induction Heating ทำงานที่จุด Resonance

2.2.1 วงจร Resonance แบบอนุกรม

การต่อวงจร Series Resonance เฟสเซอร์ของแรงดันที่ตัวเก็บประจุและตัวเหนี่ยวนำที่ความถี่ต่างได้แสดงดังรูป 2.16

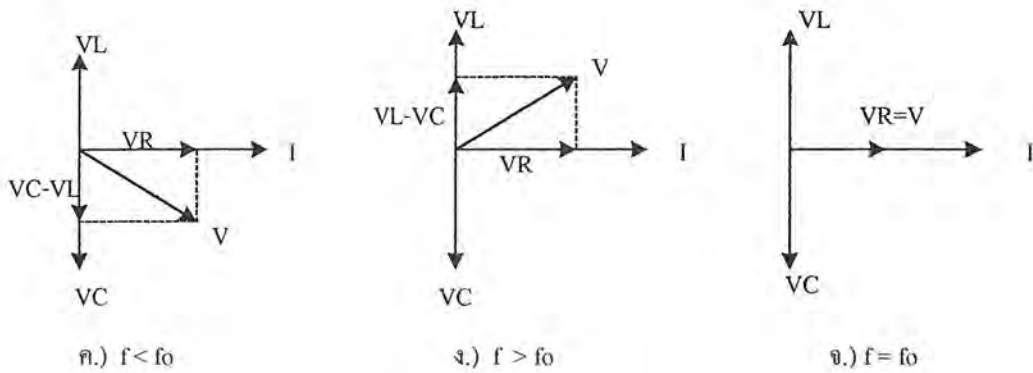


ก.) วงจรรีโซแนนซ์แบบอนุกรม



ข.) วงจรเปลี่ยนแปรของวงจรในรูป ก.)

เอกสารนี้เป็นเอกสารที่สงวนไว้สำหรับการใช้งานเพื่อการศึกษาเท่านั้น ไม่อนุญาตให้นำไปใช้ประโยชน์ด้านการค้า ไม่ว่ากรณีใดๆ ทั้งสิ้น อีกทั้งห้ามมิให้ตัดแปลงเนื้อหาและต้องอ้างอิงถึงเจ้าของเอกสารทุกครั้งที่มีการนำไปใช้



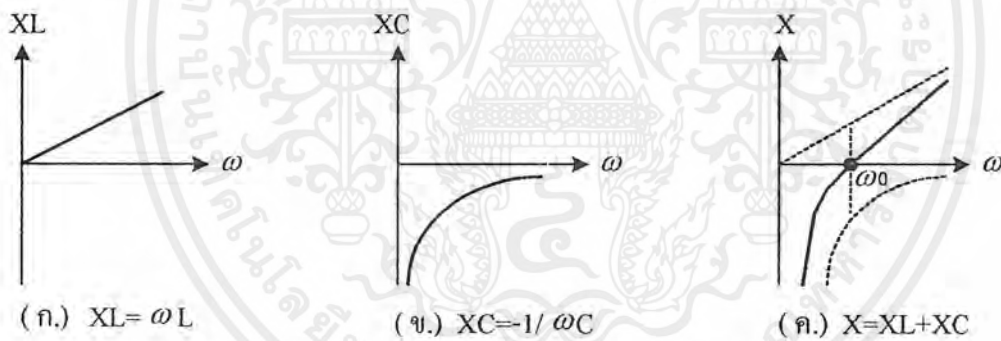
รูปที่ 2.7 วงจร Series Resonance

โดยที่รูปที่ 2.7ก. แสดงวงจร Series Resonance

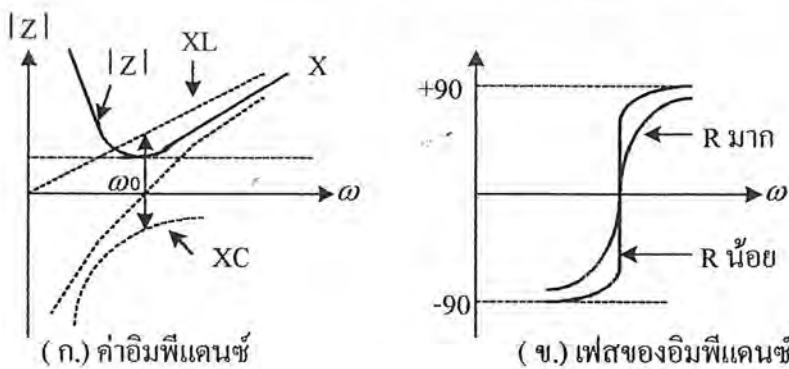
รูปที่ 2.7ข. แสดงค่าความต้านทานไฟฟ้ากระแสสลับที่ตัวต้านทานตัวเหนี่ยวนำและตัวเก็บประจุ

รูปที่ 2.7ค. 2.7ง. และ 2.7จ. แสดงเฟสเซอร์ไดอะแกรมของแรงดันที่ความถี่ต่าง ๆ นอกจากนี้เมื่อ

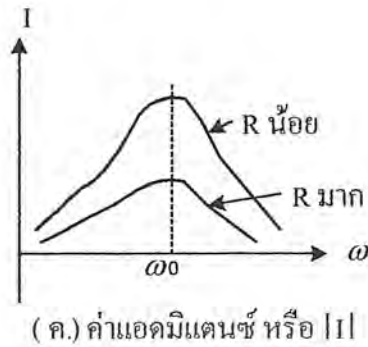
นำค่า Reactance มา Plot Curve จะได้ดังรูปที่ 2.8



รูปที่ 2.8 แสดงค่า Reactance X_L , X_C , และ $X_L + X_C$



เอกสารนี้เป็นเอกสารที่สงวนไว้สำหรับการใช้งานเพื่อการศึกษาเท่านั้น ไม่อนุญาตให้นำไปใช้ประโยชน์ด้านการค้า ไม่ว่าจะกรณีใดๆ ทั้งสิ้น อีกทั้งห้ามมิให้ตัดแปลงเนื้อหาและต้องอ้างอิงถึงเจ้าของเอกสารทุกครั้งที่มีการนำไปใช้



รูปที่ 2.9

พิจารณากราฟในรูปที่ 2.9

รูป ก: แสดงขนาดของ Reactance ที่ ω ต่าง ๆ และจะเห็นว่าขนาดของ Reactance มีค่าน้อยที่สุดที่จุด Resonance

รูป ข: แสดงมุมเฟสของ Reactance ที่ ω ต่าง ๆ สังเกตว่าที่ความถี่มากกว่า Resonance มุมเฟสจะมีค่าเป็นบวกตามตัวเหนี่ยวนำ และจะมีค่ามากขึ้นจนมีค่ามากที่สุดที่ $+90^\circ$ และในทางตรงข้าม ถ้าความถี่น้อยกว่าที่ Resonance มุมเฟสจะมีค่าเป็นลบตามตัวเก็บประจุ และจะมีค่ามากที่สุดที่ -90°

รูป ค: แสดงขนาดของ Admittance และขนาดของกระแส พบว่ากระแสจะมีขนาดมากที่สุดที่ความถี่ Resonance และจากนิยามของ Resonance เราได้ว่าความถี่ Resonance มีค่าดังนี้

$$f_0 = \frac{1}{2\pi\sqrt{LC}}$$

และหา ω_c ได้จากสมการ

$$\omega_0 = \sqrt{\frac{1}{LC} - \frac{R^2}{2L^2}}$$

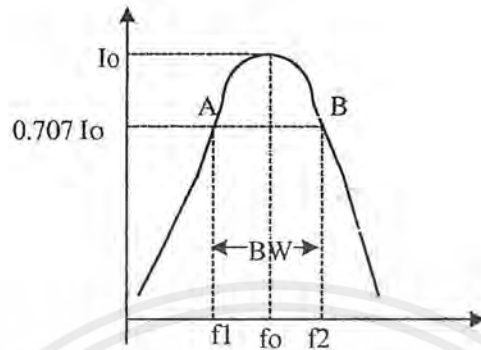
$$\omega_0 = \frac{1}{\sqrt{LC - (CR)^2}}$$

มีข้อสังเกตว่าที่ R มีค่าน้อยๆ ω_0 , ω_L และ ω_C จะยังมีค่าใกล้เคียงกันมากยิ่งขึ้นและที่ $R=0$ จะได้ $\omega_0 = \omega_L = \omega_C$ เมื่อ ω_L และ ω_C เป็นความเร็วเชิงมุมที่ทำให้เกิด $|V_C|_{\max}$ และ $|V_L|_{\max}$ ตามลำดับ

เอกสารนี้เป็นเอกสารที่สงวนไว้สำหรับการใช้งานเพื่อการศึกษาเท่านั้น ไม่อนุญาตให้นำไปใช้ประโยชน์ด้านการค้า ไม่ว่าจะกรณีใดๆ ทั้งสิ้น อีกทั้งห้ามมิให้ดัดแปลงเนื้อหาและต้องอ้างอิงถึงเจ้าของเอกสารทุกครั้งที่มีการนำไปใช้

2.2.2 Resonance Curve และ Bandwidth

เรียกกราฟของ $|Y|$ หรือ $|I|$ กับ f ว่า Resonance Curve ดังรูปที่ 2.10



แสดงค่ากระแสของวงจรรีโชนันซ์
รูปที่ 2.10 แสดงค่ากระแสของวงจรรีโชนันซ์

รูปที่ 2.11 แสดงค่าของความต้านทานว่ามีผลต่อ Resonance Curve อย่างไร ซึ่งพบว่า ค่า R ยิ่งมากจะทำให้ Resonance Curve จะมีรูปร่างแบนมากขึ้น

ถ้า Resonance Curve มีความแบนมากเรียกว่ามี Selectivity ไม่ดี โดยค่า Selectivity สามารถหาจากสูตร

$$\text{Selectivity} = \frac{BW}{f_0}$$

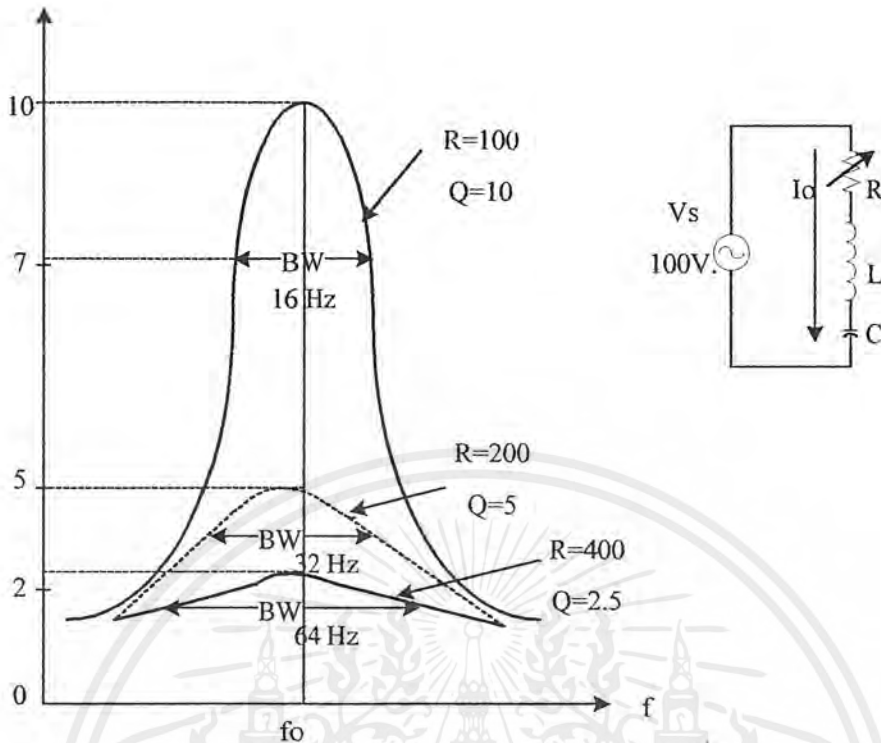
โดย B.W. คือช่วงความถี่ระหว่างจุดสองจุดซึ่งแต่ละจุดอยู่คนละข้างของ f_0 และให้ค่ากระแสลดลงเหลือ $I_0 / 2$ ซึ่งทำให้กำลังในวงจรลดลงเหลือครึ่งหนึ่งของกำลังที่ Resonance จากนิยามข้างต้นสามารถหา f ที่จุดครึ่งกำลังได้ทำให้ได้

$$BW = \omega_2 - \omega_1 = \frac{R}{L}$$

และ Selectivity มีค่าดังนี้

$$\text{Selectivity} = \frac{R}{\omega_0 L}$$

เพราะฉะนั้นจะเห็นว่าค่าความต้านทานมีค่ามาก BW จะมีค่ามากด้วยและจากสมการ 2.100 เมื่อ R มีค่ามาก ค่า Selectivity จะมีค่ามากทำให้ Resonance Curve แบนซึ่งไม่ดี



แสดงค่าความต้านทานที่มีผลต่อ Resonant Curve

รูปที่ 2.11 แสดงค่าของความต้านทานที่มีผลต่อ Resonance Curve

2.2.3 Quality Factor (Q)

$Q = 2\pi * (\text{พลังงานเก็บสะสมสูงสุดหารด้วยพลังงานที่สูญเสียต่อวัฏจักร})$

จากสมการข้างต้นเมื่อทำการพิสูจน์จะพบว่าพลังงานเก็บสะสมสูงสุดในวงจรอนุกรม RLC จะมีค่าสูงสุดขณะวงจรเกิด Resonance และมีค่าคงที่ตลอดเวลาทั้ง ๆ ที่พลังงานสะสมในสนามแม่เหล็กและสนามไฟฟ้าจะเปลี่ยนแปลงตลอดเวลาจากศูนย์ไปยังค่าสูงสุดกลับไปกลับมาตลอดเวลาที่มีค่าเท่ากับ $I_m^2 / 2$ และ พลังงานที่สูญเสียเฉลี่ยในวงจรต่อหนึ่งวัฏจักรเท่ากับ $I_m^2 R / (2f_0)$ ทำให้ได้

$$Q_0 = \frac{\omega_0 L}{R}$$

จากนิยามของ Selectivity ได้

$$Selectivity = \frac{1}{Q_0}$$

นอกจากนี้ในวงจร RLC Series ยังพิสูจน์ได้ว่า

$$Q_0 = \left| \frac{V_{L0}}{V} \right| = \left| \frac{V_{C0}}{V} \right|$$

เมื่อ V_{L0} คือ แรงดันไฟฟ้าที่คร่อมตัวเหนี่ยวนำที่ Resonance

เอกสารนี้เป็นเอกสารที่สงวนไว้สำหรับการใช้งานเพื่อการศึกษาเท่านั้น ไม่อนุญาตให้นำไปใช้ประโยชน์ด้านการค้าไม่ว่ากรณีใดๆ ทั้งสิ้น อีกทั้งห้ามมิให้ตัดแปลงเนื้อหาและต้องอ้างอิงถึงเจ้าของเอกสารทุกครั้งที่มีการนำไปใช้

V_{co} คือ แรงดันไฟฟ้าที่คร่อมตัวเก็บประจุที่ Resonance

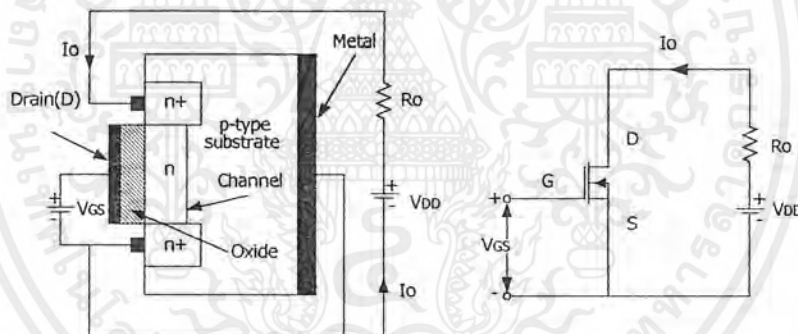
เพราะฉะนั้นเมื่อเรารู้ค่า Q_0 ทำให้สามารถหาค่าต่าง ๆ ดังต่อไปนี้ได้

1. หาอัตราส่วน $X_L / R = X_C / R$ ที่ Resonance
2. หา Selectivity = $1 / Q_0$
3. หา $|V_{L0}| / |V_{co}|$ ได้ = $Q_0 |V|$
4. หาพลังงานสูญเสียต่อวัฏจักร ได้ = $(2\pi / Q_0) \times$ พลังงานเก็บสะสมสูงสุด

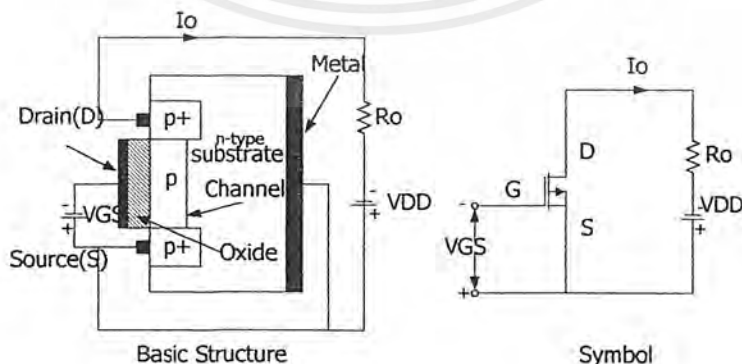
2.3 โครงสร้างพื้นฐานของเพาเวอร์มอสเฟต

2.3.1 เพาเวอร์มอสเฟต

เพาเวอร์มอสเฟตเป็นอุปกรณ์ที่ควบคุมกระแสเอาต์พุตด้วยแรงดันที่ขาเกต และต้องการกระแสอินพุตต่ำมาก มีความเร็วในการสวิตช์สูง เวลาในการสวิตช์ต่ำมากเป็นนาโนวินาที เพาเวอร์มอสเฟตได้ถูกนำไปประยุกต์ใช้งานในหลายๆด้านเนื่องจากใช้ได้ดีที่ความถี่สูง แต่ก็มีปัญหาเกี่ยวกับไฟฟ้าสถิตย์และต้องการการเก็บรักษาอย่างเป็นพิเศษ



(ก) คีพลีชันมอสเฟตชนิดเอ็น



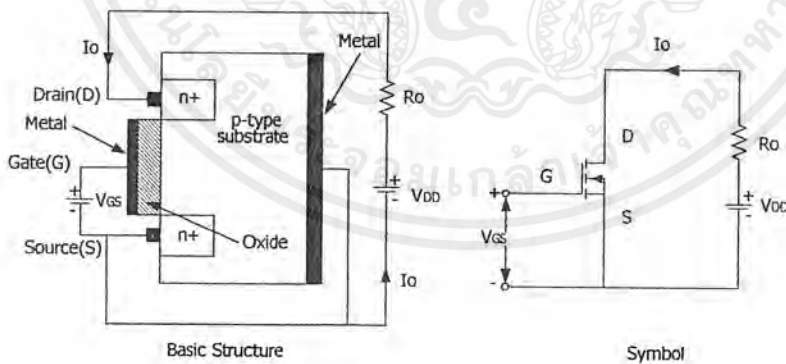
(ข) คีพลีชันมอสเฟตชนิดพี

รูปที่ 2.12

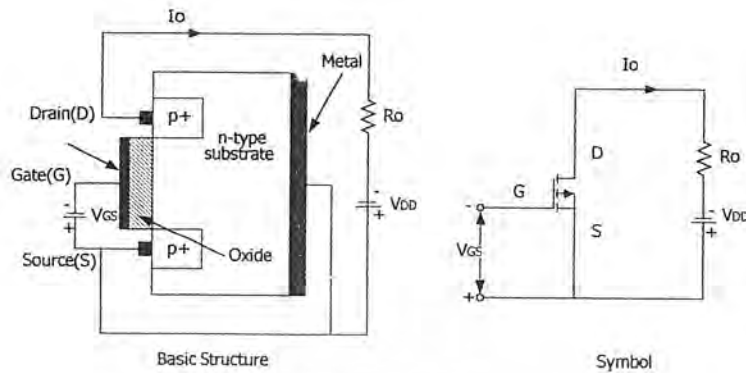
เอกสารนี้เป็นเอกสารที่สงวนไว้สำหรับการใช้งานเพื่อการศึกษาเท่านั้น ไม่อนุญาตให้นำไปใช้ประโยชน์ด้านการค้า ไม่ว่ากรณีใดๆ ทั้งสิ้น อีกทั้งห้ามมิให้ตัดแปลงเนื้อหาและต้องอ้างอิงถึงเจ้าของเอกสารทุกครั้งที่มีการนำไปใช้

มอสเฟตมีด้วยกัน 2 ชนิดคือ ดีพลีชันมอสเฟต และเอ็นฮานซ์เมนทมอสเฟต (depletion mosfet and enhancement mosfet) ดีพลีชันมอสเฟตชนิดเอ็นจะมีโครงสร้างที่เป็นชั้นสารกึ่งตัวนำชนิดพีดังรูปที่ 2.12ก และถูกโคป (dope) ด้วยกึ่งตัวนำชนิด n^+ ซึ่งมีความต้านทานต่ำ เกตถูกแยกออกจากแขนแนลด้วยชั้นของออกไซด์บางๆ ขาทั้งสามของมอสเฟตมีชื่อเรียกว่า เกต เคน และซอร์ส แรงดันที่เกตซอร์ส (V_{GS}) นั้นจะเป็นบวกหรือลบก็ได้ ถ้า V_{GS} เป็นลบ อิเล็กตรอนบางส่วนในพื้นที่ของเอ็นแขนแนลจะถูกผลักออกไป และบริเวณปลอดพาหะจะถูกสร้างขึ้นที่ด้านล่างของชั้นของออกไซด์เป็นผลทำให้แขนแนลแคบลง ค่าความต้านทานระหว่างเคนซอร์ส R_{DS} จะสูงขึ้นถ้า V_{GS} มีค่าเป็นลบมากพอที่จะทำให้แขนแนลปลอดพาหะอย่างสมบูรณ์ ซึ่งทำให้ R_{DS} มีค่าสูงขึ้น จนไม่มีกระแสไหลจากเคนไปยังซอร์ส ($I_{DS}=0$) แรงดัน V_{GS} ดังกล่าวเรียกว่า แรงดันพินช์ออฟ (pinch off voltage), V_D เมื่อ V_{GS} มีค่าเป็นบวกแขนแนลจะเริ่มกว้างมากขึ้น และ I_{DS} จะไหลมากขึ้นเนื่องจาก R_{DS} ลดลง สำหรับในดีพลีชันมอสเฟตชนิดพีจะมีชื่อของ V_{DS} , I_{DS} และ V_{GS} ที่ตรงกันข้ามกับชนิดเอ็น

ในเอ็นฮานซ์เมนทมอสเฟตชนิดเอ็นจะไม่มีแขนแนลดังรูปที่ 2.13 ถ้า V_{GS} เป็นบวกอิเล็กตรอนจะถูกดูดจากซับสเตรทชนิดพี (p-type substrate) ไปสะสมที่บริเวณผิวของออกไซด์ ถ้า V_{GS} มีค่ามากกว่าหรือเท่ากับแรงดันขีดเริ่ม (threshold voltage), V_T แล้ว อิเล็กตรอนที่สะสมจะมีปริมาณมากพอที่จะทำให้เกิดเอ็นแขนแนลเสมือนขึ้นแ และจะทำให้กระแสไหลจากเคนไปซอร์สได้ สำหรับในเอ็นฮานซ์เมนทมอสเฟตชนิดพี สภาพขั้วของ V_{DS} , I_{DS} และ V_{GS} จะตรงข้ามกับชนิดเอ็น



รูปที่ 2.13 (ก) เอ็นฮานซ์เมนทมอสเฟตชนิดเอ็น



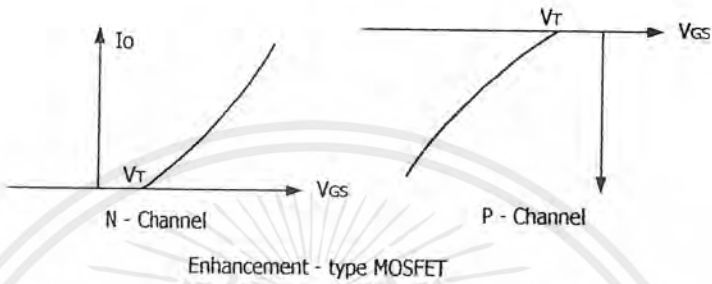
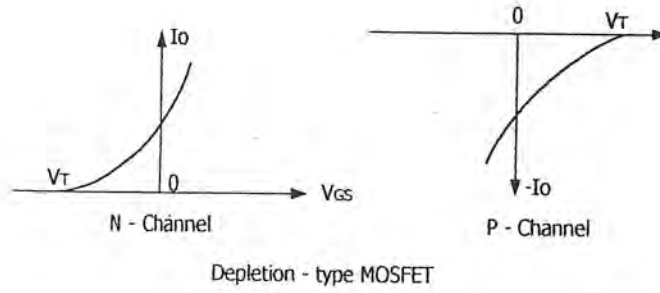
รูปที่ 2.13 (ข) เอ็นแชนันซ์เม้นท์มอสเฟตชนิดพี

2.3.2 ลักษณะสมบัติที่สภาวะคงตัวของมอสเฟต

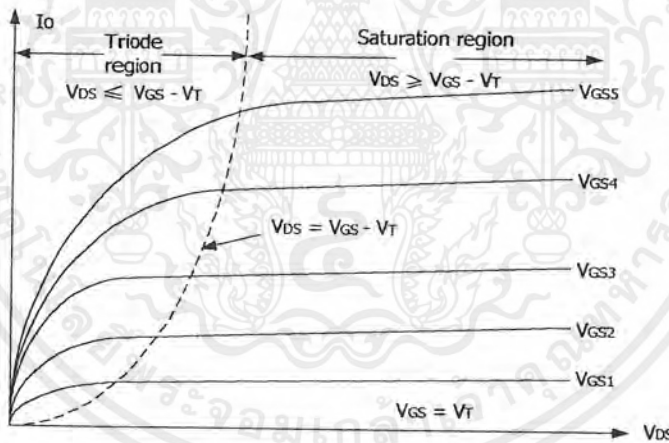
มอสเฟตเป็นอุปกรณ์ที่ควบคุมได้ด้วยแรงดัน มีค่าอินพุตอิมพีแดนซ์สูงมาก ทำให้กระแสเกตไหลต่ำมากเป็นนาโนแอมแปร์ อัตราการขยายกระแสซึ่งเป็นอัตราส่วนระหว่างกระแสเดรน I_D กับกระแสเกต I_G อย่างไรก็ตามอัตราการขยายกระแสไม่ได้เป็นพารามิเตอร์ที่สำคัญ ค่าทรานสคอนดักแตนซ์ซึ่งเป็นอัตราส่วนของกระแสเดรนและแรงดันเกตจะเป็นพารามิเตอร์ที่สำคัญกว่า

ลักษณะสมบัติอินพุตของมอสเฟตชนิดเอ็นและชนิดพีแสดงดังรูปที่ 2.14 และรูปที่ 2.15 จะเป็นลักษณะสมบัติทางเอาท์พุทของเอ็นแชนันซ์เม้นท์มอสเฟตชนิดเอ็นจะมีการทำงานใน 3 บริเวณคือ บริเวณคัทออฟ (cut off region) เมื่อ $V_{GS} < V_T$ บริเวณอิ่มตัวหรือพินช์ออฟ (saturation or pinch off region) เมื่อ $V_{DS} > (V_{GS} - V_T)$ และบริเวณเชิงเส้น (linear region) เมื่อ $V_{DS} < (V_{GS} - V_T)$ การพินช์ออฟจะเกิดขึ้นเมื่อ $V_{DS} = V_{GS} - V_T$ ในบริเวณเชิงเส้น กระแส I_D จะเปลี่ยนโดยเป็นสัดส่วนกับแรงดัน V_{DS} เนื่องจากกระแสเดรนสูงและแรงดันเดรนต่ำทำให้มอสเฟตทำงานได้ในบริเวณเชิงเส้น สำหรับการสวิทชิงในบริเวณอิ่มตัว กระแสเดรนจะคงที่เมื่อแรงดัน V_{DS} เพิ่มขึ้น ในบริเวณนี้มอสเฟตจะถูกนำไปใช้ขยายแรงดัน มอสเฟตทั้งชนิดดีพีซีเอ็นและเอ็นแชนันซ์เม้นท์ จะมีโมเดลที่สภาวะคงตัวดังรูปที่ 2.16 ค่าทรานสคอนดักแตนซ์, G_m หาได้จาก $G_m = dI_D / dV_{GS}$ เมื่อ V_{DS} คงที่ และความต้านทานด้านเอาท์พุท, $r_o = R_{DS}$ หาได้จาก $R_{DS} = dV_{DS} / dI_D$ (R_{DS} ในบริเวณพินช์ออฟจะมีค่าสูงเป็นเมกะโอห์ม และในบริเวณเชิงเส้นจะมีค่าต่ำเป็นมิลลิโอห์ม)

สำหรับดีพีซีเอ็นมอสเฟตทำงานที่แรงดันเกตเป็นบวกหรือลบก็ได้ แต่สำหรับเอ็นแชนันซ์เม้นท์มอสเฟตจะทำงานที่แรงดันเกตเป็นบวกเท่านั้น เพาเวอร์มอสเฟตที่ใช้ทั่วไปจะเป็นชนิดเอ็นแชนันซ์เม้นท์

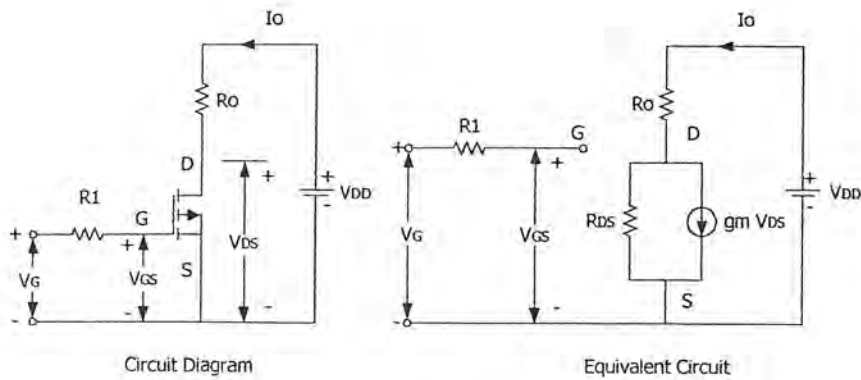


รูปที่ 2.14 ลักษณะสมบัติไอออนย้ายของมอสเฟต



รูปที่ 2.15 ลักษณะสมบัติทางเอาท์พุทของเอ็นฮานซ์เมนต์มอสเฟต

เอกสารนี้เป็นเอกสารที่สงวนไว้สำหรับการใช้งานเพื่อการศึกษาเท่านั้น ไม่อนุญาตให้นำไปใช้ประโยชน์ด้านการค้า ไม่ว่าจะกรณีใดๆ ทั้งสิ้น อีกทั้งห้ามมิให้ตัดแปลงเนื้อหาและต้องอ้างอิงถึงเจ้าของเอกสารทุกครั้งที่มีการนำไปใช้



รูปที่ 2.16 โมเดลการสวิทชิงที่สภาวะคงตัวของมอสเฟต

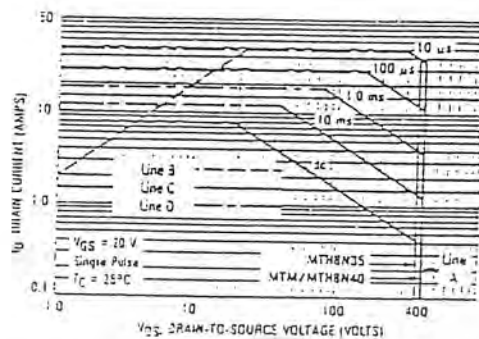
2.3.3 การออกแบบเพื่อนำพาเวอร์มอสเฟตไปใช้ พื้นที่การทำงานปลอดภัย (Safe operating areas)

เขตทำงานปลอดภัยของพาเวอร์มอสเฟตดูได้จากกราฟข้อมูลของพาเวอร์มอสเฟตซึ่งจะมีอยู่ 2 ตำแหน่ง คือ พื้นที่ทำงานปลอดภัยเมื่อไบอัสตรง (The forward biased safe operating area; FBSOA) และพื้นที่ทำงานปลอดภัยเมื่อมีการเปลี่ยนสภาวะ (The switching safe operating area; SSOA)

FBSOA

กราฟ FBSOA จะบอกถึงค่าสูงสุดของแรงดันและกระแสเดรนที่อุปกรณ์สามารถจะทนได้ ขณะที่ไบอัสตรงหรือขณะนำกระแส จะมีค่าจำกัดอยู่ 4 ค่าที่อยู่ในของเขตของกราฟ FBSOA เป็นค่าสูงสุดของพิกัดแรงดันเดรนซอร์ส ดังที่แสดงในขอบเขต A ตามรูปที่ 2.17

ถ้าเกินพิกัดถึงแม้จะเย็นชั่วขณะก็ตาม พาเวอร์มอสเฟตสามารถพังได้ ดังนั้นควรระมัดระวังการเกิดการทรานเซียน (transients) ที่แหล่งจ่ายแรงดันให้แก่เดรน ค่ากระแสเดรนสูงสุดที่สามารถยอมได้ภายในช่วงเวลาหรือเป็นพัลส์จะหาได้จากบริเวณที่สองของกราฟ FBSOA แทนด้วยเส้น D ข้อจำกัดจะเกิดจากขนาดของสายภายในของตัวพาเวอร์มอสเฟต ขนาดจุดต่อของซอร์ส, คุณสมบัติ (characteristics) และความต้านทานทางอุณหภูมิ ถึงแม้ว่าพาเวอร์มอสเฟตจะสามารถรับกระแสเกินที่เกิดจากการไม่สม่ำเสมอได้ แต่ไม่ควรที่จะทำให้นมันทำงานเกินพิกัดกระแสเดรนในขณะที่เป็นพัลส์ที่ยังรวมถึงกระแสที่มีลักษณะเป็นการรบกวนชั่วขณะด้วย



รูปที่ 2.17 กราฟแสดงพื้นที่ทำงานปลอดภัยเมื่อใช้พิกัดสูงสุดของการไบอัสตรง

ขอบเขตที่ 3 เส้น B จะถูกกำหนดโดยค่าความต้านทานเดรน-ซอร์สขณะวงจรถัด และขีดจำกัดกระแสที่แรงดันเดรน-ซอร์สขนาดต่ำ

ขอบเขตที่ 4 เส้น C จะขึ้นอยู่กับข้อจำกัดทางอุณหภูมิเนื่องจากการประกอบ ขีดจำกัดของกำลังของกราฟ FBSOA หาได้จากกราฟผลตอบสนองต่ออุณหภูมิ (thermal response) อุณหภูมิที่รอยต่อภายในตัวเพาเวอร์มอสเฟตสูงสุดที่จะรับได้ และค่าพิกัด $r_{\theta JC}$ สูงสุด การทำงานภายในกราฟจะทำให้ได้ค่าอุณหภูมิสูงสุดที่รอยต่อจะไม่เกิน 150°C

เมื่อความต้านทานทางอุณหภูมิชั่วขณะ (transient thermal resistance) ลดลงอย่างรวดเร็วในช่วงเวลาสั้นๆ จะทำให้ความสามารถที่จะรับกำลังสูงสุดได้เพิ่มกราฟตัวอย่างตามรูปที่ 2.18 ถ้ากำหนดให้เป็นพัลส์ 100 หนึ่งลูก จะได้ค่าความต้านทานทางอุณหภูมิ (effective thermal impedance) ของพัลส์ 100 หนึ่งลูก

$$\text{ค่าจำกัดความของความต้านทานทางอุณหภูมิ } R = (T_J - T_C) / P_D$$

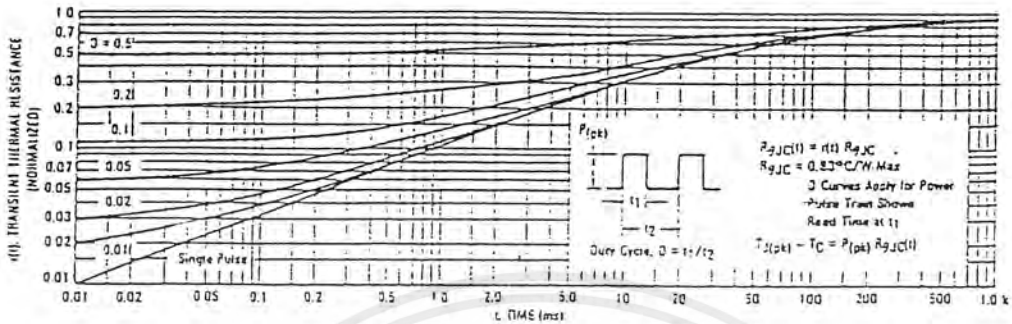
นำขนาดของพัลส์ $T_J = 150^{\circ}\text{C}$ และ $T_C = 25^{\circ}\text{C}$ มาเข้าสมการจะได้ $P_D = 4564$ วัตต์ ดังนั้นจะเห็นว่า MTM8N40 สามารถนำกระแส 23A ที่ความกว้างพัลส์ $100 \mu\text{s}$ โดยที่ $T_{J(\text{max})}$ ไม่เกิน 150°C

ปกติกราฟ FBSOA ที่หาได้จากข้อจำกัดของอุณหภูมิเนื่องจากตัวถัง ทำให้เรารู้ล่วงหน้าว่าสถานะต่างๆเป็นอย่างไร ถ้าเกิดแรงดันและกระแสสูงชั่วขณะที่ยาวเกิน 10 sec สถานะนี้สามารถเกิดทั้งลิเนียร์และสวิทช์ซึ่ง อย่างเช่น โหลดเกิดชอร์ต

ขีดจำกัดของอุณหภูมิสามารถจากขอบเขตของ SOA สำหรับเพาเวอร์มอสเฟตที่ใช้ในงานทางลิเนียร์ ค่า $T_{J(\text{max})}$ จะมีผลกระทบต่อพิกัดกระแสพัลส์เมื่อนำเอาเพาเวอร์มอสเฟตไปใช้ในงานสวิทช์จากการสังเกต พิกัดของแรงแสพเพาเวอร์มอสเฟตค่อนข้างเป็นการเรคคิไฟร์ ได้ดีกว่าไบโพลาร์ทรานซิสเตอร์ เพราะพิกัดกระแสสูงสุดไม่ได้ถูกจำกัดโดยค่าอัตราขยายแต่ถูกจำกัดด้วยอุณหภูมิดังนั้นค่า $r_{DS(\text{on})}$, การสูญเสียกำลังขณะปิดวงจร (on-state power dissipation), การสูญเสียสวิทช์ซึ่ง

เอกสารนี้เป็นเอกสารที่สงวนไว้สำหรับการใช้งานเพื่อการศึกษาเท่านั้น ไม่อนุญาตให้นำไปใช้ประโยชน์ด้านการค้าไม่ว่ากรณีใดๆ ทั้งสิ้น อีกทั้งห้ามมิให้ดัดแปลงเนื้อหาและต้องอ้างอิงถึงเจ้าของเอกสารทุกครั้งที่มีการนำไปใช้

(switching losses), ความกว้างพัลส์ (pulse width), ดิวตี้ ไซเคิล (duty cycle) และค่าความต้านทานทางอุณหภูมิต่างกันระหว่างรอยต่อกับตัวถัง จะมีผลต่อ T_j



รูปที่ 2.18 กราฟผลตอบสนองต่ออุณหภูมิของเบอร์ MTM8N40

การสูญเสียกำลังด้านสวิทซ์ซึ่งทั้งหมดเกิดจากการสูญเสียขณะเปิดวงจรที่ความถี่ต่ำ การสูญเสียสวิทซ์ซึ่งของเพาเวอร์มอสเฟตมีค่าน้อยมากสามารถตัดทิ้งไปได้ อย่างไรก็ตามเมื่อความถี่เพิ่มขึ้น ค่าสูญเสียสวิทซ์ซึ่งจะเริ่มมากขึ้นและมีผลทำให้ T_j เพิ่มขึ้น จุดที่แบ่งความถี่ต่ำและความถี่สูงจะขึ้นอยู่กับอิมพีแดนซ์ของวงจรขับเคลื่อน วงจรขับเคลื่อนที่มีอิมพีแดนซ์ต่ำจะมีค่าสูญเสียสวิทซ์ซึ่งค่อนข้างน้อย ความถี่ 50 กิโลเฮิร์ต

ในผลรวมของกำลังสูญเสีย (Total power dissipation) ค่าสูญเสียขณะเปิดวงจรเป็นค่าที่มากที่สุด และทำให้มีผลกระทบต่อความสามารถในการรับกระแสพัลส์สูงสุด การคำนวณค่ากำลังสูญเสียขณะเปิดวงจรต้องใช้กราฟของการเปลี่ยนแปลง $r_{DS(on)}$ ที่อุณหภูมิหนึ่งกระแส

ข้อจำกัดของการเปลี่ยนแรงดันเทียบกับเวลาในเพาเวอร์มอสเฟต (dv/dt Limitations in POWER MOSFET)

dv/dt ที่มีค่าสูง ๆ สามารถเกิดได้ 3 สถานะ สถานะแรกจะอยู่ในรูปของการเปลี่ยนแปลงแบบสแตติก (static dv/dt) เกิดขึ้นเมื่อเพาเวอร์มอสเฟตอยู่ในสถานะหยุดนำกระแส แรงดันชั่วขณะคร่อมเดรนซอร์ส และยังสามารถส่งผลกระทบต่อที่ขาเกตโดยผ่านเกต-เดรน ค่าความเก็บประจุแฝง (parasitic capacitance), C_{rss} จะขึ้นอยู่กับขนาดของอิมพีแดนซ์เกต-ซอร์ส และกระแสที่ไหลเข้าขาเกต ทำให้แรงดันเกตถึงซอร์สสูงกว่า $V_{GS(th)}$ ทำให้เกิดการนำกระแสขึ้นเองได้ การเกิด dv/dt ของเพาเวอร์มอสเฟตจะเกิดเมื่ออิมพีแดนซ์เกต-ซอร์สมีค่ามากๆ จึงไม่ควรเปิดวงจรที่ขาเกตถ้าอิมพีแดนซ์เกตถึงซอร์สมีค่าสูง และแรงดันชั่วขณะเกิดขึ้นระหว่างเดรนกับซอร์ส จะทำให้เพาเวอร์มอสเฟตทำงานผิดพลาด

เอกสารนี้เป็นเอกสารที่สงวนไว้สำหรับการใช้งานเพื่อการศึกษาเท่านั้น ไม่อนุญาตให้นำไปใช้ประโยชน์ด้านการค้า ไม่ว่าจะกรณีใดๆ ทั้งสิ้น อีกทั้งห้ามมิให้ดัดแปลงเนื้อหาและต้องอ้างอิงถึงเจ้าของเอกสารทุกครั้งที่มีการนำไปใช้

สภาวะที่สองเกิด dv/dt เมื่อเพาเวอร์มอสเฟตหยุดนำกระแสแล้วมีแรงดันย้อนกลับ (fly back) ซึ่งจะเกิดขึ้นเมื่อมีโหลดเป็นค่าความเหนี่ยวนำและความเร็วในการสวิตช์จึงสูง เพาเวอร์มอสเฟตจะได้รับกระแสตรงสูง ค่าแรงดันสูง V_{DS} และมีกระแสดเคลื่อนย้าย (displacement) ขนาดสูงภายในค่าความเก็บประจุแฝง ดังนั้นจะอยู่ในรูปของการเปลี่ยนแปลงแบบไดนามิก (dynamic dv/dt) เป็นผลทำให้เพาเวอร์มอสเฟตทำงานผิดพลาด

สภาวะที่สาม แรงดันตรงถึงซอร์สที่มีความชันสูงจะเกิดขึ้นเมื่อวงจรต่อแบบบริดจ์ ขณะที่ไดโอดที่คร่อมตรงและซอร์สนำกระแส

วงจรถับเกท

การจับเกทของเพาเวอร์มอสเฟตเปรียบเสมือนกับการจับค้ำรีแอคแตนซ์ของตัวเก็บประจุทางด้านอินพุท และจะมองเป็นค่าความเก็บประจุอินพุทซอร์สรวม (common source input capacitance, C_{iss}) หรือค่าความเก็บประจุเกตส่งผ่านกลับทางซอร์สรวม (common source reverse transfer capacitance, C_{rss}) ค่า C เป็นผลรวมของค่าของความเก็บประจุเกตถึงซอร์ส และค่าความเก็บประจุเกตถึงเดรน จากกราฟรูปที่ 2.19 จุดที่น่าสังเกตคือที่ V_{DS} น้อยกว่า 5 โวลท์กราฟจะชันมาก

ข้อพิจารณาที่ยู่ยากในการประมาณค่าเวลาในการสวิตช์ซึ่งมีอยู่ 2 ประการคือ ค่าความเก็บประจุทางด้านอินพุทจะเปลี่ยนแปลงตาม V_{DS} ค่าเวลาคงที่ (time constant) จะพิจารณาจากอิมพีแดนซ์ของวงจรถับเกทและ C_{iss} ดังนั้นการคำนวณเวลาไต่ขึ้น (rise time) ของแรงดันเกท จะใช้การกำหนดอิมพีแดนซ์ของวงจรถับเกทและการประมาณค่าความเก็บประจุทางด้านอินพุท ส่วนประการที่สองเป็นผลมาจากค่าความเก็บประจุ Miller (Miller capacitance), C_{rss} นั่นก็คือค่า C_{GD}

เมื่อเพาเวอร์มอสเฟตที่ใช้แรงดันสูงทำงาน จะได้ V_{DS} ค่อนข้างต่ำ และ V_{GS} มีค่าประมาณ 15 โวลท์ C_{GD} จะชาร์จแรงดันจนถึง $V_{GS} - V_{DS(on)}$ เมื่อหยุดการทำงานจะมีแรงดัน V_{DS} สูง ดังนั้น C_{GD} จะถูกชาร์จจากความต่างศักย์แตกต่าง แรงดันที่ C_{GD} จะมีค่าเป็นแรงดันลบค่าสูง เมื่อ V_{GS} ประมาณ 0 โวลท์

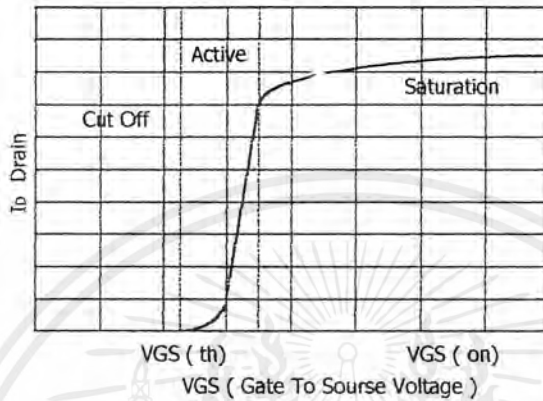
การประมาณค่าของความเร็วในการสวิตช์ซึ่งอย่างแน่นอน ทำได้โดยแบ่งกราฟของช่วงการสวิตช์ เป็น 3 ส่วน ตามรูปที่ 2.20

1. ในส่วนที่ 1 ตามรูปที่ 2.20 จาก t_0 ถึง t_1 เพาเวอร์มอสเฟตจะอยู่ในสภาวะหยุดทำงาน และ กระแสเดรนประมาณ 0 แอมป์ C_{iss} จะชาร์จแรงดันจนถึง $V_{GS(on)}$ อยู่ในส่วนที่ 1 และ 2 และที่ t_1 อุปรกรณ์จะเริ่มนำกระแส
2. ในส่วนที่ 2 ตั้งแต่ t_1 ถึง t_2 เพาเวอร์มอสเฟตจะเปลี่ยนสภาวะจากหยุดทำงานเป็นทำงาน กระแสเดรนจะถูกรักษาด้วย G_{FS} แรงดันเดรนจะตกจาก V_{DD} มาเป็น $V_{DS(on)}$ ถ้านำค่า C_{GD} คูณด้วยอัตราขยายแรงดันจะได้ค่าผลกระทบ Miller ชูคซ์จะจ่ายกระแสแก่ C_{GD} ตลอดส่วนที่ 2

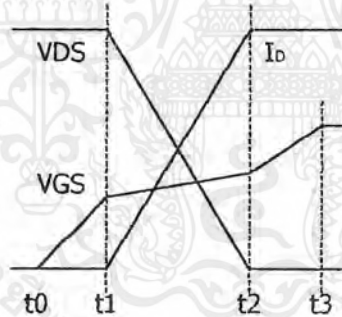
เอกสารนี้เป็นเอกสารที่สงวนไว้สำหรับการใช้งานเพื่อการศึกษาเท่านั้น ไม่อนุญาตให้นำไปใช้ประโยชน์ด้านการค้า ไม่ว่าจะกรณีใดๆ ทั้งสิ้น อีกทั้งห้ามมิให้ดัดแปลงเนื้อหาและต้องอ้างอิงถึงเจ้าของเอกสารทุกครั้งที่มีการนำไปใช้

3. ในส่วนที่ 3 ตั้งแต่ t_2 ถึง t_3 เพาเวอร์มอสเฟตอยู่ในสภาวะทำงาน อิมพีแดนซ์เดรนถึงซอร์สเปรียบเป็นค่าความต้านทาน C_{iss} จะซาร์จแรงดันจนถึง $V_{DS(on)}$ ทั้ง 3 ส่วน

ค่า C_{iss} และ C_{iss} สามารถดูได้จากข้อมูลเฉพาะแต่ละเบอร์ของเพาเวอร์มอสเฟต ในย่าน 1 และย่าน 2 จะใช้ค่า C_{iss} และ C_{iss} ที่ $V_{DS} = V_{DD} / 2$ ในย่าน 3 จะใช้ค่า C_{iss} ที่ $V_{DS} = V_{DS(on)}$



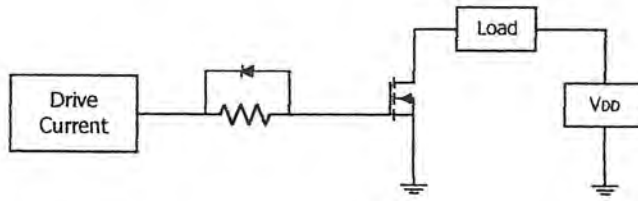
รูปที่ 2.19 กราฟฟังก์ชันการส่งผ่านในทางปฏิบัติของเพาเวอร์มอสเฟต



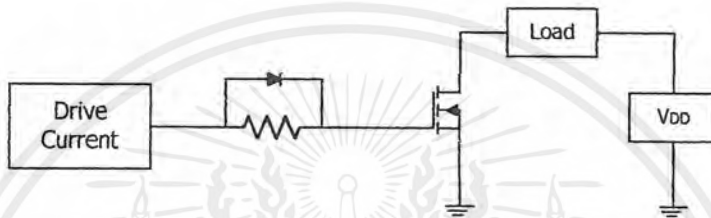
รูปที่ 2.20 รูปสัญญาณความต้านทานขณะนำกระแสในทางอุดมคติ

ความสัมพันธ์นี้ สมมติว่าไม่มีความต้านทานที่วงจรเกต การเพิ่มค่าความต้านทานจะทำให้เพิ่มเวลาในการสวิตช์ซึ่ง ถ้าต้องการเพิ่มเวลาในการเริ่มนำกระแส (turn on time) โดยไม่ให้กระทบกับเวลาในการเริ่มหยุดนำกระแส (turn off time) สามารถใช้วงจรตามรูปที่ 2.21

แต่ถ้าต้องการเพิ่มเวลาในการเริ่มหยุดนำกระแส (turn off time) โดยไม่ต้องการให้กระทบต่อเวลาในการเริ่มนำกระแส (turn on time) สามารถใช้วงจรตามรูปที่ 2.22



รูปที่ 2.21 แสดงการเพิ่มตัวต้านทานและไดโอดเพื่อปรับปรุงวงจร



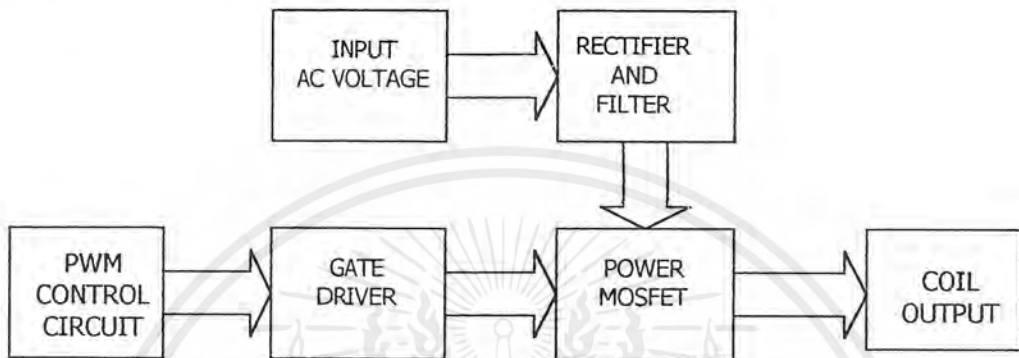
รูปที่ 2.22 แสดงการเพิ่มตัวต้านทานและไดโอดเพื่อปรับปรุงวงจร

เอกสารนี้เป็นเอกสารที่สงวนไว้สำหรับการใช้งานเพื่อการศึกษาเท่านั้น ไม่อนุญาตให้นำไปใช้ประโยชน์ด้านการค้า
ไม่ว่ากรณีใดๆ ทั้งสิ้น อีกทั้งห้ามมิให้ตัดแปลงเนื้อหาและต้องอ้างอิงถึงเจ้าของเอกสารทุกครั้งที่มีการนำไปใช้

บทที่ 3

โครงสร้างระบบและการออกกแบบวงจร

3.1 โครงสร้างของระบบ



รูปที่ 3.1 โครงสร้างของระบบ

อธิบายการทำงานส่วนต่างๆ ได้ดังนี้

1. Rectifier and filter เป็นส่วนที่หม้อแปลงไฟสลับให้เป็นไฟตรง และกรองแรงดันให้เรียบขึ้น
2. PWM Control circuit เป็นส่วนที่ควบคุมความถี่ของการทำงาน ควบคุมเดดไทม์ ควบคุมคิวดีไซเคิล และความกว้างของพัลส์ (PWM)
3. Gate driver เป็นส่วนที่ออกแบบสำหรับขับเกท โดยเฉพาะ เพื่อเป็นช่วยในการสวิตช์ของเพาเวอร์มอสเฟตให้มีความเร็วในการทำงาน (Switching speed) เร็วขึ้น
4. POWER MOSFET เป็นส่วนที่ทำการสวิตช์ตามจังหวะของพัลส์จากวงจรควบคุม เพื่อผ่านกระแสไปยังกระแสเอาท์พุท
5. Coil output เป็นส่วนที่ส่งผ่านพลังงานทั้งหมดไปยังชิ้นงานที่ต้องการ

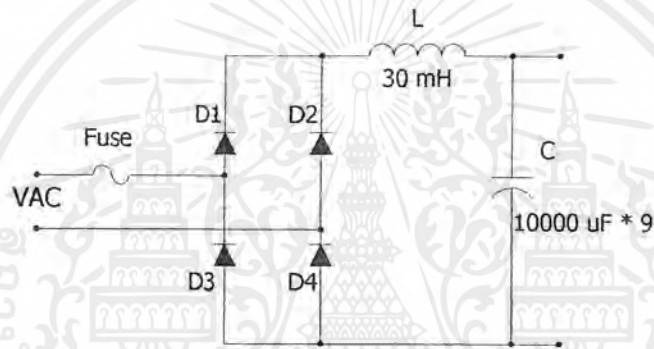
3.2 วงจรจ่ายไฟตรง (Rectifier and Filter)

หน้าที่ของวงจรส่วนนี้ก็คือรับพลังงาน โดยตรงจากไฟบ้านมาแปลงแรงดันไฟสลับที่มีความถี่ 50 เฮิร์ตเพื่อให้เป็นไฟตรงแล้วผ่านส่วนของวงจร L-C FILTER กรองแรงดันเพื่อกำจัดแรงดันกระเพื่อม (ripple) สำหรับวงจรในส่วนนี้ส่วนที่สำคัญที่สุดก็คือบริดจ์เรกติไฟเออร์ ซึ่งเวลาเลือกใช้จะต้องแน่ใจว่าสามารถทนกระแสขณะได้รับไบอัสตรงของค่ากระแสที่ใช้งานได้มีแรงดันเบรกควาน์

เอกสารนี้เป็นเอกสารที่สงวนไว้สำหรับการใช้งานเพื่อการศึกษาเท่านั้น ไม่อนุญาตให้นำไปใช้ประโยชน์ด้านการค้า ไม่ว่าจะกรณีใดๆ ทั้งสิ้น อีกทั้งห้ามมิให้ตัดแปลงเนื้อหาและต้องอ้างอิงถึงเจ้าของเอกสารทุกครั้งที่มีการนำไปใช้

(breakdown voltage) สูงและต้องทนต่อกระแสกระชากขณะเริ่มเดินใช้งานได้ สำหรับการเรกติไฟร์ใน ปริณยานิพนธ์นี้ได้เลือกใช้ในลักษณะของเพาเวอร์ไดโอด เนื่องจากจ่ายกำลังได้สูง โดยเฉพาะวง จรบริดจ์เรกติไฟร์ ดังในรูปที่ 3.2 เป็นตัวแปลงจากไฟสลับเป็นไฟตรงโดยนำไฟกระแสสลับเข้ามา เพื่อส่งผ่านส่วนของวงจรบริดจ์เรกติไฟร์แล้วส่งผ่านไปยังขดลวดเหนี่ยวนำ (L-Choke) ซึ่งจะเป็นตัว ช่วยในการสะสมพลังงานและป้องกันการกระชาก ตัวเก็บประจุ C เป็นตัวกรองแรงดันให้ได้ไฟตรงที่ เรียบขึ้นในลักษณะของ LC- FILTER

จากรูปที่ 3.2 ค่าของตัวเก็บประจุที่ใช้ทั้งสองตัวนี้มีค่าเท่ากันคือ 1,220 uF/ 330V ต่อขนานกัน เพื่อเป็นการเพิ่มความจุ จะได้ความจุประมาณ 1,320 uF เหตุผลที่สำคัญของการต่อขนานกับของตัว เก็บประจุนี้ก็เพื่อเป็นการ ลดค่าความต้านทานแฝง (ESR)ที่อยู่ภายในตัวเก็บประจุนี้ให้มิต่ำลง



รูปที่ 3.2 วงจรจ่ายไฟตรง

3.2.1 ไดโอดเรียงกระแส

1. ค่ากระแสกระชาก I_{ism} (Maximum Surge Current) กระแสกระชากสูงสุดที่ผ่านบริดจ์ ไดโอดขณะเปิดเครื่อง เมื่อตัวเก็บประจุฟิเตอร์ยังไม่มีประจุสะสมอยู่
2. ค่ากระแสเฉลี่ยขณะถูกไบอัสตรง I_m (Average Forward Current) ค่ากระแสเฉลี่ยที่ บริดจ์ไดโอดขณะทำงาน ควรมีการเผื่อค่าไว้ประมาณ 1.5 - 2 เท่าจากที่คำนวณได้ในวงจรเพื่อความ ปลดปล่อยและยืดอายุการใช้งาน
3. อัตราทนแรงดันไบอัสกลับสูงสุด V_m ของไดโอดจะต้องมีค่าไม่ต่ำกว่าค่าแรงดันยอดสูง สุดของแรงดันไฟสลับเพื่อป้องกันทรานเซียนท์ในไฟสลับ

3.2.2 ฟิวส์

ฟิวส์มีหน้าที่หลัก 2 ประการ คือ ป้องกันอุปกรณ์เสียหายเนื่องจากกระแสเกินและแยกออก จากแหล่งจ่ายไฟในกรณีเกิดการลัดวงจร โดยต้องพิจารณาพิทัดแรงดันและพิทัดกระแส

เอกสารนี้เป็นเอกสารที่สงวนไว้สำหรับการใช้งานเพื่อการศึกษาเท่านั้น ไม่อนุญาตให้นำไปใช้ประโยชน์ด้านการค้า ไม่ว่ากรณีใดๆ ทั้งสิ้น อีกทั้งห้ามมิให้ดัดแปลงเนื้อหาและต้องอ้างอิงถึงเจ้าของเอกสารทุกครั้งที่มีการนำไปใช้

3.2.3 ตัวเก็บประจุกรองแรงดันอินพุท

ตัวเก็บประจุฟิวดเตอร์จะเป็นตัวกรองแรงดันไฟตรงจากบริดจ์ให้เรียบมากขึ้นและช่วยให้กระแสมีค่าเพียงพอดตามที่ Inverter ต้องการ โดยลดแรงดันกระแสเฟือง ซึ่งอาศัยการชาร์จและคายประจุ ดังนั้นสามารถหาค่าของตัวเก็บประจุได้ดังนี้

$$C_{filter} = \frac{I_o t_{on(max)}}{V_r}$$

โดยที่ I_o คือค่ากระแสประสิทธิผลของวงจรเรียงกระแส

$t_{on(max)}$ คือช่วงเวลาที่ C คายประจุ

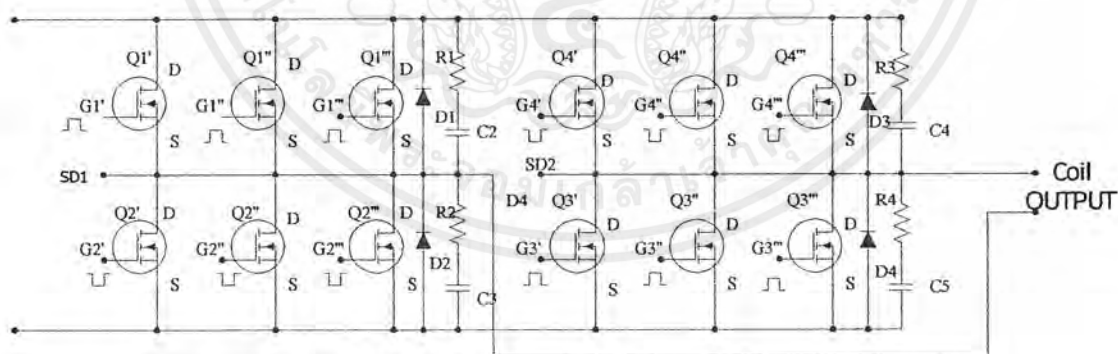
V_r คือค่ายอดถึงยอดของแรงดันกระแสเฟืองที่เอาท์พุทของวงจรเรียงกระแส

จากสมการพบว่า เมื่อ C มีค่ามากขึ้นทำให้แรงดันกระแสเฟืองน้อยลง ดังนั้นชนิดและขนาดของตัวเก็บประจุจึงมีผลต่อแรงดันกระแสเฟืองของแรงดันไฟตรงได้ โดยปรกติการออกแบบสวิตซิ่งเพาเวอร์ซัพพลายจะยอมให้วงจรเรียงกระแสมีค่าแรงดันกระแสเฟืองไม่เกิน 10 เปอร์เซ็นต์ของค่าแรงดันเอาท์พุท

3.3 Inverter

3.3.1 ลักษณะการทำงานของวงจร

ในโครงงานนี้ใช้อินเวอร์เตอร์แบบฟูลบริดจ์ในการแปลงแรงดันไฟตรงให้เป็นแรงดันไฟสลับความถี่สูงโดยอาศัยการสวิตซิ่งของเพาเวอร์มอสเฟต ดังแสดงในรูปที่ 3.3



Q1- Q4 = IRFP460
D1 - D4 = MUR3040 PT
C3 - C4 = 4700 nF
R1-R4 = 8

รูปที่ 3.3 แสดงวงจรอินเวอร์เตอร์

เอกสารนี้เป็นเอกสารที่สงวนไว้สำหรับการใช้งานเพื่อการศึกษาเท่านั้น ไม่อนุญาตให้นำไปใช้ประโยชน์ด้านการค้า ไม่ว่ากรณีใดๆ ทั้งสิ้น อีกทั้งห้ามมิให้ตัดแปลงเนื้อหาและต้องอ้างอิงถึงเจ้าของเอกสารทุกครั้งที่มีการนำไปใช้

จากรูปที่ 3.3 พบว่าการทำงานของวงจรจะเป็นดังนี้คือ เพาเวอร์มอสเฟตทั้ง 4 ตัว จะทำงาน โดยนำกระแสและหยุดนำกระแสสลับกันเป็นคู่ๆ ในแต่ละครึ่งคาบเวลา Q1 และ Q3 จะนำกระแสพร้อมกันในครึ่งคาบเวลาและเมื่อหยุดนำกระแสจะได้ Q2 และ Q4 นำกระแสพร้อมกันในครึ่งคาบเวลาที่เหลือ ซึ่งจะทำงานสลับกันอย่างนี้เรื่อยไป โดยได้แรงดันตกคร่อมขดไฟมาที่เท่ากับ $V_{in} - 2V_{ds(sat)}$ และแรงดันตกคร่อม Q1 กับ Q3 ขณะหยุดนำกระแสจะมีค่าเท่ากับ $V_{in} - V_{dsQ2(sat)}$ และ $V_{in} - V_{dsQ4(sat)}$ ตามลำดับ ส่วนแรงดันตกคร่อม Q2 และ Q4 ขณะหยุดนำกระแสมีค่าเท่ากับ $V_{in} - V_{dsQ1(sat)}$ และ $V_{in} - V_{dsQ3(sat)}$ ตามลำดับเช่นเดียวกัน ส่วน D1 ถึง D4 , C2 ถึง C5 และ R1 ถึง R4 เป็นวงจร snubber

3.3.2 วงจร snubber

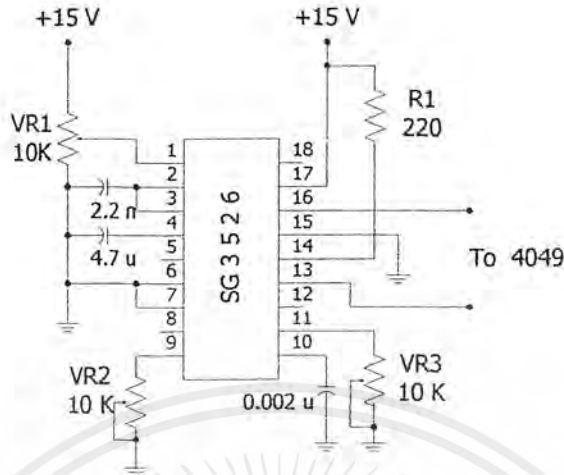
วงจร snubber (snubber network) เป็นส่วนที่เพิ่มเติมเข้ามาในคอนเวอร์เตอร์เพื่อลดการเกิดกำลังงานสูญเสียและป้องกันการเสียหายที่อาจเกิดขึ้นกับเพาเวอร์มอสเฟตในวงจรขณะทำงานปกติ วงจร snubber ในที่นี้อาจแบ่งได้เป็น 2 ลักษณะคือ วงจร snubber ช่วงหยุดนำกระแส (turn off snubber) และวงจร snubber ป้องกันแรงดันเกิน (clamp snubber) วงจร snubber โดยทั่วไปจะประกอบด้วยตัวต้านทาน ตัวเก็บประจุและไดโอด ในบางครั้งอาจเรียกว่า วงจร RCD snubber ซึ่งทำหน้าที่ในวงจรคือ

1. ป้องกันการเกิดแรงดันสไปค์ขณะที่มอสเฟตเริ่มหยุดนำกระแส เนื่องจากความเหนี่ยวนำขดไฟในหม้อแปลง โดยพลังงานที่สะสมอยู่ในตัวเหนี่ยวนำขดไฟนี้จะถูกถ่ายเทออกไปยังภาคอินพุตด้วยวงจร snubber จึงไม่เกิดแรงดันสไปค์เมื่อเพาเวอร์มอสเฟตเริ่มหยุดนำกระแส

2. ในขณะที่เพาเวอร์มอสเฟต Q1 และ Q3 เริ่มหยุดนำกระแส ขดลวดไฟมาที่ N_p จะมีการกลับขั้วแรงดันขึ้น ถ้าไม่มี snubber Q2 กับ Q4 จะได้รับแรงดันตกคร่อมที่ V_{ds} เป็นลบ ในขณะที่ Q1 กับ Q3 ก็จะมีแรงดันตกคร่อมมากกว่า V_{in} ในกรณีนี้ไดโอดจะอยู่ในลักษณะไบอัสตรงจากแรงดันของขดไฟมาที่และลดแรงดันค่านี้อลงไปเพื่อป้องกันเพาเวอร์มอสเฟต

3.4 วงจรควบคุม (CONTROL CIRCUIT)

ในปัจจุบันได้มีการผลิตไอซีใช้ในลักษณะของ PWM หลายเบอร์ แต่ละเบอร์ก็มีหลักการทำงานคล้ายๆกัน ดังเช่นในปริณญาณิพนธ์นี้ได้เลือกเบอร์ SG 3526 เป็นส่วนของการควบคุมเพราะมีขาควบคุมในการป้อนกลับให้ประยุกต์ใช้งานได้หลายประเภท ดังนั้นจึงจะขอกว่าเฉพาะรายละเอียดของไอซีเบอร์ SG 3526 นี้เท่านั้น ซึ่งข้อมูลต่างๆดูที่ภาคผนวก



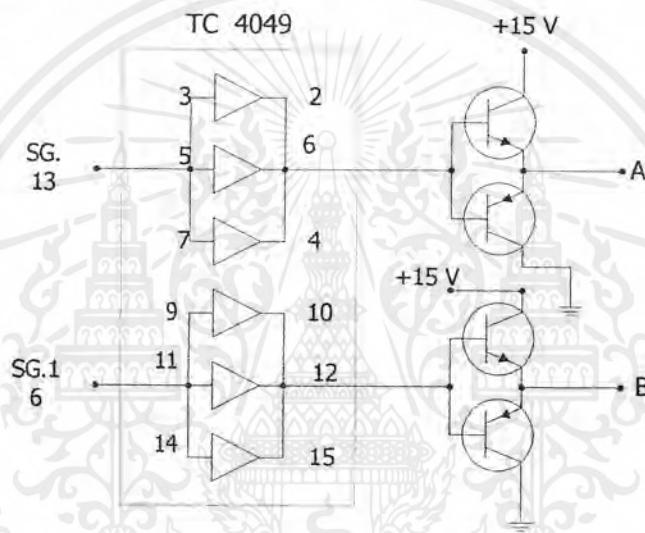
รูปที่ 3.4 วงจรควบคุมของ SG 3526

SG3526 เป็นวงจรรวมไอซีที่ใช้ควบคุม PWM แบบความถี่คงที่ และมีโครงสร้างที่ไดรวรรวม ส่วนที่จำเป็นสำหรับการควบคุมสวิตช์ ภายในตัวของ SG3526 นี้มีส่วนของการสร้างออสซิลเลเตอร์ที่ขา 9 และขา 10 ซึ่งสามารถสร้างได้จากอุปกรณ์ภายนอก คือ R_T (VR3) และ C_T (0.002 μ) ตามลำดับ ซึ่งวงจรมีใช้ความถี่ประมาณ 100 KHz

ขา 1,2 เป็น Error โดยการนำค่าแรงดันเข้ามาควบคุมซึ่งเรา คงที่ไว้ค่าหนึ่ง ซึ่งจะให้ค่าเดดไทม์คงที่ หรือปรับความกว้างของวงจรรพัลส์ ส่วนขา 2 จะต่อ ค่า C ลงกราวด์เอาไว้ ขา 3 เป็นขาที่ใช้สำหรับชดเชยกับวงจรถ่ายในกรณีเปิดลูป โดยต่อ C ลงกราวด์เอาไว้ ขา 4 เป็นขาที่ใช้สำหรับต่อตัวเก็บประจุเพื่อหน่วงเวลาในการเริ่มนำกระแสของมอเตอร์เพื่อให้ได้การทำงานในลักษณะ Soft Start ขา 5 เป็นขาเรซีต ขา 6,7 เป็น Current Sense ซึ่งในวงจรไม่มีการป้อนกลับ เราจึงต่อลงกราวด์เอาไว้ ขา 8 เป็นขาสำหรับการชดเชยจากภายนอก ขา 12 เป็นขาสัญญาณที่ออกจากวงจรกำเนิดสัญญาณต่อมายังภายนอก เพื่อนำไปใช้กับวงจรอื่นที่มีสัญญาณคาบเวลาการทำงานเดียวกัน ขา 13,16 เป็นขาเอาต์พุต A และ B ขา 14 เป็นไฟเลี้ยงวงจร ขา 15 เป็นกราวด์ ขา 17 เป็นขาที่รับแรงดันไฟเลี้ยงจากภายนอกมาทำการเลี้ยงวงจรภายในไอซี โดยผ่านวงจรสร้างค่าแรงดันอ้างอิง (5 โวลต์) ก่อนเพื่อให้งานเต็มที ขา 18 เป็นขาเอาต์พุตของวงจรกำเนิดแรงดันอ้างอิงภายใน ไอซี เพื่อที่จะนำแรงดันอ้างอิงนี้ไปใช้กับวงจรภายนอกเพื่อให้มีค่าแรงดันอ้างอิงค่าเดียวกัน

3.4.1 วงจรขับเกท

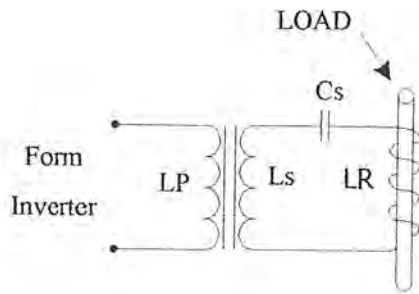
วงจรขับจะประกอบด้วย IC Buffer เบอร์ TC 4049 ซึ่งมี 8 ตัวประกอบในตัวเดียวกันซึ่งขา 3,5,7 ต่ออยู่กับขา 13 ของ SG 3526 และขา 9,10,14 ต่อกับขา 16 ของ SG3526 ส่วน ขา 2,4,6 ค่อกับขาเบสทรานซิสเตอร์ NPN และ PNP ซึ่งใช้เบอร์ TIP 31 และ TIP 32 ตามลำดับ ต่อกับแบบคอมพิเมนทารี (Complementary) ชุดที่ 1 คือ Q1 , Q2 และขา 10,12,15 ต่อกับขาเบสของทรานซิสเตอร์ Q3,Q4 โดยเอาที่พู่ทของวงจรคอมพิเมนทารีทั้งสองจะต่อผ่านขดลวดปฐมภูมิของหม้อแปลงพัลส์เพื่อที่จะส่งพลังงานไปยังขดทุติยภูมิ นำไปขับเกทของเพาเวอร์มอสเฟต โดยจะมีค่าความต้านทาน และ ซีเนอร์ไดโอด (Zener Diode) เป็นตัวรักษาระดับแรงดันให้คงที่ เพื่อต่อเข้ากับเกทของมอสเฟต



รูปที่ 3.5 วงจรขับเกท

3.5 วงจรโหลด (Load Circuit)

วงจร โหลด เป็นวงจรที่ต่อมาจากภาคอินเวอร์เตอร์ ตามรูปที่ 3.6 ซึ่งประกอบไปด้วย หม้อแปลงความถี่สูงที่ใช้สำหรับส่งถ่ายพลังงาน ไปยัง Coil Output เพื่อให้เกิดความร้อนที่ชิ้นงาน โดยแกนที่เราใช้คือแกนเฟอร์ไรท์ และที่ต่อจากหม้อแปลงนั้นเราต่อค่าตัวเก็บประจุเอาไว้ด้วย เพื่อให้ได้วงจรรีโซแนนท์ เพื่อที่จะให้ได้กระแสสูงสุดในการใช้งาน ซึ่งค่าตัวเก็บประจุที่ใช้นั้นจะต้องเป็นตัวเก็บประจุที่สามารถทนกระแสได้สูง ดังนั้นเราจึงต้องนำ ค่าตัวเก็บประจุมาทำการชานกัน



รูปที่ 3.6 วงจรโหลด

3.5.1 การออกแบบหม้อแปลงความถี่สูง

การออกแบบหม้อแปลงความถี่สูงสำหรับ Induction Heating ที่ต้องการค่ากระแสเอาต์พุต 250 แอมป์ กระแสอินพุต 10 แอมป์และใช้แกนเฟอร์ไรท์แบบยูคอร์ (U-Core) 60 ที่ทำจากสารเฟอร์ไรท์ชนิด 3C8 มีพื้นที่หน้าตัดแกนเท่ากับ 0.7854 ตารางเซนติเมตร และมีค่าความหนาแน่นสนามแม่เหล็กไฟฟ้าที่จุดอิ่มตัวประมาณ 3300 เกาส์ ที่อุณหภูมิ 100 องศาเซลเซียส แต่ในการใช้งานจะอยู่ในช่วงอุณหภูมิปกติซึ่งจะมีค่าความหนาแน่นสนามแม่เหล็กไฟฟ้าจุดอิ่มตัว ประมาณ 3000 เกาส์ คำนวณหาจำนวนรอบของขดปฐมภูมิโดยใช้สมการ

$$N_S V_P = N_P V_S$$

และ

$$N_S I_S = N_P I_P$$

โดยที่ N_P คือจำนวนรอบของขดปฐมภูมิ

V_P คือ ค่าแรงดันตกคร่อมขดลวด

I_S คือ กระแสทางทุติยภูมิ

I_P คือ กระแสทางอินพุต

แทนค่า

$$1 * 250 = N_P * 10$$

$$N_P = 25 \text{ รอบ}$$

คำนวณหาขนาดของเส้นลวดทองแดงที่จะนำมาพันแกนหม้อแปลงได้จากสูตร

เอกสารนี้เป็นเอกสารที่สงวนไว้สำหรับการใช้งานเพื่อการศึกษาเท่านั้น ไม่อนุญาตให้นำไปใช้ประโยชน์ด้านการค้าไม่ว่ากรณีใดๆ ทั้งสิ้น อีกทั้งห้ามมิให้ตัดแปลงเนื้อหาและต้องอ้างอิงถึงเจ้าของเอกสารทุกครั้งที่มีการนำไปใช้

$$D = \frac{1.47 * f * B * A_c * A_e}{P_{out} * 1,000}$$

D คือ ค่าที่เปรียบเทียบเท่ากับค่า 1000 เซอร์คูลาร์-มิลล์ ต่อ แอมป์

f คือ ค่าความถี่

A_c คือ พื้นที่หน้าตัดของแกนเหล็ก

แทนค่า

$$D = \frac{1.47 * 100,000 * 3,000 * 0.784 * 4 * 19.427}{155.54 * 10 * 1,000}$$

$$= 1,5273$$

จากค่า D ที่คำนวณตรงกับขนาดประมาณลวดเบอร์ 8 AWG

AWG	Diameter over insulation (inches)		Nominal circular mil area	Resistance per 1000 ft	Current capacity in milliamperes	
	Min	Max			bases on 1000 c.m/A	AWG
8	0.130	0.133	16510	0.6281	16510	8
9	0.116	0.119	13090	0.7925	13090	9
10	0.104	0.106	10380	0.9985	10380	10
11	0.0928	0.0948	8230	1.261	8226	11
12	0.0829	0.0847	6530	1.588	6529	12
13	0.0741	0.0757	5180	2.001	5184	13
14	0.0667	0.0682	4110	2.524	4109	14
15	0.0595	0.0609	3260	3.181	3260	15
16	0.0532	0.0545	2580	4.020	2581	16
17	0.0476	0.0488	2050	5.054	2052	17
18	0.0425	0.0437	1620	6.386	1624	18
19	0.0380	0.0391	1290	8.046	1289	19
20	0.0340	0.0351	1020	10.13	1024	20

ตารางที่ 3.1 แสดงข้อมูลของขดลวดทองแดงที่ใช้พันหม้อแปลง

เอกสารนี้เป็นเอกสารที่สงวนไว้สำหรับการใช้งานเพื่อการศึกษาเท่านั้น ไม่อนุญาตให้นำไปใช้ประโยชน์ด้านการค้า ไม่ว่าจะกรณีใดๆ ทั้งสิ้น อีกทั้งห้ามมิให้ตัดแปลงเนื้อหาและต้องอ้างอิงถึงเจ้าของเอกสารทุกครั้งที่มีการนำไปใช้

และจากการทดลอง กระแสที่ไหลผ่านขดลวดนั้นมีค่ามากและเนื่องจากความถี่สูงกระแสจะไหลที่ผิว ส่งผลให้เกิดความร้อนและส่งผลไปยังแกนเฟอร์ไรท์ด้วย ฉะนั้นจึงต้องเอาขดลวดนั้นมาตีเกลียวเพื่อให้ทนกระแสได้มากขึ้น โดยที่ขดลวดปฐมภูมิตีเกลียวไว้ที่ 25 เส้น ส่วนค้ำานทุติยภูมินั้นตีเกลียวไว้ที่ 200 เส้น

3.5.2 ค่าความถี่รีโซแนนซ์ (f_0)

$$f_0 = \frac{1}{2\pi\sqrt{L R C_S}}$$

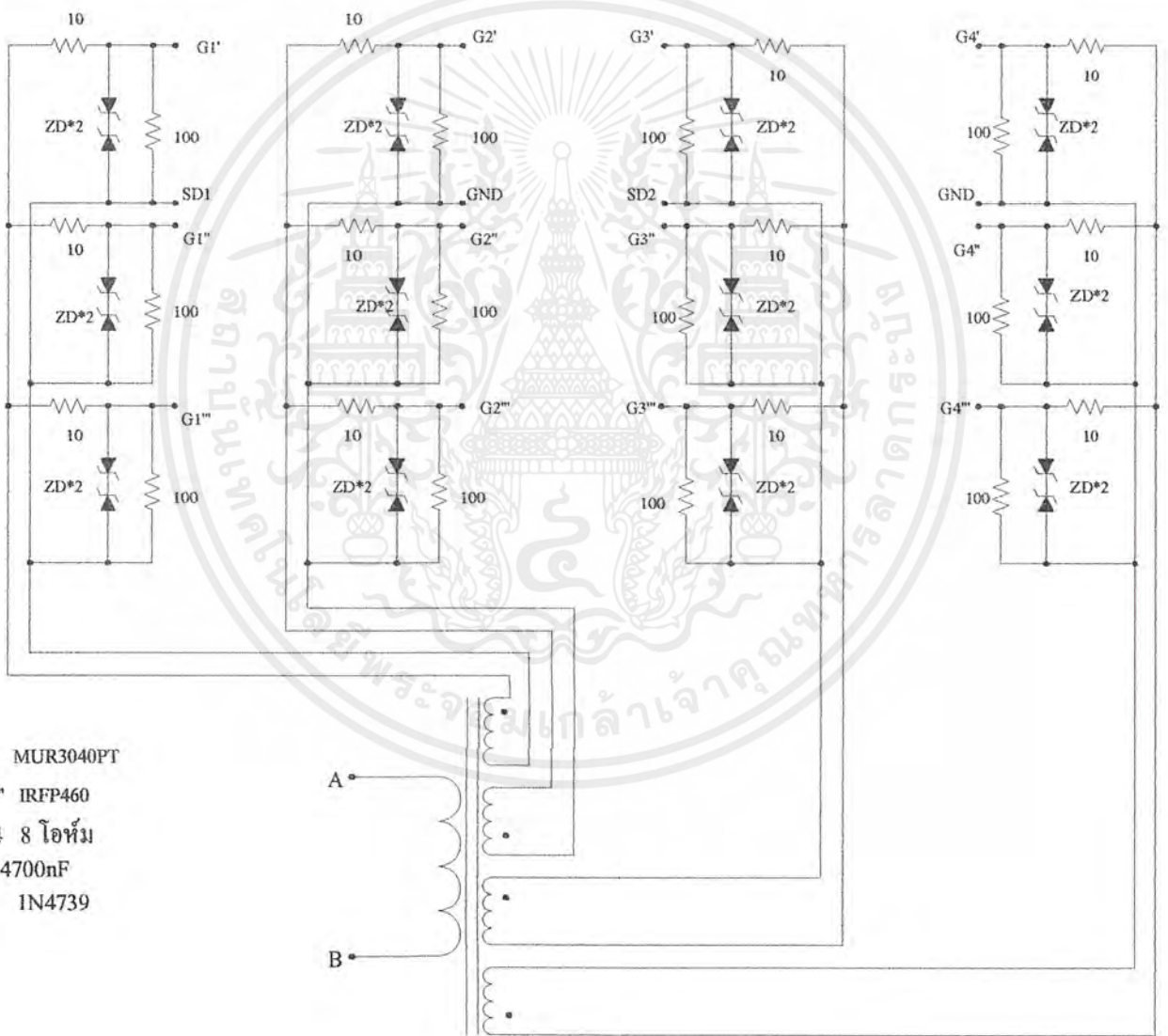
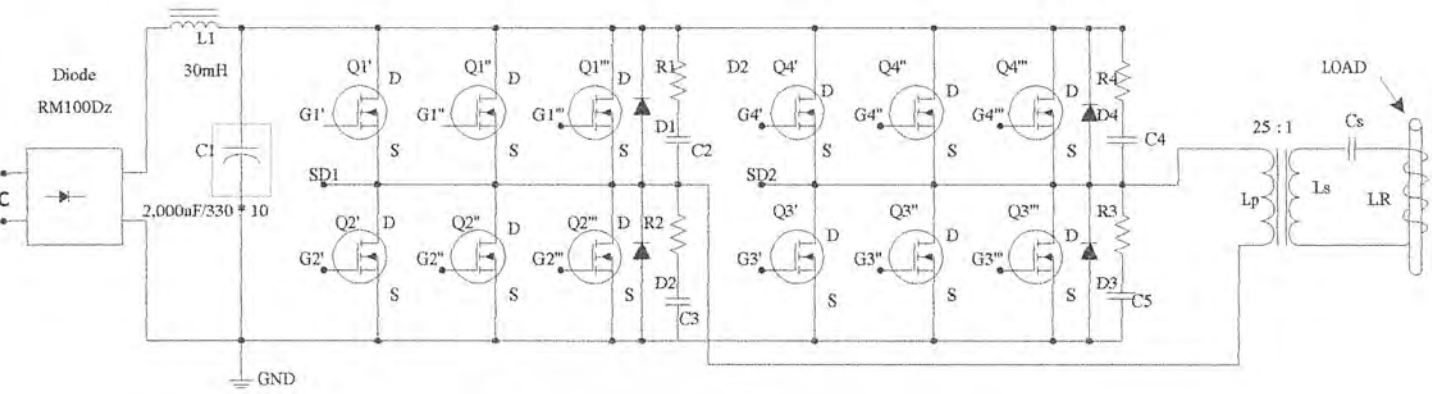
โดย

f_0 = ความถี่ที่สภาวะรีโซแนนซ์

L_R = ค่าความเหนี่ยวนำที่ขดลวด มีค่าเท่ากับ 1.3 μH

C_S = ตัวเก็บประจุมีค่าเท่ากับ 3.24 μF

ในการปรับค่าความถี่รีโซแนนซ์ จะทำการปรับความถี่ไว้ที่ต่ำกว่าจุดรีโซแนนซ์ เพื่อในการใส่โหลดหรือชิ้นงานนั้นทำงานที่จุดรีโซแนนซ์ คือ กระแส มีค่าสูงสุด และเวลา ไม่มีโหลดกระแสที่ไหลในวงจรนั้นมีค่าต่ำ



- D1-D4 MUR3040PT
- Q1'-Q4''' IRFP460
- R1-R4 8 โอห์ม
- C2-C5 4700nF
- ZD 1N4739

รูปที่ 3.8 วงจร Power Output

เอกสารนี้เป็นเอกสารที่สงวนไว้สำหรับการใช้งานเพื่อการศึกษาเท่านั้น ไม่อนุญาตให้นำไปใช้ประโยชน์ด้านการค้า ไม่ว่าจะกรณีใดๆ ทั้งสิ้น อีกทั้งห้ามมิให้ตัดแปลงเนื้อหาและต้องอ้างอิงถึงเจ้าของเอกสารทุกครั้งที่มีการนำไปใช้

บทที่ 4

การทดลองและผลการทดลองเครื่องเหนี่ยวนำความร้อน

4.1 ขั้นตอนการทดลอง

ขั้นตอนการทดลองต่างๆมีดังต่อไปนี้

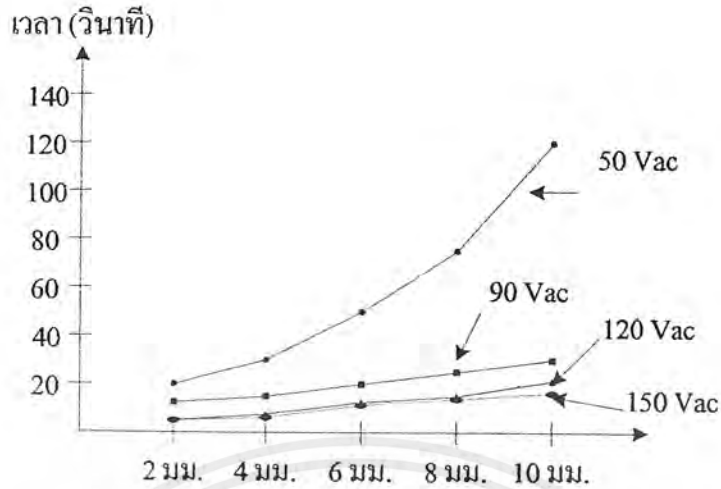
1. ปรับความถี่จากภาคออสซิลเลเตอร์ไว้ที่ประมาณ 70 กิโลเฮิรต์
2. ปรับเคดไทม์ไว้คงที่ ประมาณ 10 เปอร์เซ็นต์
3. วัดสัญญาณที่ภาคคอนโทรล (ขา 10,13,16 Buffer 4049 จุด A,B และหลังหม้อแปลงพัลส์)
4. ป้อนไฟสลับที่อินพุท 50 โวลท์
5. นำชิ้นงานใส่ในคอยล์ ซึ่งมีขนาดต่างๆกัน
6. ทำการจับเวลาจนชิ้นงานร้อนแดง (ประมาณ $740 - 780^{\circ}\text{C}$)
7. บันทึกผลการทดลองที่ได้
8. ป้อนไฟสลับที่อินพุท 90 โวลท์
9. ทำซ้ำข้อ 5 ถึงข้อ 7
10. ป้อนไฟสลับที่อินพุท 120 โวลท์
11. ทำซ้ำข้อ 5 ถึงข้อ 7
12. ป้อนไฟสลับที่อินพุท 150 โวลท์
13. ทำซ้ำข้อ 5 ถึงข้อ 7

ผลการทดลอง

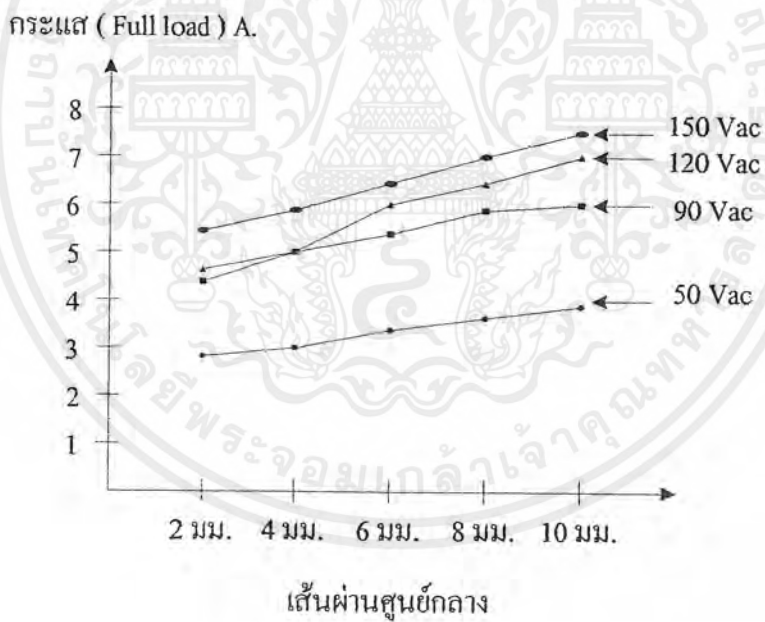
Vin (Vac)	จุดที่วัด	ขนาดเหล็ก (จินงาน)				
		$\phi = 2$ มม.	$\phi = 4$ มม.	$\phi = 6$ มม.	$\phi = 8$ มม.	$\phi = 10$ มม.
50 V.	Iin(no load)	2 A.	2 A.	2 A.	2 A.	2 A.
	Iin (full load)	2.8 A.	3A.	3.4 A.	3.6 A.	3.8 A.
	V _L (no load)	25 V _{PP}	25 V _{PP}	25 V _{PP}	25 V _{PP}	25 V _{PP}
	V _L (full load)	28 V _{PP}	28 V _{PP}	31 V _{PP}	32 V _{PP}	34 V _{PP}
	ใช้เวลา	20 Sec	30 Sec	50 Sec	75 Sec	120 Sec
90 V.	Iin(no load)	3.2 A.	3.2 A.	3.2 A.	3.2 A.	3.2 A.
	Iin (full load)	4.4 A.	5A.	5.4 A.	5.8 A.	6 A.
	V _L (no load)	42 V _{PP}	42 V _{PP}	42 V _{PP}	42 V _{PP}	42 V _{PP}
	V _L (full load)	48 V _{PP}	50 V _{PP}	51 V _{PP}	52 V _{PP}	55 V _{PP}
	ใช้เวลา	12 Sec	15 Sec	20 Sec	25 Sec	30 Sec
120 V.	Iin(no load)	3.6 A	3.6 A	3.6 A	3.6 A	3.6 A
	Iin (full load)	4.6 A	5 A	6 A	6.4 A	7 A
	V _L (no load)	50 V _{PP}	50 V _{PP}	50 V _{PP}	50 V _{PP}	50 V _{PP}
	V _L (full load)	62 V _{PP}	64 V _{PP}	66 V _{PP}	68 V _{PP}	70 V _{PP}
	ใช้เวลา	5 Sec	8 Sec	12 Sec	16 Sec	21 Sec
150 V.	Iin(no load)	4 A	4 A	4 A	4 A	4 A
	Iin (full load)	5.4 A	5.8 A	6.4 A	7 A	7.5 A
	V _L (no load)	60 V _{PP}	60 V _{PP}	60 V _{PP}	60 V _{PP}	60 V _{PP}
	V _L (full load)	62 V _{PP}	64 V _{PP}	66 V _{PP}	68 V _{PP}	70 V _{PP}
	ใช้เวลา	5 Sec	7 Sec	11 Sec	15 Sec	17 Sec

ตารางที่ 4.1 ผลการทดลอง

เอกสารนี้เป็นเอกสารที่สงวนไว้สำหรับการใช้งานเพื่อการศึกษาเท่านั้น ไม่อนุญาตให้นำไปใช้ประโยชน์ด้านการค้า
ไม่ว่ากรณีใดๆ ทั้งสิ้น อีกทั้งห้ามมิให้ตัดแปลงเนื้อหาและต้องอ้างอิงถึงเจ้าของเอกสารทุกครั้งที่มีการนำไปใช้

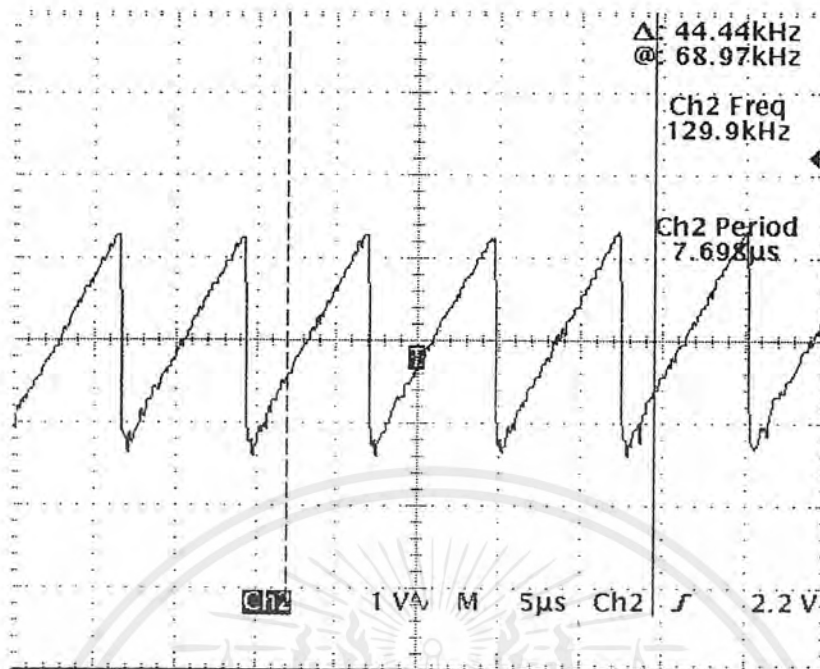


รูปที่ 4.1 กราฟแสดงขนาดของชิ้นงานและเวลาที่ทำให้ชิ้นงานร้อนแดงที่ V_{in} ค่าต่างๆ

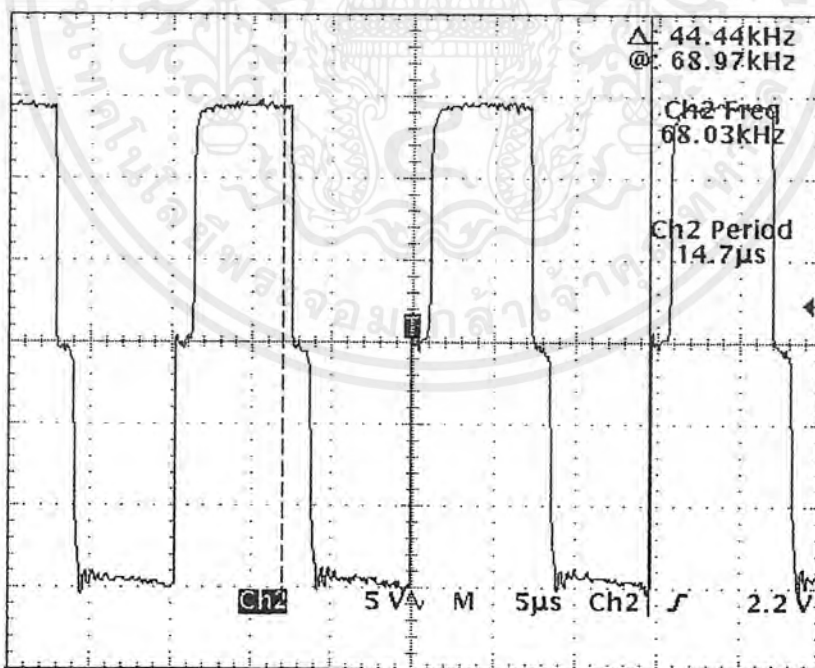


รูปที่ 4.2 กราฟแสดงขนาดของชิ้นงานและกระแสด (Full load)
ที่ทำให้ชิ้นงานร้อนแดงที่ V_{in} ค่าต่างๆ

เอกสารนี้เป็นเอกสารที่สงวนไว้สำหรับการใช้งานเพื่อการศึกษาเท่านั้น ไม่อนุญาตให้นำไปใช้ประโยชน์ด้านการค้า
ไม่ว่ากรณีใดๆ ทั้งสิ้น อีกทั้งห้ามมิให้ตัดแปลงเนื้อหาและต้องอ้างอิงถึงเจ้าของเอกสารทุกครั้งที่มีการนำไปใช้

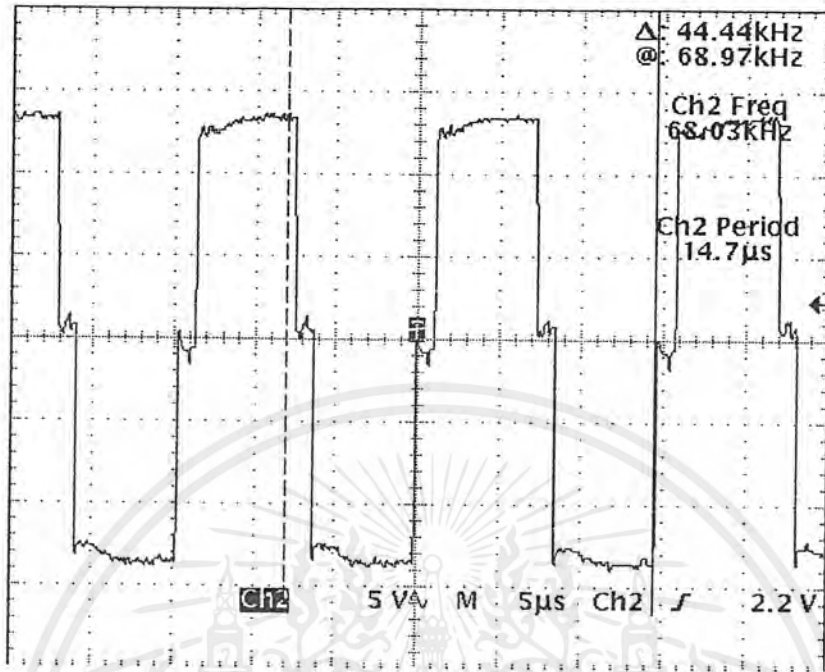


รูปที่ 4.3 สัญญาณพัลส์ที่ขา 10 ของ SG 3526

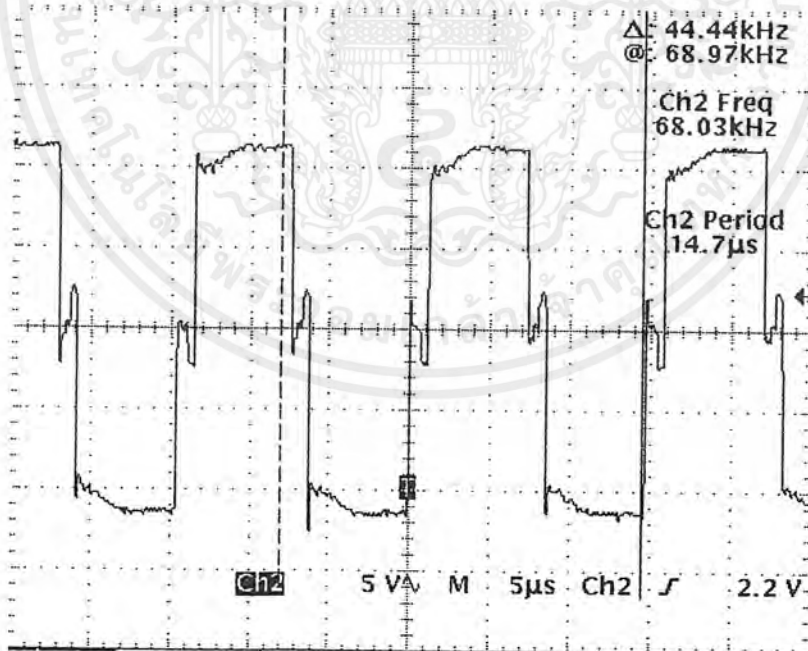


รูปที่ 4.4 สัญญาณพัลส์ที่ขา 13,16 ของ SG 3526

เอกสารนี้เป็นเอกสารที่สงวนไว้สำหรับการใช้งานเพื่อการศึกษาเท่านั้น ไม่อนุญาตให้นำไปใช้ประโยชน์ด้านการค้า ไม่ว่ากรณีใดๆ ทั้งสิ้น อีกทั้งห้ามมิให้ดัดแปลงเนื้อหาและต้องอ้างอิงถึงเจ้าของเอกสารทุกครั้งที่มีการนำไปใช้

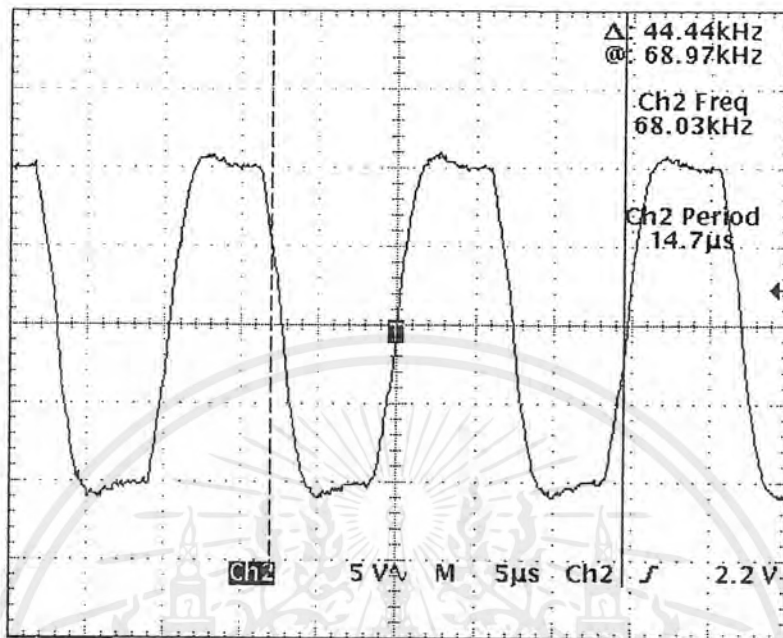


รูปที่ 4.5 สัญญาณพัลส์ที่ขา 2 ,10 ของ IC 4049
















รูปที่ 4.6 สัญญาณพัลส์ที่จุด A , B

เอกสารนี้เป็นเอกสารที่สงวนไว้สำหรับการใช้งานเพื่อการศึกษาเท่านั้น ไม่อนุญาตให้นำไปใช้ประโยชน์ด้านการค้า ไม่ว่าจะกรณีใดๆ ทั้งสิ้น อีกทั้งห้ามมิให้ดัดแปลงเนื้อหาและต้องอ้างอิงถึงเจ้าของเอกสารทุกครั้งที่มีการนำไปใช้



รูปที่ 4.7 สัญญาณพัลส์ที่หลังหม้อแปลงพัลส์

เอกสารนี้เป็นเอกสารที่สงวนไว้สำหรับการใช้งานเพื่อการศึกษาเท่านั้น ไม่อนุญาตให้นำไปใช้ประโยชน์ด้านการค้า ไม่ว่ากรณีใดๆ ทั้งสิ้น อีกทั้งห้ามมิให้ตัดแปลงเนื้อหาและต้องอ้างอิงถึงเจ้าของเอกสารทุกครั้งที่มีการนำไปใช้

Annealing colours		Temperature
Dark Brown		550 c
Brownish Red		630 c
Dark Red		680 c
Dark Cherry Red		740 c
Cherry Red		780 c
Light Cherry Red		810 c
Light Red		850 c
Very Light Red		900 c
Yellowish Red		950 c
Light Yellowish Red		1000 c
Yellow		1100 c
Light Yellow		1200 c
Yellow White		1300 c

รูปที่ 4.8 รูปเปรียบเทียบที่อุณหภูมิต่าง ๆ

เอกสารนี้เป็นเอกสารที่สงวนไว้สำหรับการใช้งานเพื่อการศึกษาเท่านั้น ไม่อนุญาตให้นำไปใช้ประโยชน์ด้านการค้า ไม่ว่ากรณีใดๆ ทั้งสิ้น อีกทั้งห้ามมิให้ตัดแปลงเนื้อหาและต้องอ้างอิงถึงเจ้าของเอกสารทุกครั้งที่มีการนำไปใช้

บทที่ 5

สรุปและวิจารณ์ผลการทดลอง

5.1 สรุปผลการทดลอง

จากผลการทดลองที่ผ่านมา จะกำหนดค่า L หรือ C ขึ้นมาเพื่อให้ได้ค่าความถี่เรโซแนนซ์ (Resonant Frequency) ที่ประมาณ 70 กิโลเฮิร์ต ซึ่งก็คือ การทำให้กระแสมีค่าสูงสุด ดังนั้นจึงทำให้กำลังงานเกิดขึ้นสูงสุด ซึ่งจะได้กำลังงานที่ 1.5 กิโลวัตต์ตามเป้าหมายที่ตั้งไว้

จากกราฟรูปที่ 4.1 เมื่อแรงดันอินพุต (V_{ac}) มีค่าน้อยและโหลดมีค่าเปลี่ยนไป คือ ที่ขนาดชิ้นงานมีขนาดเล็กเวลาที่ใช้ในการทำให้หลอดร้อนแดงก็จะมีค่าต่ำ แต่ถ้าขนาดของชิ้นงานนั้นมีขนาดใหญ่เวลาที่ใช้ในการทำให้หลอดร้อนแดงนั้นก็จะมีค่ามากขึ้น แต่ถ้าแรงดันอินพุต (V_{ac}) นั้นมีค่าสูงและโหลดมีค่าเปลี่ยนไป คือ ที่ขนาดชิ้นงานมีขนาดเล็กเวลาที่ทำการทำให้หลอดร้อนแดงก็จะมีค่าน้อย ซึ่งจะมีค่าน้อยกว่าที่ค่าแรงดันอินพุตค่า แต่ถ้าขนาดของชิ้นงานใหญ่ขึ้นเวลาที่ใช้ในการทำให้หลอดร้อนแดงนั้นก็จะมีค่ามากขึ้น แต่เวลาที่ใช้นั้นก็จะมีค่าน้อยกว่าที่แรงดันอินพุตค่า

จากกราฟรูปที่ 4.2 ที่แรงดันไฟสลับอินพุต (V_{ac}) มีค่าค่ากระแส (I_{in} Full load) จะมีค่าเปลี่ยนแปลง ซึ่งขึ้นอยู่กับขนาดของชิ้นงาน คือ เมื่อขนาดของชิ้นงานมีขนาดเล็กค่ากระแสที่ได้นั้นก็จะมีค่าต่ำ แต่เมื่อขนาดของชิ้นงานมีขนาดใหญ่ค่ากระแสที่ได้นั้นจะมีค่ามากขึ้น ถ้าแรงดันอินพุต (V_{ac}) นั้นมีค่าเพิ่มมากขึ้น ค่ากระแสที่ได้นั้นจะมีค่าเพิ่มมากขึ้นกว่าที่แรงดันอินพุตค่า ดังนั้นที่ชิ้นงานมีขนาดเล็กค่ากระแสที่ได้นั้นจะมีค่าน้อยกว่าชิ้นงานที่มีขนาดใหญ่กว่า

ที่แรงดัน V_L (no load) นั้นจะมีค่าน้อยกว่าที่แรงดัน V_L (full load) และที่โหลดหรือชิ้นงานมีขนาดเล็กค่าแรงดัน V_L (full load) นั้นจะมีค่าต่ำกว่าชิ้นงานที่มีขนาดใหญ่กว่า

จะเห็นว่าที่โหลดหรือชิ้นงานที่มีขนาดใหญ่ค่ากระแส (I_{in} full load) และแรงดัน V_L (full load) นั้นจะมีค่ามากกว่าขนาดของชิ้นงานที่มีขนาดเล็ก ทั้งนี้เนื่องจากว่าเราทำการจูน (Tune) หรือปรับความถี่ไว้ต่ำกว่าความถี่เรโซแนนซ์ เมื่อใส่โหลดเข้าไปในคอยล์ก็จะทำให้กระแส (I_{in} full load) และแรงดัน V_L (full load) นั้นมีค่าเพิ่มมากขึ้นกว่าที่ no load ซึ่งจะทำให้เกิดจุดเรโซแนนซ์

5.2 ปัญหาที่เกิดขึ้น

1. ที่แรงดัน ไฟสลับอินพุต (Vac) 150 โวลต์ขึ้นไปมอสเฟต (MOSFET) จะร้อน
2. เมื่อทดลองนานๆที่ Coil จะร้อน
3. ที่ภาคคอนโทรล (CONTROLL) สัญญาณพัลส์ (PULSE) ที่ใช้ในการขับมอสเฟต (MOSFET) หลังหม้อแปลง Coupling นั้นจะเป็นพัลส์ (PULSE) ที่ไม่สมบูรณ์
4. เมื่อเวลาทดลองนานๆ จะทำให้ C ที่รีโซแนนซ์ร้อน เนื่องจากกระแสไหลสูง

แนวทางแก้ไข

1. ต้องทำการเพิ่มมอสเฟตโดยการต่อขนานเข้าไปอีก
2. ต้องทำการระบายความร้อน โดยใช้น้ำหล่อใน Coil
3. ต้องไปแก้ไขที่วงจรชุด SG 3526 และที่หม้อแปลง Coupling ต้องทำการพันให้ดี
4. ต้องหาค่า C ที่ค่าต่ำกว่ามาขนานกันเพื่อให้ได้ค่า C ที่จุกรีโซแนนซ์ค่าเดิมเพื่อให้ทนกระแสได้มากขึ้น

กิตติกรรมประกาศ

โครงการ INDUCTION HEATING นี้ประสบความสำเร็จได้เนื่องจาก ได้รับคำแนะนำจาก
รศ. สมศักดิ์ เชียร์ศิริกุล และเพื่อนๆจึงขอขอบคุณมา ณ โอกาสนี้

หากรายงานนี้ผิดพลาดประการใด ทางผู้จัดทำขออภัยและขออภัยมา ณ โอกาสนี้ด้วย



เอกสารนี้เป็นเอกสารที่สงวนไว้สำหรับการใช้งานเพื่อการศึกษาเท่านั้น ไม่อนุญาตให้นำไปใช้ประโยชน์ด้านการค้า
ไม่ว่ากรณีใดๆ ทั้งสิ้น อีกทั้งห้ามมิให้ตัดแปลงเนื้อหาและต้องอ้างอิงถึงเจ้าของเอกสารทุกครั้งที่มีการนำไปใช้

หนังสืออ้างอิง

1. วิทยา รัชชชนกุล , ประเสริฐ คาวลอย " ปริญญานิพนธ์ " , สถาบันเทคโนโลยีพระจอมเกล้าเจ้า
คุณทหารลาดกระบัง
2. จิรศักดิ์ เจริญเทพ , ชูศักดิ์ โพธิ์ลังกา " โครงการงาน Switching Power Supply " , สถาบันเทคโนโลยีพระจอมเกล้าเจ้าคุณทหารลาดกระบัง
3. Motorola , "Linear IC data " , 1989.
4. Harris , " Power Mosfet data " 1991
5. INT. J. Electronics , 1990 , Vol. 68, No.4, 629-645



เอกสารนี้เป็นเอกสารที่สงวนไว้สำหรับการใช้งานเพื่อการศึกษาเท่านั้น ไม่อนุญาตให้นำไปใช้ประโยชน์ด้านการค้า
ไม่ว่ากรณีใดๆ ทั้งสิ้น อีกทั้งห้ามมิให้ตัดแปลงเนื้อหาและต้องอ้างอิงถึงเจ้าของเอกสารทุกครั้งที่มีการนำไปใช้



เอกสารนี้เป็นเอกสารที่สงวนไว้สำหรับการใช้งานเพื่อการศึกษาเท่านั้น ไม่อนุญาตให้นำไปใช้ประโยชน์ด้านการค้า
ไม่ว่ากรณีใดๆ ทั้งสิ้น อีกทั้งห้ามมิให้ตัดแปลงเนื้อหาและต้องอ้างอิงถึงเจ้าของเอกสารทุกครั้งที่มีการนำไปใช้



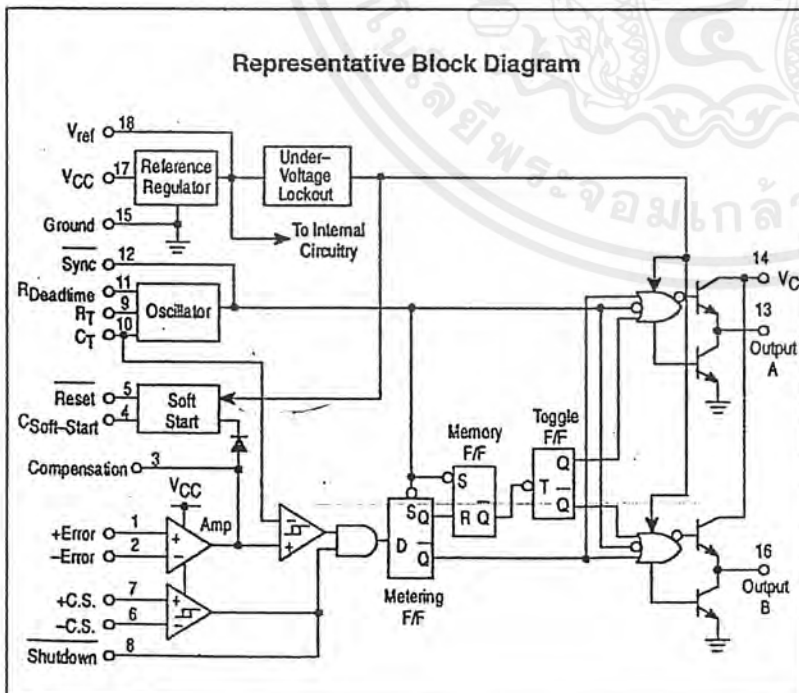
Pulse Width Modulation Control Circuit

The SG3526 is a high performance pulse width modulator integrated circuit intended for fixed frequency switching regulators and other power control applications.

Functions included in this IC are a temperature compensated voltage reference, sawtooth oscillator, error amplifier, pulse width modulator, pulse metering and steering logic, and two high current totem pole outputs ideally suited for driving the capacitance of power FETs at high speeds.

Additional protective features include soft start and undervoltage lockout, digital current limiting, double pulse inhibit, adjustable dead time and a data latch for single pulse metering. All digital control ports are TTL and B-series CMOS compatible. Active low logic design allows easy wired-OR connections for maximum flexibility. The versatility of this device enables implementation in single-ended or push-pull switching regulators that are transformerless or transformer coupled. The SG3526 is specified over a junction temperature range of 0° to +125°C.

- 8.0 V to 35 V Operation
- 5.0 V \pm 1% Trimmed Reference
- 1.0 Hz to 400 kHz Oscillator Range
- Dual Source/Sink Current Outputs: \pm 100 mA
- Digital Current Limiting
- Programmable Dead Time
- Undervoltage Lockout
- Single Pulse Metering
- Programmable Soft-Start
- Wide Current Limit Common Mode Range
- Guaranteed 6 Unit Synchronization



SG3526

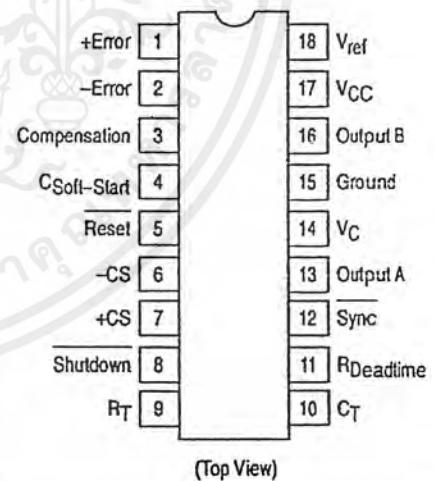
PULSE WIDTH MODULATION CONTROL CIRCUIT

SEMICONDUCTOR
TECHNICAL DATA



N SUFFIX
PLASTIC PACKAGE
CASE 707

PIN CONNECTIONS



ORDERING INFORMATION

Device	Operating Temperature Range	Package
SG3526N	$T_J = 0^\circ \text{ to } +125^\circ\text{C}$	Plastic DIP

MAXIMUM RATINGS (Note 1)

Rating	Symbol	Value	Unit
Supply Voltage	V_{CC}	+40	Vdc
Collector Supply Voltage	V_C	+40	Vdc
Logic Inputs		-0.3 to +5.5	V
Analog Inputs		-0.3 to V_{CC}	V
Output Current, Source or Sink	I_O	± 200	mA
Reference Load Current ($V_{CC} = 40$ V, Note 2)	I_{ref}	50	mA
Logic Sink Current		15	mA
Power Dissipation $T_A = +25^\circ\text{C}$ (Note 3) $T_C = +25^\circ\text{C}$ (Note 4)	P_D	1000 3000	mW
Thermal Resistance Junction-to-Air	$R_{\theta JA}$	100	$^\circ\text{C/W}$
Thermal Resistance Junction-to-Case	$R_{\theta JC}$	42	$^\circ\text{C/W}$
Operating Junction Temperature	T_J	+150	$^\circ\text{C}$
Storage Temperature Range	T_{stg}	-65 to +150	$^\circ\text{C}$
Lead Temperature (Soldering, 10 Seconds)	T_{Solder}	± 300	$^\circ\text{C}$

- NOTES: 1. Values beyond which damage may occur.
 2. Maximum junction temperature must be observed.
 3. Derate at 10 mW/ $^\circ\text{C}$ for ambient temperatures above +50 $^\circ\text{C}$.
 4. Derate at 24 mW/ $^\circ\text{C}$ for case temperatures above +25 $^\circ\text{C}$.

RECOMMENDED OPERATING CONDITIONS

Characteristics	Symbol	Min	Max	Unit
Supply Voltage	V_{CC}	8.0	35	Vdc
Collector Supply Voltage	V_C	4.5	35	Vdc
Output Sink/Source Current (Each Output)	I_O	0	± 100	mA
Reference Load Current	I_{ref}	0	20	mA
Oscillator Frequency Range	f_{osc}	0.001	400	kHz
Oscillator Timing Resistor	R_T	2.0	150	k Ω
Oscillator Timing Capacitor	C_T	0.001	20	μF
Available Deadtime Range (40 kHz)	-	3.0	50	%
Operating Junction Temperature Range	T_J	0	+125	$^\circ\text{C}$

ELECTRICAL CHARACTERISTICS (continued)

Characteristics	Symbol	Min	Typ	Max	Unit
PWM COMPARATOR SECTION (Note 7)					
Minimum Duty Cycle ($V_{\text{Compensation}} = +0.4 \text{ V}$)	DC_{min}	–	–	0	%
Maximum Duty Cycle ($V_{\text{Compensation}} = +3.6 \text{ V}$)	DC_{max}	45	49	–	%
DIGITAL PORTS (SYNC, SHUTDOWN, RESET)					
Output Voltage (High Logic Level) ($I_{\text{source}} = 40 \mu\text{A}$) (Low Logic Level) ($I_{\text{sink}} = 3.6 \text{ mA}$)	V_{OH} V_{OL}	2.4 –	4.0 0.2	– 0.4	V
Input Current — High Logic Level (High Logic Level) ($V_{\text{IH}} = +2.4 \text{ V}$) (Low Logic Level) ($V_{\text{IL}} = +0.4 \text{ V}$)	I_{IH} I_{IL}	– –	–125 –225	–200 –360	μA
CURRENT LIMIT COMPARATOR SECTION (Note 9)					
Sense Voltage ($R_{\text{S}} \leq 50 \Omega$)	V_{sense}	80	100	120	mA
Input Bias Current	I_{B}	–	–3.0	–10	μA
SOFT-START SECTION					
Error Clamp Voltage (Reset = +0.4 V)		–	0.1	0.4	V
$C_{\text{Soft-Start}}$ Charging Current (Reset = +2.4 V)	I_{CS}	50	100	150	μA
OUTPUT DRIVERS (Each Output, $V_{\text{C}} = +15 \text{ Vdc}$, unless otherwise noted.)					
Output High Level $I_{\text{source}} = 20 \text{ mA}$ $I_{\text{source}} = 100 \text{ mA}$	V_{OH}	12.5 12	13.5 13	– –	V
Output Low Level $I_{\text{sink}} = 20 \text{ mA}$ $I_{\text{sink}} = 100 \text{ mA}$	V_{OL}	– –	0.2 1.2	0.3 2.0	V
Collector Leakage, $V_{\text{C}} = +40 \text{ V}$	$I_{\text{C(leak)}}$	–	50	150	μA
Rise Time ($C_{\text{L}} = 1000 \text{ pF}$)	t_{r}	–	0.3	0.6	μs
Fall Time ($C_{\text{L}} = 1000 \text{ pF}$)	t_{f}	–	0.1	0.2	μs
Supply Current (Shutdown = +0.4 V, $V_{\text{CC}} = +35 \text{ V}$, $R_{\text{T}} = 4.12 \text{ k}\Omega$)	I_{CC}	–	18	30	mA

NOTES: 7. $f_{\text{osc}} = 40 \text{ kHz}$ ($R_{\text{T}} = 4.12 \text{ k}\Omega \pm 1\%$, $C_{\text{T}} = 0.01 \mu\text{F} \pm 1\%$, $R_{\text{D}} = 0 \Omega$)
 $8.0 \text{ V} \leq V_{\text{CM}} \leq +5.2 \text{ V}$
 $9.0 \text{ V} \leq V_{\text{CM}} \leq +12 \text{ V}$

Figure 1. Reference Stability over Temperature

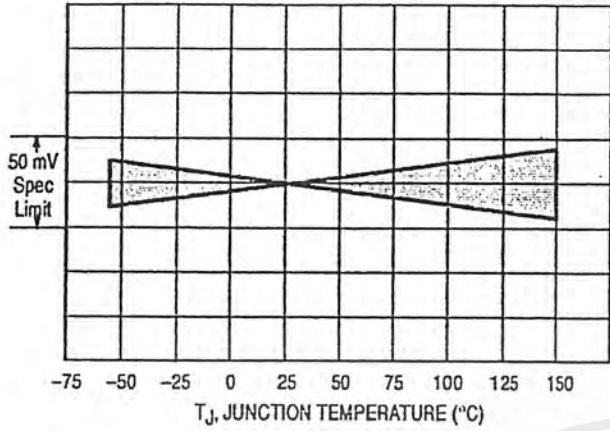


Figure 2. Reference Voltage as a Function Supply Voltage

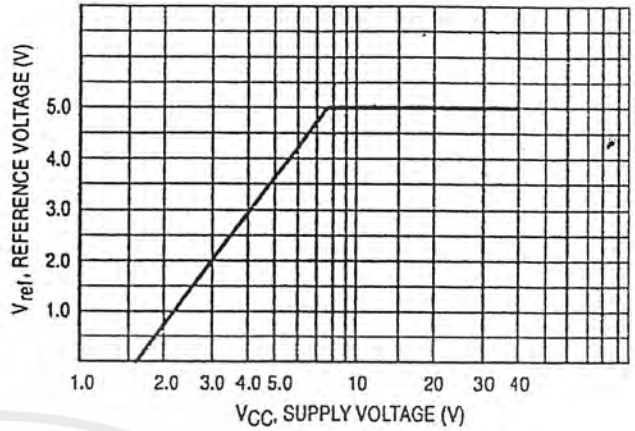


Figure 3. Error Amplifier Open Loop Frequency Response

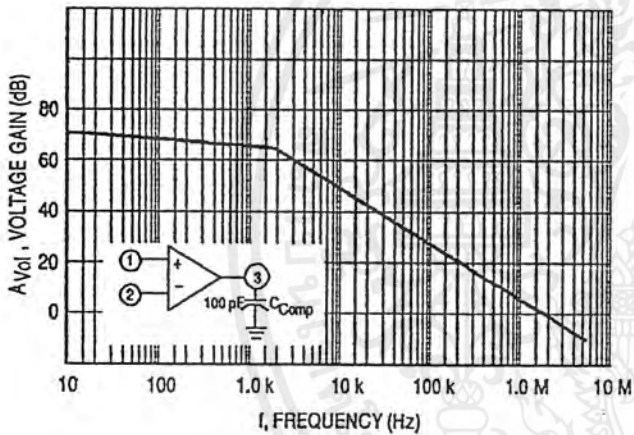


Figure 4. Current Limit Comparator Threshold

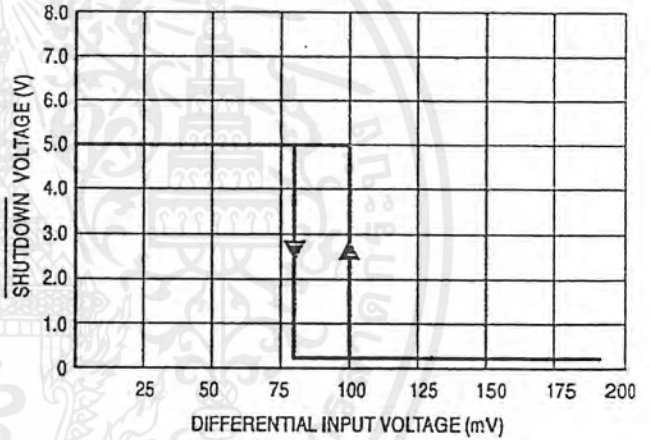


Figure 5. Undervoltage Lockout Characteristic

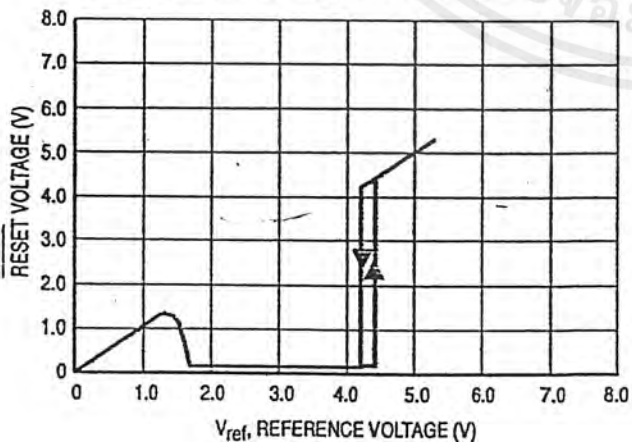


Figure 6. Output Driver Saturation Voltage as a Function of Sink Current

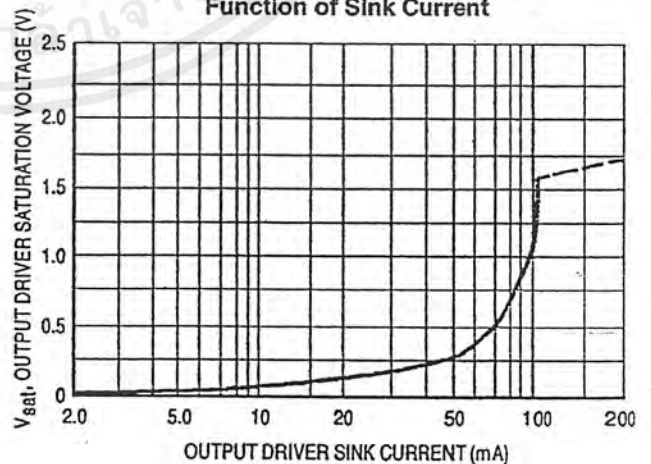


Figure 7. V_{CS} Saturation Voltage as a Function of Sink Current

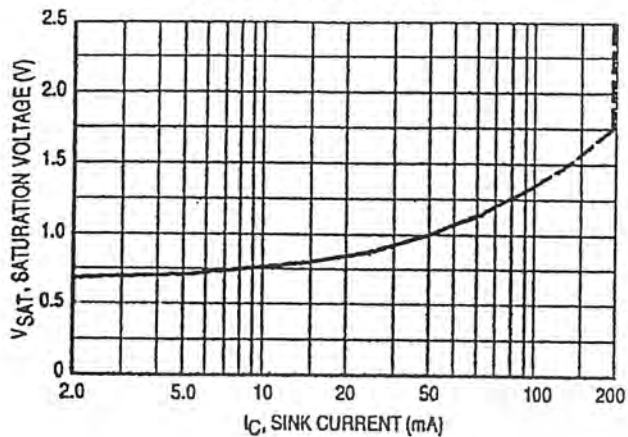


Figure 8. Oscillator Period

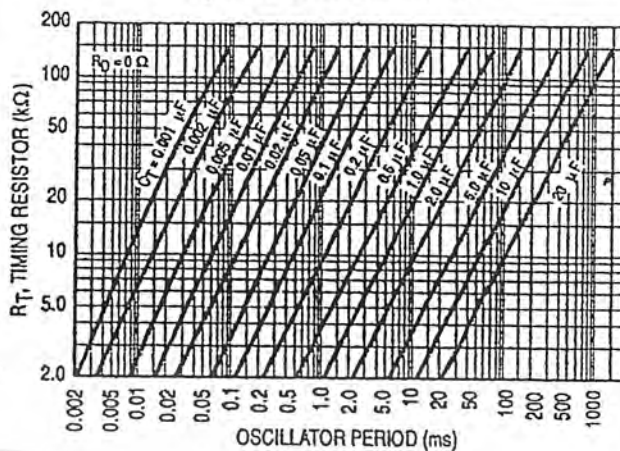


Figure 9. Error Amplifier

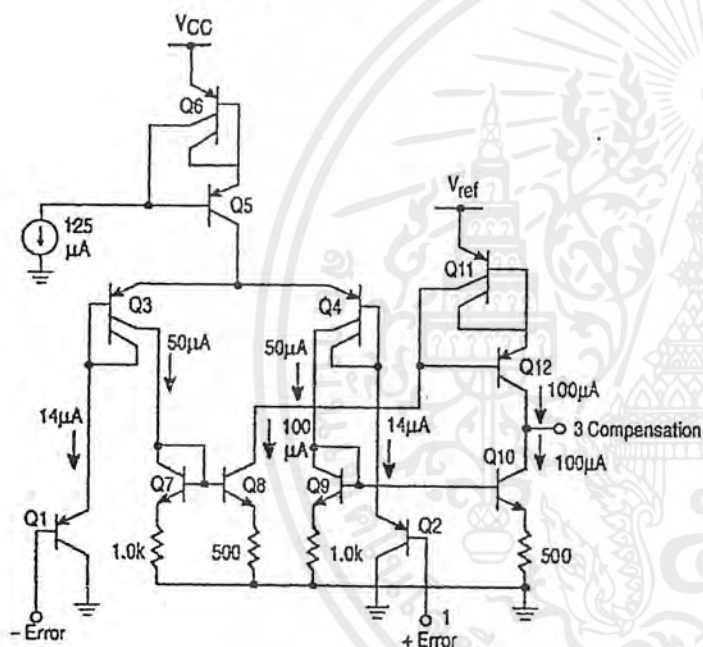


Figure 10. Undervoltage Lockout

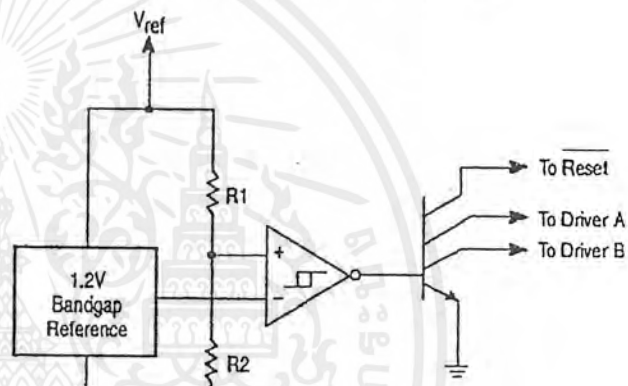
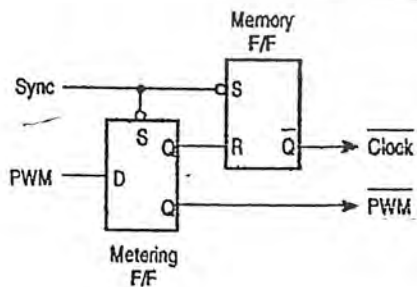


Figure 11. Pulse Processing Logic

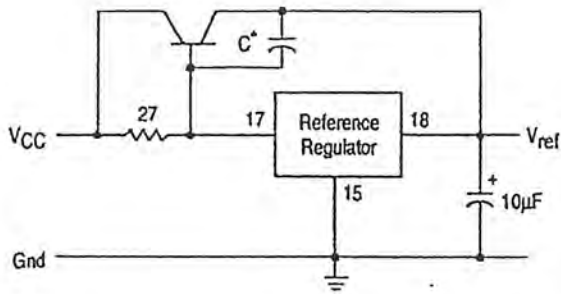


The metering Flip-Flop is an asynchronous data latch which suppresses high frequency oscillations by allowing only one PWM pulse per oscillator cycle.

The memory Flip-Flop prevents double pulsing in a push-pull configuration by remembering which output produced the last pulse.

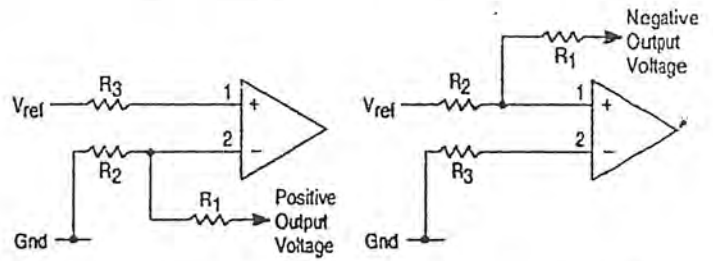
APPLICATIONS INFORMATION

Figure 12. Extending Reference Output Current Capability



* May be required with some types of transistors

Figure 13. Error Amplifier Connections



$$V_{out} = V_{ref} \left(\frac{R_1 + R_2}{R_2} \right)$$

$$V_{out} = V_{ref} \left(\frac{R_1}{R_2} \right)$$

$$R_3 = \left(\frac{R_1 R_2}{R_1 + R_2} \right)$$

Figure 14. Oscillator Connections

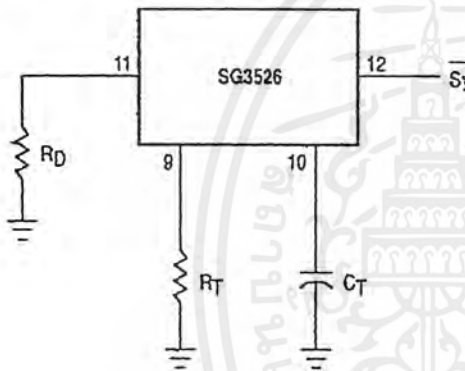
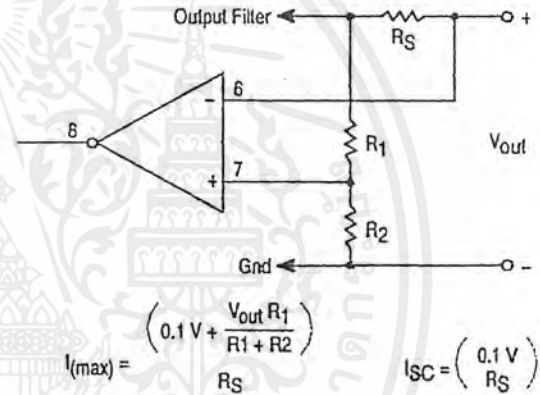


Figure 15. Foldback Current Limiting



$$I_{(max)} = \left(\frac{0.1V + \frac{V_{out} R_1}{R_1 + R_2}}{R_S} \right)$$

$$I_{SC} = \left(\frac{0.1V}{R_S} \right)$$

Figure 16. Soft-Start Circuitry

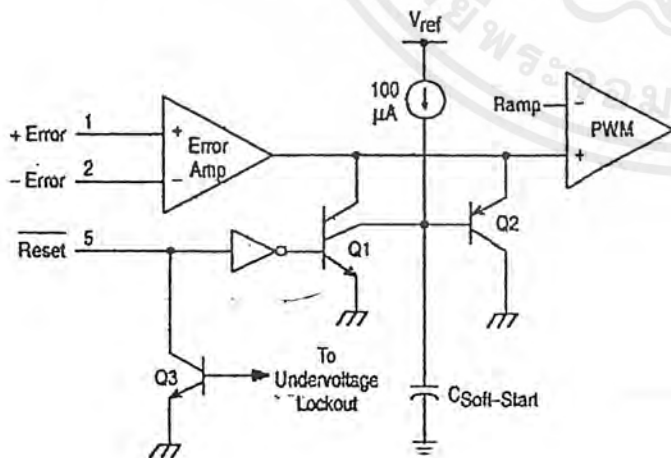
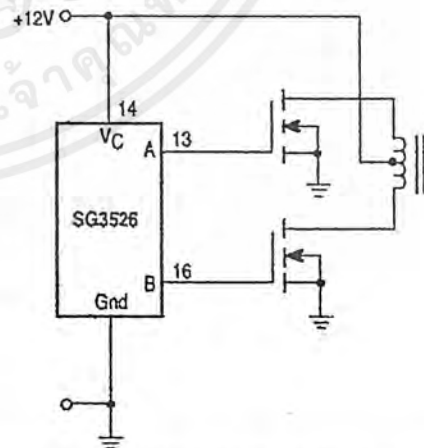


Figure 17. Driving VMOS Power FETs



The totem pole output drivers of the SG3526 are ideally suited for driving the input capacitance of power FETs at high speeds.

Figure 18. Half-Bridge Configuration

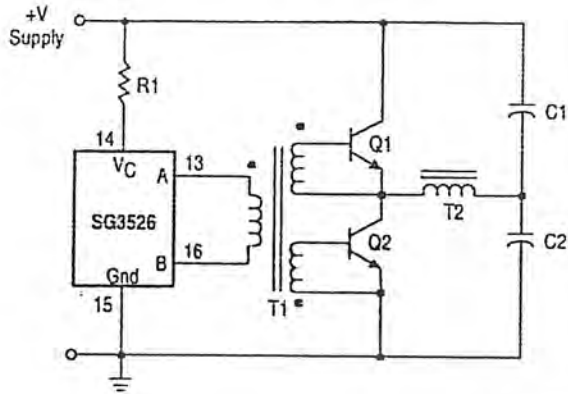
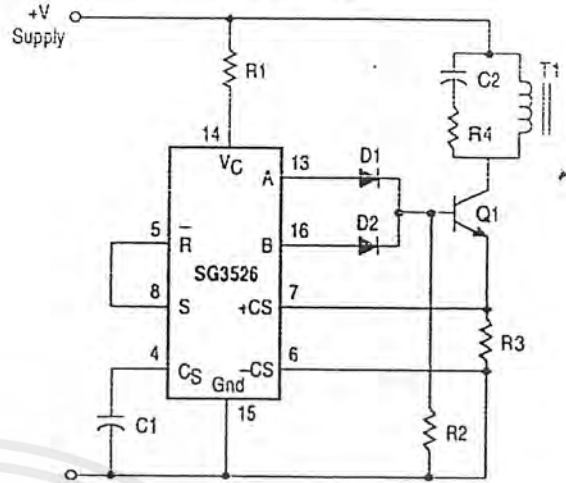


Figure 19. Flyback Converter with Current Limiting



In the above circuit, current limiting is accomplished by using the current limit comparator output to reset the soft-start capacitor.

Figure 20. Single-Ended Configuration

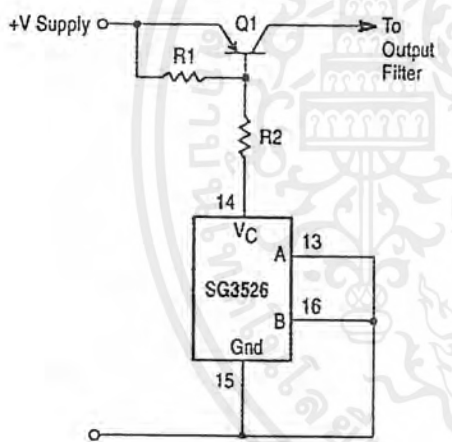
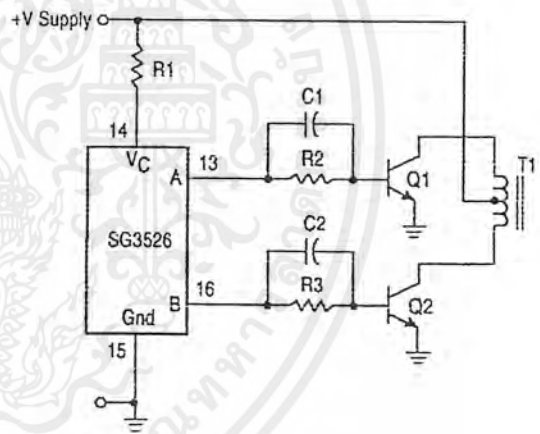
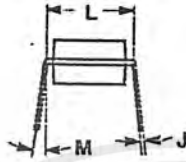
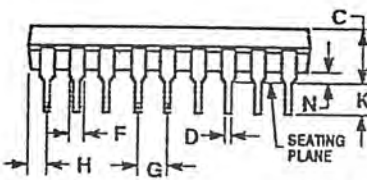
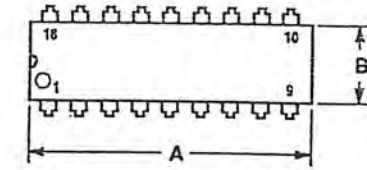


Figure 21. Push-Pull Configuration



SG3526 OUTLINE DIMENSIONS

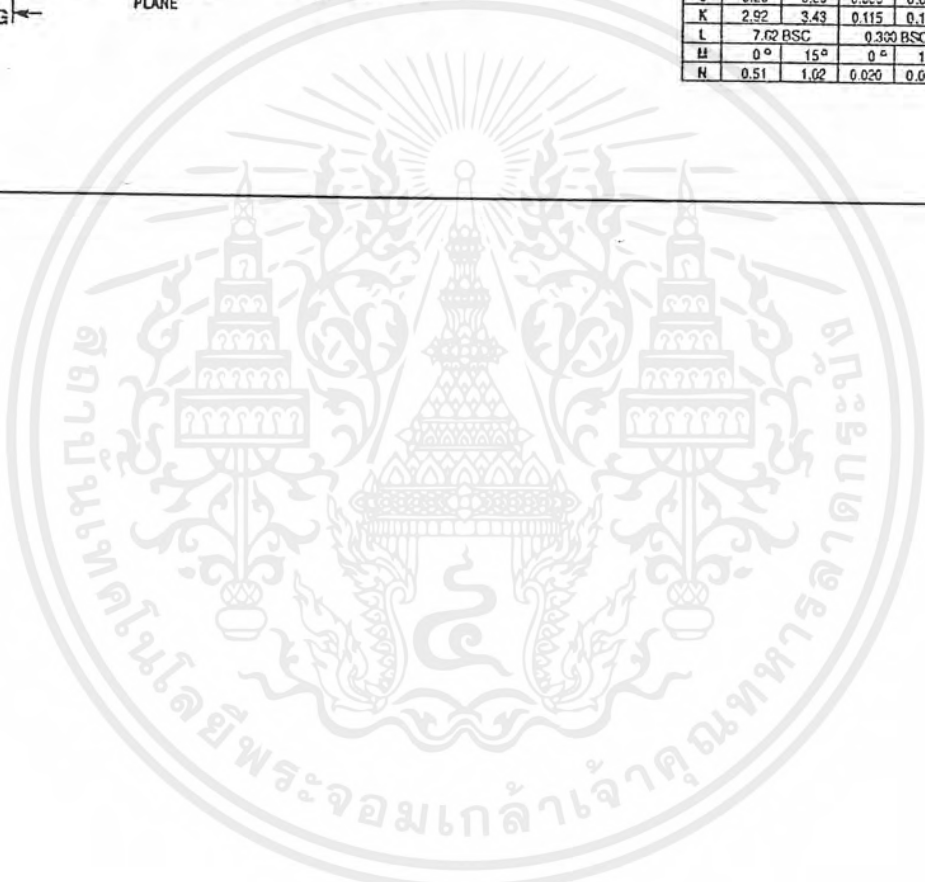
N SUFFIX
PLASTIC PACKAGE
CASE 707-02
ISSUE C



NOTES:

1. POSITIONAL TOLERANCE OF LEADS (D), SHALL BE WITHIN 0.25 (0.010) AT MAXIMUM MATERIAL CONDITION, IN RELATION TO SEATING PLANE AND EACH OTHER.
2. DIMENSION L TO CENTER OF LEADS WHEN FORMED PARALLEL.
3. DIMENSION B DOES NOT INCLUDE MOLD FLASH.

DIM	MILLIMETERS		INCHES	
	MIN	MAX	MIN	MAX
A	22.22	23.24	0.875	0.915
B	6.10	6.60	0.240	0.260
C	3.56	4.57	0.140	0.180
D	0.35	0.56	0.014	0.022
F	1.27	1.78	0.050	0.070
G	2.54 BSC		0.100 BSC	
H	1.02	1.52	0.040	0.060
J	0.20	0.30	0.008	0.012
K	2.92	3.43	0.115	0.135
L	7.62 BSC		0.300 BSC	
M	0°	15°	0°	15°
N	0.51	1.02	0.020	0.040





MC14049B MC14050B

HEX BUFFER

The MC14049B Hex Inverter/Buffer and MC14050B Noninverting Hex Buffer are constructed with MOS P-Channel and N-Channel enhancement mode devices in a single monolithic structure. These complementary MOS devices find primary use where low power dissipation and/or high noise immunity is desired. These devices provide logic level conversion using only one supply voltage, V_{DD} .

The input-signal high level (V_{IH}) can exceed the V_{DD} supply voltage for logic level conversions. Two TTL/DTL loads can be driven when the devices are used as a CMOS-to-TTL/DTL converter ($V_{DD} = 5.0$ V, $V_{OL} \leq 0.4$ V, $I_{OL} \geq 3.2$ mA).

Note that pins 13 and 16 are not connected internally on these devices; consequently connections to these terminals will not affect circuit operation.

- High Source and Sink Currents
- High-to-Low Level Converter
- Supply Voltage Range = 3.0 V to 18 V
- V_{IH} can exceed V_{DD}
- Meets JEDEC B Specifications
- Improved ESD Protection On All Inputs

MAXIMUM RATINGS¹ (Voltages referenced to V_{SS})

Characteristic	Symbol	Value	Unit
DC Supply Voltage	V_{DD}	-0.5 to +18	Vdc
Input Voltage (DC or Transient)	V_{IN}	-0.5 to +18	Vdc
Output Voltage (DC or Transient)	V_{OUT}	-0.5 to $V_{DD} + 0.5$	Vdc
Input Current (DC or Transient), per pin	I_{IN}	± 10	mA
Output Current (DC or Transient), per pin	I_{OUT}	+45	mA
Power Dissipation, per Package ² (Plastic/Ceramic) (SOIC)	P_D	825 740	mW
Storage Temperature	T_{SIG}	-65 to +150	°C
Lead Temperature (8-Second Soldering)	T_L	260	°C

¹Maximum Ratings are those values beyond which damage to the device may occur.
²Temperature Derating: See Figure 3.



L SUFFIX
CERAMIC
CASE 620



P SUFFIX
PLASTIC
CASE 648

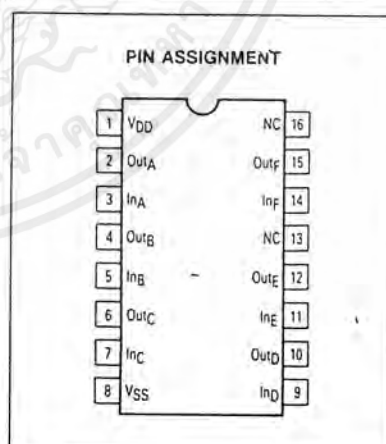
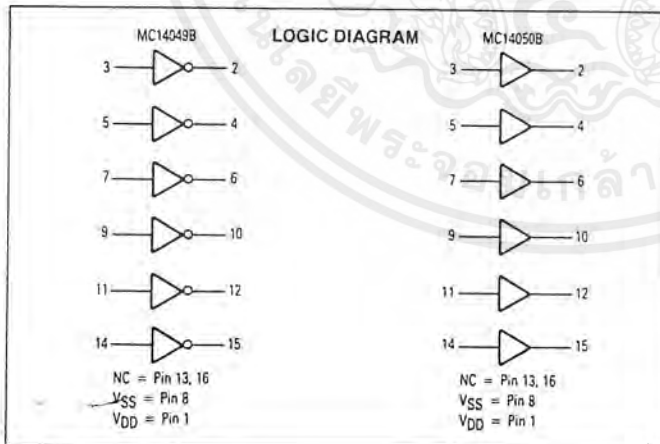


D SUFFIX
SOIC
CASE 751B

ORDERING INFORMATION

MC14XXXBCL Ceramic
MC14XXXBCP Plastic
MC14XXXBD SOIC

$T_A = -55^\circ\text{C}$ to $+125^\circ\text{C}$ for all packages



MC14049B • MC14050B

ELECTRICAL CHARACTERISTICS (Voltages referenced to V_{SS})

Characteristic	Symbol	V_{DD} Vdc	-55°C		+25°C			+125°C		Unit	
			Min	Max	Min	Typ ¹	Max	Min	Max		
Output Voltage $V_{in} = V_{DD}$	"0" Level V_{OL}	5.0	—	0.05	—	0	0.05	—	0.05	Vdc	
		10	—	0.05	—	0	0.05	—	0.05		
		15	—	0.05	—	0	0.05	—	0.05		
$V_{in} = 0$	"1" Level V_{OH}	5.0	4.95	—	4.95	5.0	—	4.95	—	Vdc	
		10	9.95	—	9.95	10	—	9.95	—		
		15	14.95	—	14.95	15	—	14.95	—		
Input Voltage ($V_O = 4.5$ Vdc) ($V_O = 9.0$ Vdc) ($V_O = 13.5$ Vdc)	"0" Level V_{IL}	5.0	—	1.5	—	2.25	1.5	—	1.5	Vdc	
		10	—	3.0	—	4.50	3.0	—	3.0		
		15	—	4.0	—	6.75	4.0	—	4.0		
	"1" Level ($V_O = 0.5$ Vdc) ($V_O = 1.0$ Vdc) ($V_O = 1.5$ Vdc)	V_{IH}	5.0	3.5	—	3.5	2.75	—	3.5	—	Vdc
			10	7.0	—	7.0	5.50	—	7.0	—	
			15	11	—	11	8.25	—	11	—	
Output Drive Current ($V_{OH} = 2.5$ Vdc) ($V_{OH} = 9.5$ Vdc) ($V_{OH} = 13.5$ Vdc) ($V_{OL} = 0.4$ Vdc) ($V_{OL} = 0.5$ Vdc) ($V_{OL} = 1.5$ Vdc)	Source I_{OH}	5.0	-1.6	—	-1.25	-2.5	—	-1.0	—	mA _{dc}	
		10	-1.6	—	-1.30	-2.6	—	-1.0	—		
		15	-4.7	—	-3.75	-10	—	-3.0	—		
	Sink I_{OL}	5.0	3.75	—	3.2	6.0	—	2.6	—	mA _{dc}	
		10	10	—	8.0	16	—	6.6	—		
		15	30	—	24	40	—	19	—		
Input Current	I_{in}	15	—	±0.1	—	±0.00001	±0.1	—	±1.0	μA _{dc}	
Input Capacitance ($V_{in} = 0$)	C_{in}	—	—	—	—	10	20	—	—	pF	
Quiescent Current (Per Package)	I_{DD}	5.0	—	1.0	—	0.002	1.0	—	—	μA _{dc}	
		10	—	2.0	—	0.004	2.0	—	30		
		15	—	4.0	—	0.006	4.0	—	60		
Total Supply Current ^{2,3} (Dynamic plus Quiescent, per package) ($C_L = 50$ pF on all outputs, all buffers switching)	I_T	5.0	$I_T = (1.8 \mu A/kHz) f + I_{DD}$ $I_T = (3.5 \mu A/kHz) f + I_{DD}$ $I_T = (5.3 \mu A/kHz) f + I_{DD}$								μA _{dc}
		10									
		15									

¹ Data labeled "Typ" is not to be used for design purposes but is intended as an indication of the IC's potential performance.

² The formulas given are for the typical characteristics only at +25°C.

³ To calculate total supply current at loads other than 50 pF:

$$I_T(C_L) = I_T(50 \text{ pF}) + (C_L - 50) \text{ V/k}$$

Where: I_T is in μA (per Package), C_L in pF, $V = (V_{DD} - V_{SS})$ in volts, f in kHz is input frequency and $k = 0.002$.

This device contains circuitry to protect the inputs against damage due to high static voltages or electric fields referenced to the V_{SS} pin only. Extra precautions must be taken to avoid applications of any voltage higher than the maximum rated voltages to this high-impedance circuit. For proper operation, the ranges $V_{SS} \leq V_{in} \leq 18 \text{ V}$ and $V_{SS} \leq V_{out} \leq V_{DD}$ are recommended.

Unused inputs must always be tied to an appropriate logic voltage level (e.g., either V_{SS} or V_{DD}). Unused outputs must be left open.

MC14049B • MC14050B

AC SWITCHING CHARACTERISTICS¹ ($C_L = 50 \text{ pF}$, $T_A = -25^\circ\text{C}$)

Characteristic	Symbol	V _{DD} Vdc	Min	Typ ²	Max	Unit
Output Rise Time $t_{TLH} = (0.7 \text{ ns/pF}) C_L + 65 \text{ ns}$ $t_{TLH} = (0.25 \text{ ns/pF}) C_L + 37.5 \text{ ns}$ $t_{TLH} = (0.2 \text{ ns/pF}) C_L + 30 \text{ ns}$	t _{TLH}	5.0	—	100	160	ns
		10	—	50	80	
		15	—	40	60	
Output Fall Time $t_{THL} = (0.2 \text{ ns/pF}) C_L + 30 \text{ ns}$ $t_{THL} = (0.06 \text{ ns/pF}) C_L + 17 \text{ ns}$ $t_{THL} = (0.04 \text{ ns/pF}) C_L + 13 \text{ ns}$	t _{THL}	5.0	—	40	60	ns
		10	—	20	40	
		15	—	15	30	
Propagation Delay Time $t_{PLH} = (0.33 \text{ ns/pF}) C_L + 63.5 \text{ ns}$ $t_{PLH} = (0.19 \text{ ns/pF}) C_L + 30.5 \text{ ns}$ $t_{PLH} = (0.06 \text{ ns/pF}) C_L + 27 \text{ ns}$	t _{PLH}	5.0	—	80	140	ns
		10	—	40	80	
		15	—	30	60	
Propagation Delay Time $t_{PHL} = (0.2 \text{ ns/pF}) C_L + 30 \text{ ns}$ $t_{PHL} = (0.1 \text{ ns/pF}) C_L + 15 \text{ ns}$ $t_{PHL} = (0.05 \text{ ns/pF}) C_L + 12.5 \text{ ns}$	t _{PHL}	5.0	—	40	80	ns
		10	—	20	40	
		15	—	15	30	

¹ The formulas given are for the typical characteristics only at 25°C.

² Data labeled "Typ" is not to be used for design purposes but is intended as an indication of the IC's potential performance.

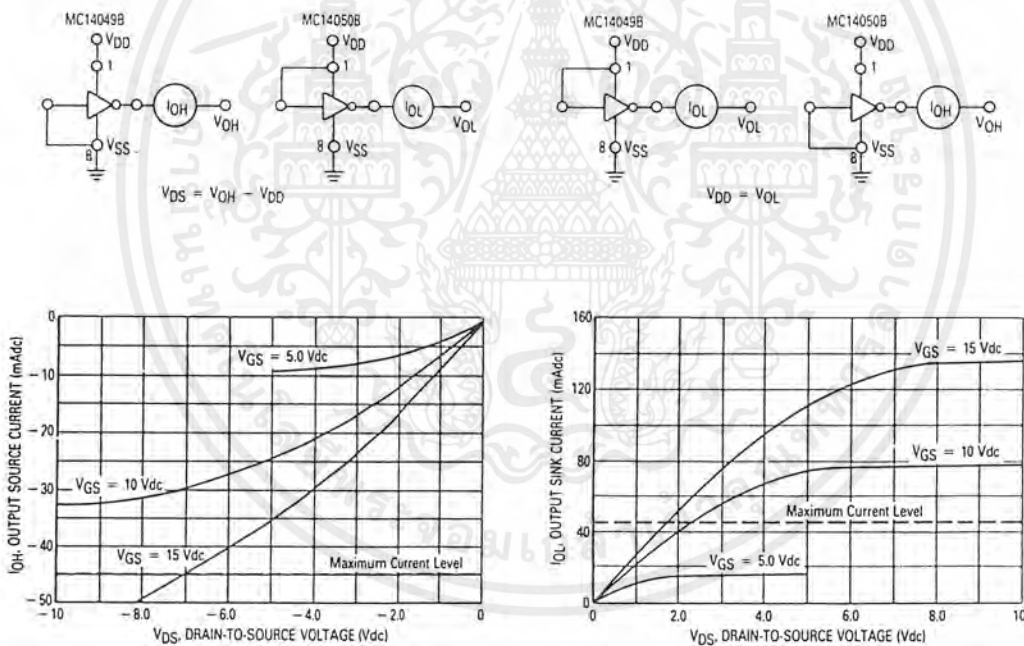


FIGURE 1 — TYPICAL OUTPUT SOURCE CHARACTERISTICS

FIGURE 2 — TYPICAL OUTPUT SINK CHARACTERISTICS

เอกสารนี้เป็นเอกสารที่สงวนไว้สำหรับการใช้งานเพื่อการศึกษาเท่านั้น ไม่อนุญาตให้นำไปใช้ประโยชน์ด้านการค้า
 ไม่ว่ากรณีใดๆ ทั้งสิ้น อีกทั้งห้ามมิให้ตัดแปลงเนื้อหาและต้องอ้างอิงถึงเจ้าของเอกสารทุกครั้งที่มีการนำไปใช้

MC14049B • MC14050B

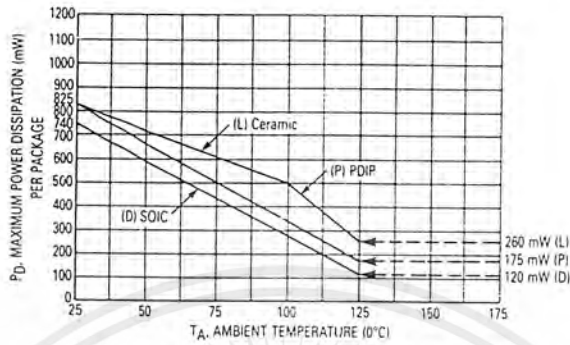


FIGURE 3 — AMBIENT TEMPERATURE POWER DERATING

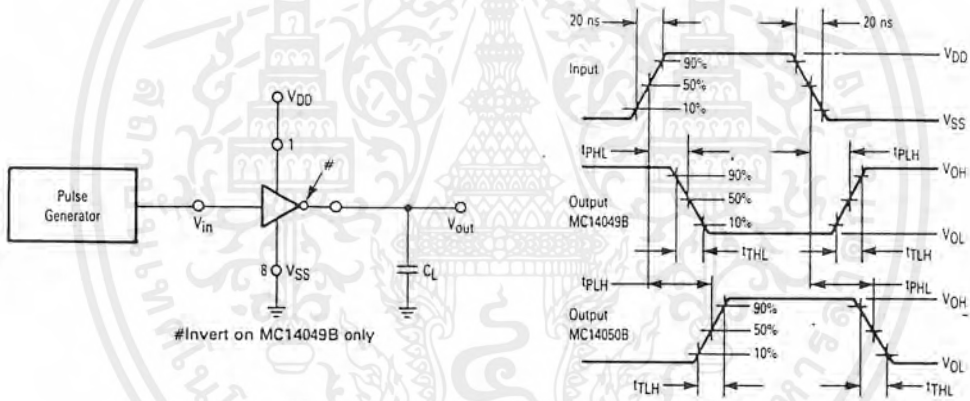


FIGURE 4 — SWITCHING TIME TEST CIRCUIT AND WAVEFORMS

6

เอกสารนี้เป็นเอกสารที่สงวนไว้สำหรับการใช้งานเพื่อการศึกษาเท่านั้น ไม่อนุญาตให้นำไปใช้ประโยชน์ด้านการค้า ไม่ว่าจะกรณีใดๆ ทั้งสิ้น อีกทั้งห้ามมิให้ตัดแปลงเนื้อหาและต้องอ้างอิงถึงเจ้าของเอกสารทุกครั้งที่มีการนำไปใช้

IRFP460 IRFP462

N-Channel Power MOSFETs Avalanche-Energy Rated

August 1991

Features

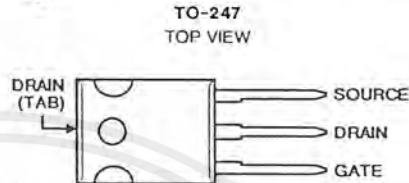
- 20A and 17A, 500V
- $r_{DS(on)} = 0.27\Omega$ and 0.35Ω
- Single Pulse Avalanche Energy Rated
- SOA is Power-Dissipation Limited
- Nanosecond Switching Speeds
- Linear Transfer Characteristics
- High Input Impedance

Description

The IRFP460 and IRFP462 are advanced power MOSFETs designed, tested, and guaranteed to withstand a specified level of energy in the breakdown avalanche mode of operation. These are n-channel enhancement-mode silicon gate power field-effect transistors designed for applications such as switching regulators, switching converters, motor drivers, relay drivers, and drivers for high-power bipolar switching transistors requiring high speed and low gate-drive power. These types can be operated directly from integrated circuits.

The IRFP-types are supplied in the JEDEC TO-247 plastic package.

Package



Terminal Diagram

N-CHANNEL ENHANCEMENT MODE



Absolute Maximum Ratings ($T_C = +25^\circ\text{C}$), Unless Otherwise Specified

	IRFP460	IRFP462	UNITS
Continuous Drain Current			
$T_C = +25^\circ\text{C}$	I_D 20	17	A
$T_C = +100^\circ\text{C}$	I_D 12	11	A
Pulsed Drain Current (1)	I_{DM} 80	63	A
Gate-Source Voltage	$V_{GS} \pm 20$	± 20	V
Maximum Power Dissipation			
$T_C = +25^\circ\text{C}$	P_D 250	250	W
Linear Derating Factor	2.0	2.0	W/ $^\circ\text{C}$
Single Pulse Avalanche Energy Rating (2)	EAS 960	960	mJ
See Figure 14			
Operating and Storage Junction Temperature Range	T_J, T_{STG} -55 to +150	-55 to +150	$^\circ\text{C}$
Maximum Lead Temperature for Soldering (0.063" (1.6mm) from case for 10s)	T_L 300	300	$^\circ\text{C}$

NOTES:

1. Repetitive rating: Pulse width limited by maximum junction temperature. See Transient Thermal Impedance Curve (Figure 5).
2. $V_{DD} = 50\text{V}$, starting $T_J = +25^\circ\text{C}$, $L = 4.3\text{mH}$, $R_{GS} = 25\Omega$, Peak $I_L = 20\text{A}$. See Fig. 14.
3. Pulse Test: Pulse width $\leq 300\mu\text{s}$, Duty Cycle $\leq 2\%$.

CAUTION: These devices are sensitive to electrostatic discharge. Proper I.C. handling procedures should be followed.
Copyright © Harris Corporation 1991

File Number 2291.1

เอกสารนี้เป็นเอกสารที่สงวนไว้สำหรับการใช้งานเพื่อการศึกษาเท่านั้น ไม่อนุญาตให้นำไปใช้ประโยชน์ด้านการค้า
ไม่ว่ากรณีใดๆ ทั้งสิ้น อีกทั้งห้ามมิให้ตัดแปลงเนื้อหาและต้องอ้างอิงถึงเจ้าของเอกสารทุกครั้งที่มีการนำไปใช้

IRFP460, IRFP462

ELECTRICAL CHARACTERISTICS At Case Temperature (T_J) = 25°C Unless Otherwise Specified

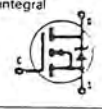
Parameter	Type	Min.	Typ.	Max.	Units	Test Conditions
BV_{DSS} Drain-to-Source Breakdown Voltage	ALL	500	—	—	V	$V_{GS} = 0V, I_D = 250 \mu A$
$R_{DS(on)}$ Static Drain-to-Source On-State Resistance ③	IRFP460	—	0.24	0.27	Ω	$V_{GS} = 10V, I_D = 11A$
	IRFP462	—	0.27	0.35		
$I_{D(on)}$ On-State Drain Current ③	IRFP460	20	—	—	A	$V_{DS} > I_{D(on)} \times R_{DS(on)}$ Max. $V_{GS} = 10V$
	IRFP462	17	—	—		
$V_{GS(th)}$ Gate Threshold Voltage	ALL	2.0	—	4.0	V	$V_{DS} = V_{GS}, I_D = 250 \mu A$
g_{fs} Forward Transconductance ③	ALL	13	19	—	S (W)	$V_{DS} = \geq 50V, I_{DS} = 11A$
I_{DSS} Zero Gate Voltage Drain Current	ALL	—	—	250	μA	$V_{DS} = \text{Max. Rating}, V_{GS} = 0V$
				1000		$V_{DS} = 0.8 \times \text{Max. Rating}$ $V_{GS} = 0V, T_J = 125^\circ C$
I_{GSS} Gate-to-Source Leakage Forward	ALL	—	—	500	nA	$V_{GS} = 20V$
I_{GSS} Gate-to-Source Leakage Reverse	ALL	—	—	-500	nA	$V_{GS} = -20V$
Q_g Total Gate Charge	ALL	—	120	190	nC	$V_{GS} = 10V, I_D = 21A$
Q_{gs} Gate-to-Source Charge	ALL	—	18	—	nC	$V_{DS} = 0.8 \times \text{Max. Rating}$ See Fig. 16
Q_{gd} Gate-to-Drain ("Miller") Charge	ALL	—	62	—	nC	(Independent of operating temperature)
$t_{d(on)}$ Turn-On Delay Time	ALL	—	23	35	ns	$V_{DD} = 250V, I_D = 21A, R_G = 4.3\Omega$
t_r Rise Time	ALL	—	81	120	ns	$R_D = 12\Omega$
$t_{d(off)}$ Turn-Off Delay Time	ALL	—	85	130	ns	See Fig. 15
t_f Fall Time	ALL	—	65	98	ns	(Independent of operating temperature)
L_D Internal Drain Inductance	ALL	—	5.0	—	nH	Measured from the drain lead, 6mm (0.25 in.) from package to center of die
L_S Internal Source Inductance	ALL	—	13	—	nH	Measured from the source lead, 6mm (0.25 in.) from package to source bonding pad
C_{iss} Input Capacitance	ALL	—	4100	—	pF	$V_{GS} = 0V, V_{DS} = 25V$
C_{oss} Output Capacitance	ALL	—	480	—	pF	$f = 1.0 \text{ MHz}$
C_{rss} Reverse Transfer Capacitance	ALL	—	84	—	pF	See Fig. 10
R_{thJC} Junction-to-Case	ALL	—	—	0.50	$^\circ C/W$	
R_{thCS} Case-to-Sink	ALL	—	0.10	—	$^\circ C/W$	Mounting surface flat, smooth, and greased
R_{thJA} Junction-to-Ambient	ALL	—	—	30	$^\circ C/W$	Free air operation
Mounting Torque	ALL	—	—	10	in. * lbs.	Standard 6-32 screw

- ① Repetitive Rating; Pulse width limited by maximum junction temperature (see figure 5) Refer to current HEXFET reliability report
- ② Pulse width $\leq 300 \mu s$, Duty Cycle $\leq 2\%$
- ③ @ $V_{DD} = 50V$, Starting $T_J = 25^\circ C$,
 $L = 4.3 \text{ mH}$, $R_G = 25\Omega$,
Peak $I_L = 20A$, See Fig. 14.



SOURCE-DRAIN DIODE RATINGS AND CHARACTERISTICS

Parameter	Type	Min.	Typ.	Max.	Units	Test Conditions
I_S Continuous Source Current (Body Diode)	ALL	—	—	20	A	Modified MOSFET symbol showing the integral Reverse p-n junction rectifier
I_{SM} Pulsed Source Current (Body Diode) ①	* L	—	—	80	A	
V_{SD} Diode Forward Voltage ③	ALL	—	—	1.8	V	$T_J = 25^\circ C, I_S = 21A, V_{GS} = 0V$
t_{rr} Reverse Recovery Time	ALL	280	580	1200	ns	$T_J = 25^\circ C, I_F = 21A, di/dt = 100 A/\mu s$
Q_{RR} Reverse Recovery Charge	ALL	3.8	8.1	18	μC	
t_{on} Forward Turn-On Time	ALL	Intrinsic turn-on time is negligible. Turn-on speed is substantially controlled by $L_S + L_D$				



เอกสารนี้เป็นเอกสารที่สงวนไว้สำหรับการใช้งานเพื่อการศึกษาเท่านั้น ไม่อนุญาตให้นำไปใช้ประโยชน์ด้านการค้า ไม่ว่าจะกรณีใดๆ ทั้งสิ้น อีกทั้งห้ามมิให้ดัดแปลงเนื้อหาและต้องอ้างอิงถึงเจ้าของเอกสารทุกครั้งที่มีการนำไปใช้

IRFP460, IRFP462

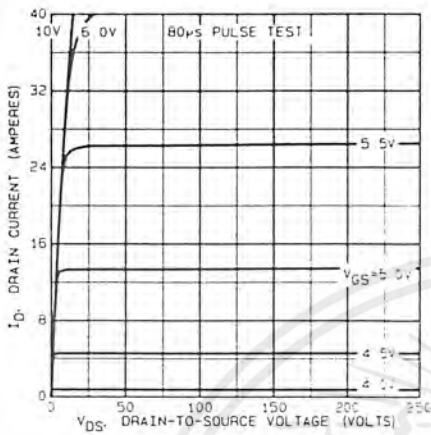


Fig. 1 - Typical output characteristics.

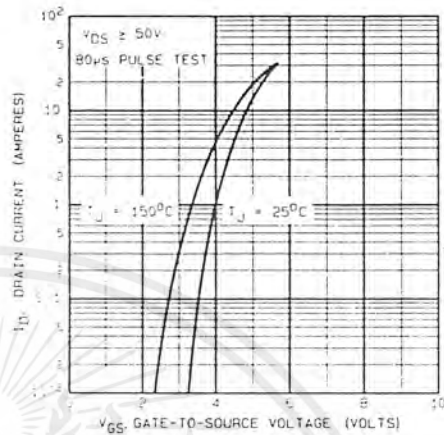


Fig. 2 - Typical transfer characteristics.

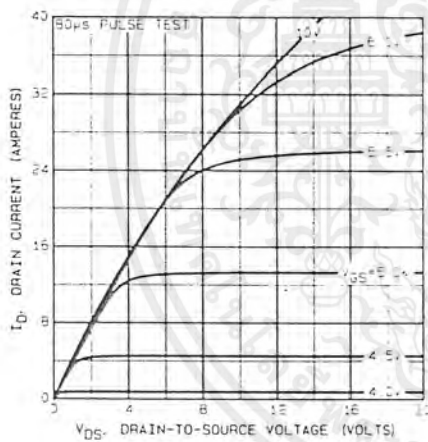


Fig. 3 - Typical saturation characteristics.

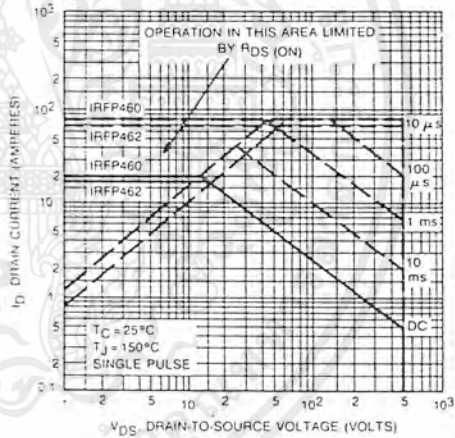


Fig. 4 - Maximum safe operating area.

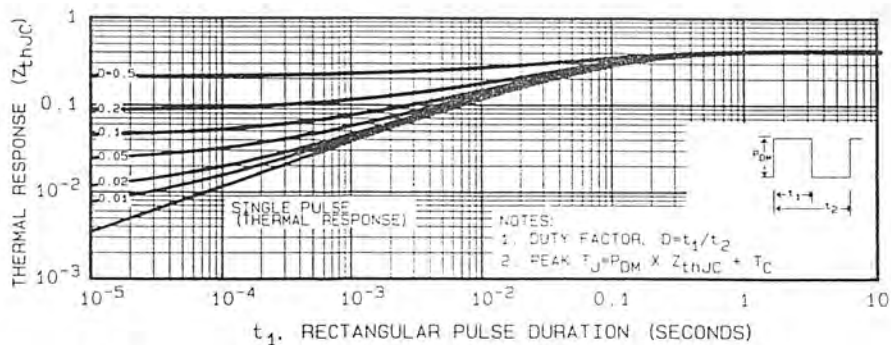


Fig. 5 - Maximum effective transient thermal impedance, junction-to-case vs. pulse duration.

เอกสารนี้เป็นเอกสารที่สงวนไว้สำหรับการใช้งานเพื่อการศึกษาเท่านั้น ไม่อนุญาตให้นำไปใช้ประโยชน์ด้านการค้า ไม่ว่าจะกรณีใดๆ ทั้งสิ้น อีกทั้งห้ามมิให้ดัดแปลงเนื้อหาและต้องอ้างอิงถึงเจ้าของเอกสารทุกครั้งที่มีการนำไปใช้

IRFP460, IRFP462

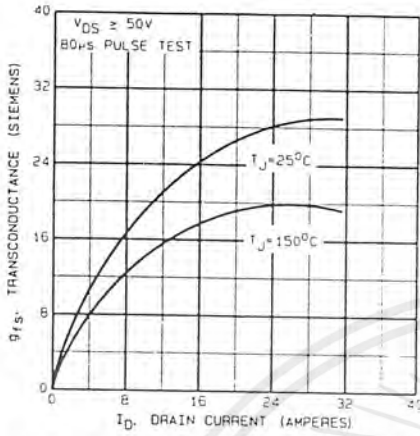


Fig. 6 - Typical transconductance vs. drain current.

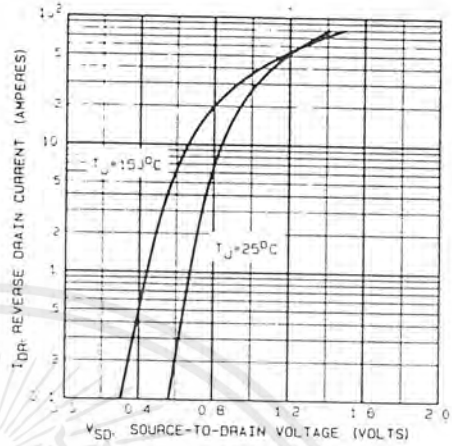


Fig. 7 - Typical source-drain diode forward voltage.

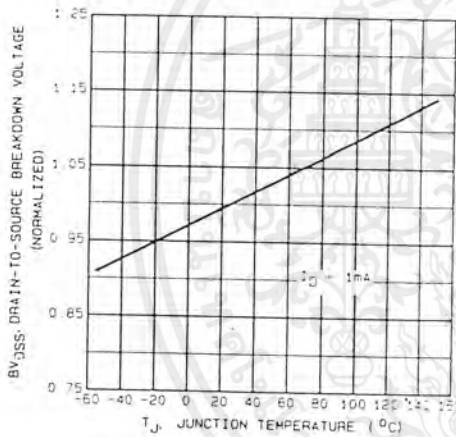


Fig. 8 - Breakdown voltage vs. temperature.

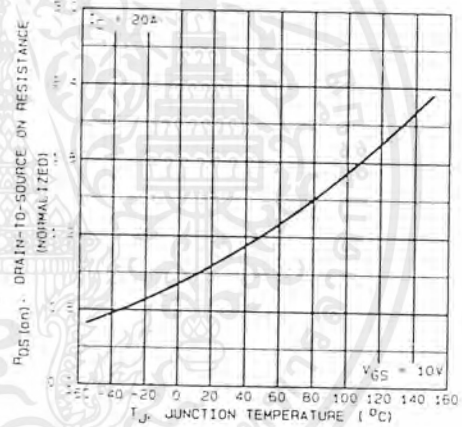


Fig. 9 - Normalized on-resistance vs. temperature.

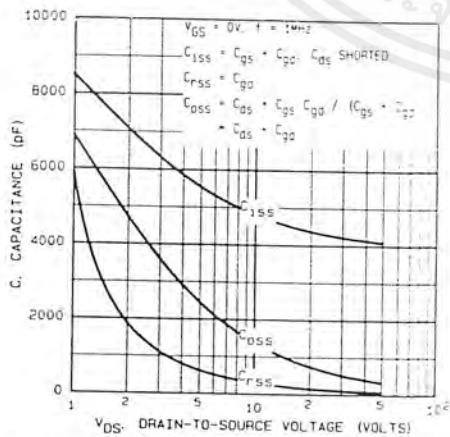


Fig. 10 - Typical capacitance vs. drain-to-source voltage.

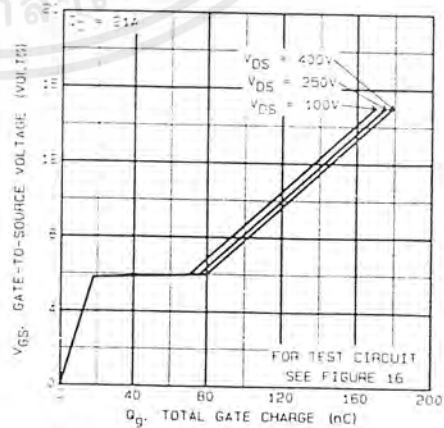


Fig. 11 - Typical gate charge vs. gate-to-source voltage.

เอกสารนี้เป็นเอกสารที่สงวนไว้สำหรับการใช้งานเพื่อการศึกษาเท่านั้น ไม่อนุญาตให้นำไปใช้ประโยชน์ด้านการค้า ไม่ว่าจะกรณีใดๆ ทั้งสิ้น อีกทั้งห้ามมิให้ตัดแปลงเนื้อหาและต้องอ้างอิงถึงเจ้าของเอกสารทุกครั้งที่มีการนำไปใช้

IRFP460, IRFP462

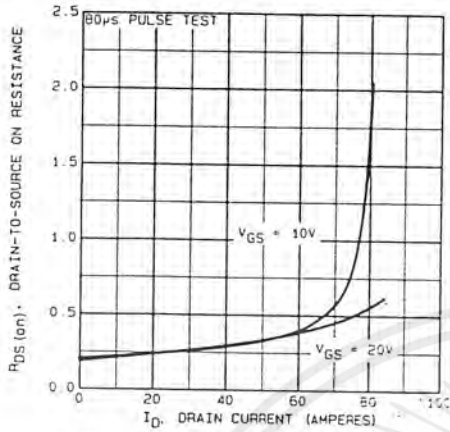


Fig. 12 - Typical on-resistance vs. drain current.

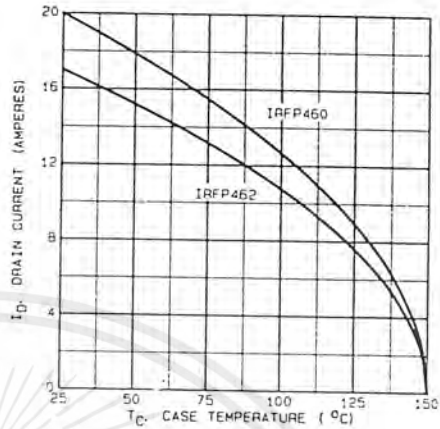


Fig. 13 - Maximum drain current vs. case temperature.

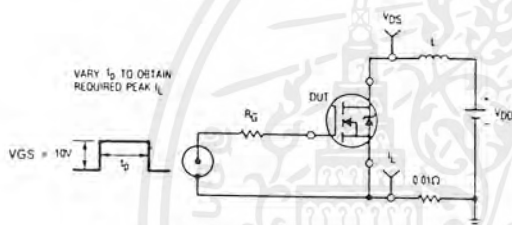


Fig. 14a - Unclamped inductive test circuit.



Fig. 14b - Unclamped inductive waveforms.

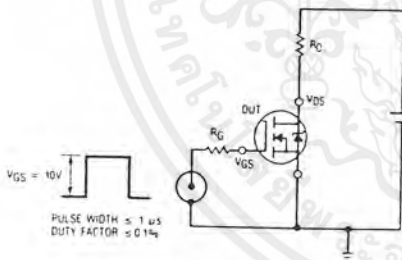


Fig. 15a - Switching time test circuit.

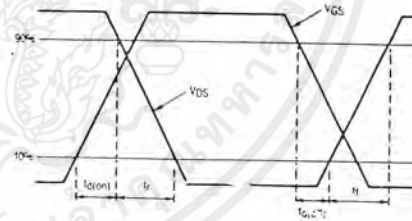
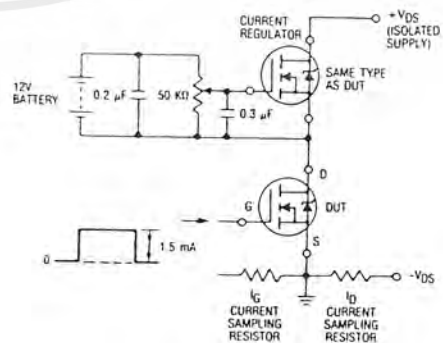
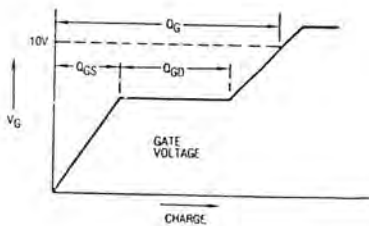


Fig. 15b - Switching time waveforms.



เอกสารนี้เป็นเอกสารที่สงวนไว้สำหรับการใช้งานเพื่อการศึกษาเท่านั้น ไม่อนุญาตให้นำไปใช้ประโยชน์ด้านการค้า ไม่ว่าจะกรณีใดๆ ทั้งสิ้น อีกทั้งห้ามมิให้ตัดแปลงเนื้อหาและต้องอ้างอิงถึงเจ้าของเอกสารทุกครั้งที่มีการนำไปใช้